

Analityczne reprezentacje sygnałów ciągłych

Przedstawienie sygnału w postaci analitycznej:

- umożliwia uproszczenie i unifikację metod analizy,
- pozwala na prostszą interpretację niektórych jego cech fizycznych.

W teorii sygnałów największe znaczenie ma *widmowa reprezentacja sygnału*:

funkcje czasu przedstawia się w równoważnej reprezentacji w dziedzinie częstotliwości (pulsacji), lub, bardziej ogólnie, pulsacji zespolonej.

Reprezentacja dyskretna:

przyporządkowanie danemu sygnałowi skończonego lub przeliczalnego ciągu liczb (rzeczywistych lub zespolonych).

Reprezentacja dyskretna odwzorowuje daną przestrzeń sygnałów w przestrzenie R^n , C^n lub l^2

Reprezentacja ciągła:

przyporządkowuje elementom danej przestrzeni sygnałów elementy innej przestrzeni funkcyjnej, rzeczywistej lub zespolonej, poprzez odpowiednie przekształcenie całkowe.

Dyskretne reprezentacje sygnałów ciągłych

Przestrzeń sygnałów L_T^2 (przestrzeń sygnałów okresowych o skończonej mocy)

$$x(t) = x(t - kT), \quad k \in \mathbb{Z}$$

$$P_x = \frac{1}{T} \int_{t_0}^{t_0+T} |x(t)|^2 dt < \infty$$

$$x, y \in L_T^2$$

Przestrzeń jest przestrzenią Hilberta z iloczynem skalarnym

$$\langle x, y \rangle = \frac{1}{T} \int_{t_0}^{t_0+T} x(t) y^*(t) dt$$

i normą

$$\|x\| = \sqrt{\langle x, x \rangle} = \sqrt{\frac{1}{T} \int_{t_0}^{t_0+T} x(t) x^*(t) dt} = \sqrt{P_x}$$

Przestrzeń Hilberta L_T^2 jest przestrzenią ośrodkową

Zbiorem ortonormalnym domkniętym jest zbiór funkcji z przestrzeni L_T^2

$$\left\{ 1, \sqrt{2} \cos k \frac{2\pi}{T} t, \sqrt{2} \sin k \frac{2\pi}{T} t : k \in \mathbb{N} \right\}$$

$$\frac{1}{T} \int_{t_0}^{t_0+T} \sqrt{2} \sin k \frac{2\pi}{T} dt = \frac{1}{T} \int_{t_0}^{t_0+T} \sqrt{2} \cos k \frac{2\pi}{T} dt = 0$$

$$\frac{1}{T} \int_{t_0}^{t_0+T} \sqrt{2} \sin k \frac{2\pi}{T} \sqrt{2} \cos l \frac{2\pi}{T} dt = 0, \quad k, l \in \mathbb{N}$$

$$\frac{1}{T} \int_{t_0}^{t_0+T} \sqrt{2} \sin k \frac{2\pi}{T} \sqrt{2} \sin l \frac{2\pi}{T} dt = \begin{cases} 0 & k \neq l \\ 1 & k = l \end{cases}$$

$$\frac{1}{T} \int_{t_0}^{t_0+T} \sqrt{2} \cos k \frac{2\pi}{T} \sqrt{2} \cos l \frac{2\pi}{T} dt = \begin{cases} 0 & k \neq l \\ 1 & k = l \end{cases}$$

Zbiór ten może być bazą ortonormalną przestrzeni L_T^2

$$\left\{1, \sqrt{2} \cos k \frac{2\pi}{T} t, \sqrt{2} \sin k \frac{2\pi}{T} t : k \in \mathbb{N}\right\}$$

$$x(t) \in L_T^2$$

$$x(t) = X_0 + \sum_{k=1}^{\infty} \left(\alpha_k \sqrt{2} \cos k \frac{2\pi}{T} t + \beta_k \sqrt{2} \sin k \frac{2\pi}{T} t \right)$$

$$X_0 = \langle x, 1 \rangle = \frac{1}{T} \int_{t_0}^{t_0+T} x(t) dt$$

$$\alpha_k = \left\langle x, \sqrt{2} \cos k \frac{2\pi}{T} t \right\rangle = \frac{\sqrt{2}}{T} \int_{t_0}^{t_0+T} x(t) \cos k \frac{2\pi}{T} t dt$$

$$\beta_k = \left\langle x, \sqrt{2} \sin k \frac{2\pi}{T} t \right\rangle = \frac{\sqrt{2}}{T} \int_{t_0}^{t_0+T} x(t) \sin k \frac{2\pi}{T} t dt$$

Wprowadzimy oznaczenia

$$\omega_0 \triangleq \frac{2\pi}{T} \quad \text{— } \textit{pulsacja podstawowa} \text{ sygnału } x(t)$$

oraz

$$\alpha_k \sqrt{2} = a_k, \quad \beta_k \sqrt{2} = b_k$$

Wówczas

$$X_0 = \frac{1}{T} \int_{t_0}^{t_0+T} x(t) dt$$

$$a_k = \frac{2}{T} \int_{t_0}^{t_0+T} x(t) \cos k\omega_0 t dt$$

$$b_k = \frac{2}{T} \int_{t_0}^{t_0+T} x(t) \sin k\omega_0 t dt$$

$$x(t) = X_0 + \sum_{k=1}^{\infty} (a_k \cos k\omega_0 t + b_k \sin k\omega_0 t)$$

Trygonometryczny szereg Fouriera sygnału $x(t)$

Inną bazą przestrzeni Hilberta L_T^2 może być ortonormalny domknięty zbiór zespolonych funkcji:

$$\{e^{jk\omega_0 t} : k \in \mathbb{Z}\}, \quad \omega_0 = \frac{2\pi}{T}$$

$$\langle e^{jk\omega_0 t}, e^{jl\omega_0 t} \rangle = \frac{1}{T} \int_{t_0}^{t_0+T} e^{jk\omega_0 t} \cdot (e^{jl\omega_0 t})^* dt = \frac{1}{T} \int_{t_0}^{t_0+T} e^{jk\omega_0 t} \cdot e^{-jl\omega_0 t} dt = \begin{cases} 0 & k \neq l \\ 1 & k = l \end{cases}$$

Wówczas, gdy $x(t) \in L_T^2$

$$x(t) = \sum_{k=-\infty}^{\infty} X_k e^{jk\omega_0 t}, \quad X_k \in \mathbb{C}$$

gdzie

$$X_k = \langle x, e^{jk\omega_0 t} \rangle = \frac{1}{T} \int_{t_0}^{t_0+T} x(t) (e^{jk\omega_0 t})^* dt = \frac{1}{T} \int_{t_0}^{t_0+T} x(t) e^{-jk\omega_0 t} dt$$

$$x(t) = \sum_{k=-\infty}^{\infty} X_k e^{jk\omega_0 t}, \quad X_k \in \mathbb{C}$$

$$X_k = \frac{1}{T} \int_{t_0}^{t_0+T} x(t) e^{-jk\omega_0 t} dt, \quad \omega_0 = \frac{2\pi}{T}$$

Wykładniczy szereg Fouriera sygnału $x(t)$

$$X_k^* = \frac{1}{T} \int_{t_0}^{t_0+T} x^*(t) (e^{-jk\omega_0 t})^* dt$$

Jeżeli $x(t)$ jest rzeczywistą funkcją czasu, to $x(t) = x^*(t)$

Wówczas

$$X_k^* = \frac{1}{T} \int_{t_0}^{t_0+T} x(t) e^{jk\omega_0 t} dt = X_{-k}$$

$$X_k = |X_k| e^{j\varphi_k}, \quad \varphi_k \triangleq \arg X_k$$

$$X_{-k} = X_k^* = |X_k| e^{-j\varphi_k}$$

$$|X_{-k}| = |X_k|, \quad \arg X_{-k} = -\arg X_k, \quad X_0 = X_0^* \Rightarrow X_0 \in \mathbb{R}$$

$$\begin{aligned} x(t) &= \sum_{k=-\infty}^{\infty} X_k e^{jk\omega_0 t} = \sum_{k=-\infty}^{-1} X_k e^{jk\omega_0 t} + X_0 + \sum_{k=1}^{\infty} X_k e^{jk\omega_0 t} = \sum_{k=1}^{\infty} X_{-k} e^{-jk\omega_0 t} + X_0 + \sum_{k=1}^{\infty} X_k e^{jk\omega_0 t} = \\ &= X_0 + \sum_{k=1}^{\infty} (|X_k| e^{j\varphi_k} e^{jk\omega_0 t} + |X_k| e^{-j\varphi_k} e^{-jk\omega_0 t}) = X_0 + \sum_{k=1}^{\infty} |X_k| \underbrace{\left[e^{j(k\omega_0 t + \varphi_k)} + e^{-j(k\omega_0 t + \varphi_k)} \right]}_{2 \cos(k\omega_0 t + \varphi_k)} \end{aligned}$$

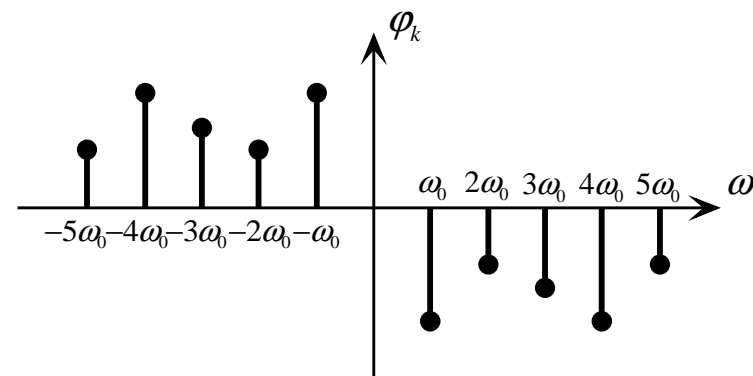
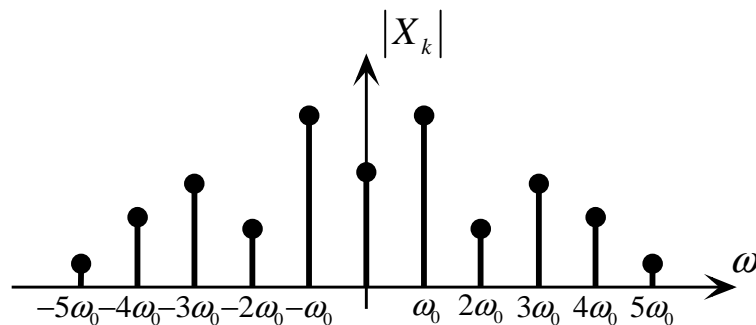
$$x(t) = X_0 + \sum_{k=1}^{\infty} 2|X_k| \cos(k\omega_0 t + \varphi_k)$$

Alternatywna postać trygonometrycznego szeregu Fouriera

$$x(t) = \underbrace{X_0}_{\text{składowa stała}} + \sum_{k=1}^{\infty} \underbrace{2|X_k| \cos(k\omega_0 t + \varphi_k)}_{\text{składowe harmoniczne}}$$

Przebieg okresowy można przedstawić jako sumę **składowej stałej** X_0 i **składowych harmonicznych**, którymi są przebiegi sinusoidalne o **dyskretnych** pulsacjach $k\omega_0$, amplitudach $2|X_k|$ i fazach początkowych φ_k

$|X_k|$ i φ_k możemy traktować jako funkcje ω , których dziedziną jest dyskretny zbiór $\{k\omega_0: k \in \mathbb{Z}\}$. Funkcje te nazywa się odpowiednio: **dyskretnym widmem amplitudowym** i **dyskretnym widmem fazowym**.



$$\cos(k\omega_0 t + \varphi_k) = \cos \varphi_k \cos k\omega_0 t - \sin \varphi_k \sin k\omega_0 t$$

$$x(t) = X_0 + \sum_{k=1}^{\infty} (2|X_k| \cos \varphi_k \cos k\omega_0 t - 2|X_k| \sin \varphi_k \sin k\omega_0 t)$$

$$x(t) = X_0 + \sum_{k=1}^{\infty} (a_k \cos k\omega_0 t + b_k \sin k\omega_0 t)$$

$$a_k = 2|X_k| \cos \varphi_k = 2\operatorname{Re}\{X_k\} = X_k + X_{-k}$$

$$b_k = -2|X_k| \sin \varphi_k = -2\operatorname{Im}\{X_k\} = j(X_k - X_{-k})$$

$$X_k = \frac{a_k - jb_k}{2}$$

Równość Parsevala

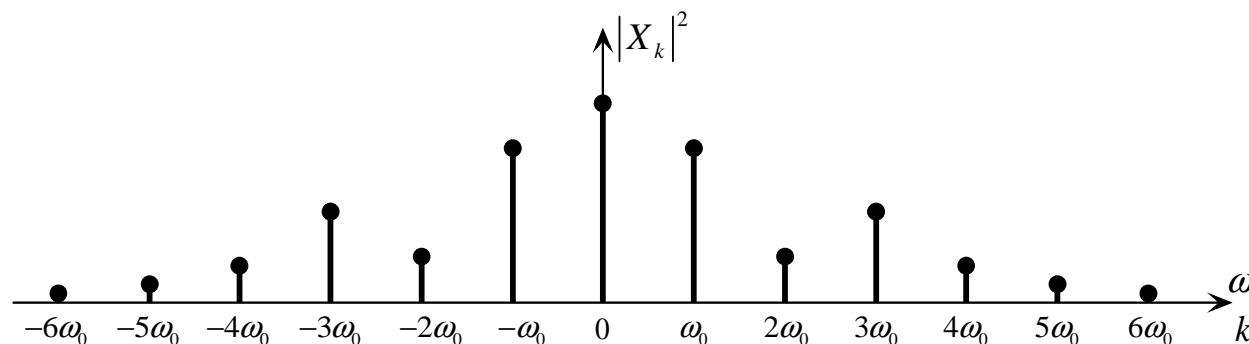
$$P_x = \langle x(t), x(t) \rangle = \frac{1}{T} \int_{t_0}^{t_0+T} x^2(t) dt = \sum_{k=-\infty}^{\infty} |X_k|^2 = X_0^2 + 2 \sum_{k=1}^{\infty} |X_k|^2$$

$2|X_k|$ — amplituda k -tej harmonicznej

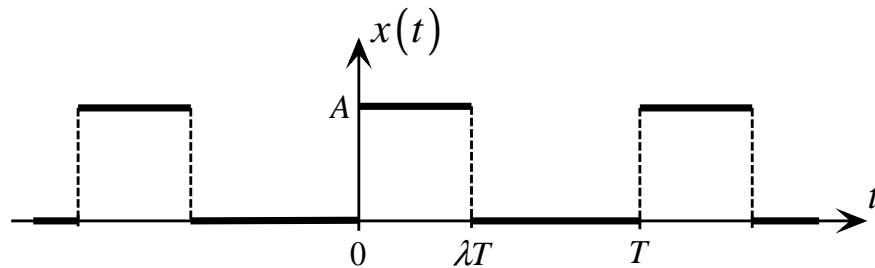
$$\frac{(2|X_k|)^2}{2} = 2|X_k|^2 \text{ — moc } k\text{-tej harmonicznej, } X_0^2 \text{ — moc składowej stałej}$$

Moc sygnału okresowego jest równa sumie mocy składowej stałej i mocy składowych harmonicznych

Funkcję $|X_k|^2$, określoną na **dyskretnym** zbiorze $\{k\omega_0 : k \in \mathbb{Z}\}$, nazywa się **dyskretnym widmem mocy**.



Przykład 1.



$$0 < \lambda < 1$$

$$X_k = \frac{1}{T} \int_{t_0}^{t_0+T} x(t) e^{-jk\omega_0 t} dt = \frac{1}{T} \left[\int_0^{\lambda T} A e^{-jk\omega_0 t} dt + \int_{\lambda T}^T 0 \cdot e^{-jk\omega_0 t} dt \right] = \frac{A}{T} \int_0^{\lambda T} e^{-jk\omega_0 t} dt$$

$$k \neq 0$$

$$X_k = \frac{A}{T} \left[\frac{1}{-jk\omega_0} e^{-jk\omega_0 t} \right]_0^{\lambda T} = \frac{A}{jk\omega_0 T} (1 - e^{-jk\omega_0 \lambda T})$$

$$\omega_0 T = 2\pi \quad \Rightarrow \quad X_k = \frac{A}{2jk\pi} (1 - e^{-2jk\pi\lambda}) = \frac{A}{k\pi} \frac{e^{jk\pi\lambda} - e^{-jk\pi\lambda}}{2j} e^{-jk\pi\lambda} = \frac{A \sin(k\pi\lambda)}{k\pi} e^{-jk\pi\lambda}$$

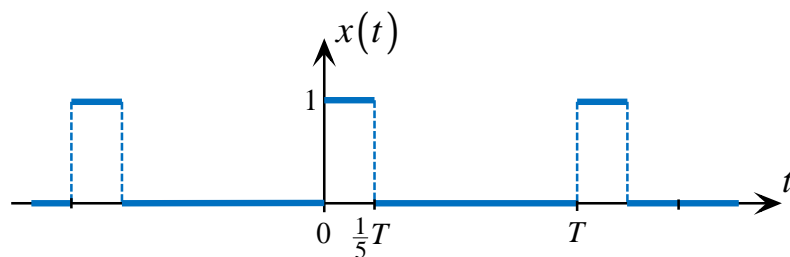
$$k = 0$$

$$X_0 = \frac{A}{T} \int_0^{\lambda T} dt = A\lambda$$

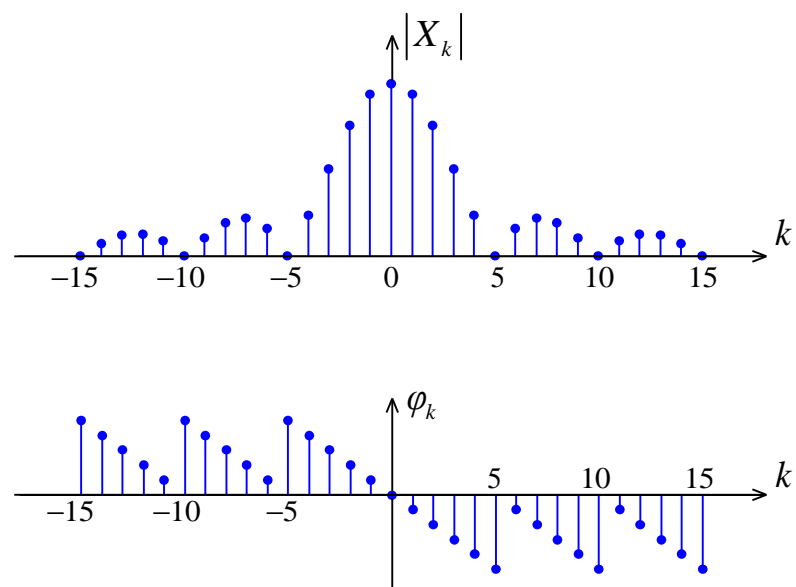
$$A = 1, \quad \lambda = \frac{1}{5}$$

$$X_k = \begin{cases} \frac{\sin(0,2k\pi)}{k\pi} e^{-j0,2k\pi} & k \neq 0 \\ 0,2 & k = 0 \end{cases}$$

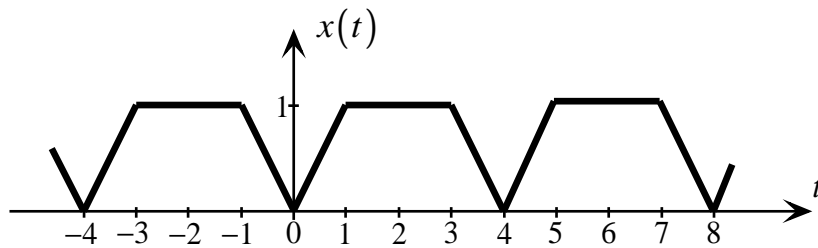
Reprezentacja w dziedzinie czasu



Reprezentacja w dziedzinie częstotliwości



Przykład 2.

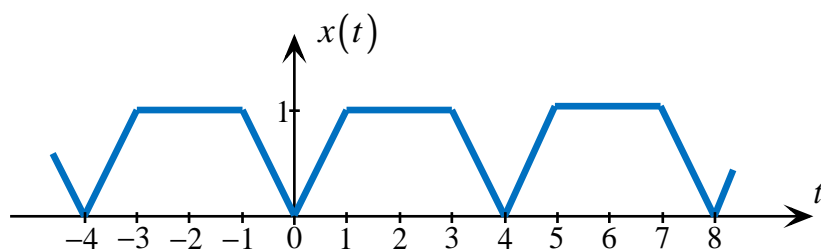


$$T = 4, \quad \omega_0 = \frac{\pi}{2}$$

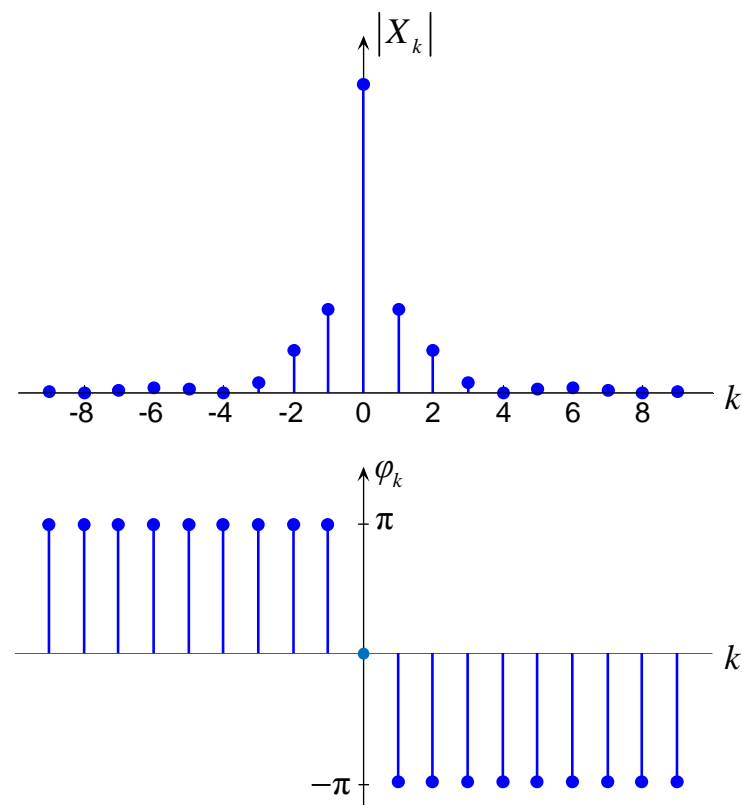
$$X_k = \frac{1}{4} \left[\int_0^1 t e^{-jk\frac{\pi}{2}t} dt + \int_1^3 e^{-jk\frac{\pi}{2}t} dt + \int_3^4 (4-t) e^{-jk\frac{\pi}{2}t} dt \right]$$

$$X_k = \begin{cases} \frac{3}{4} & \text{gdy } k = 0 \\ -\frac{4 \sin^2 \frac{k\pi}{4}}{k^2 \pi^2} & \text{gdy } k \neq 0 \end{cases}$$

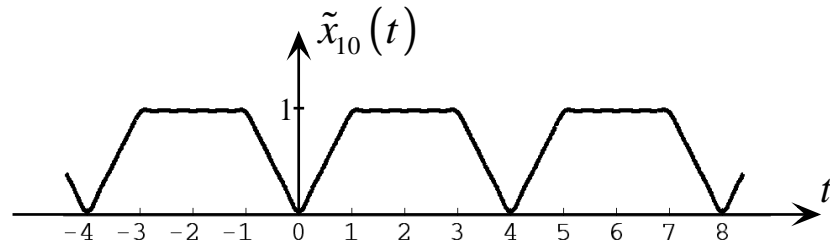
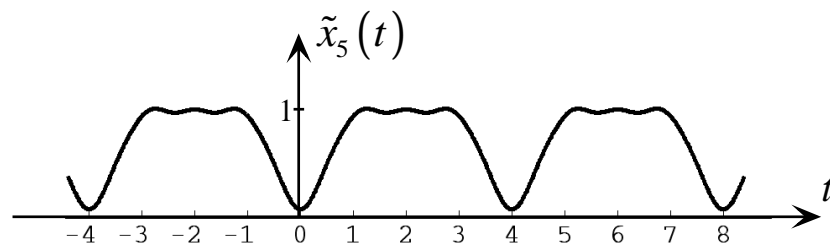
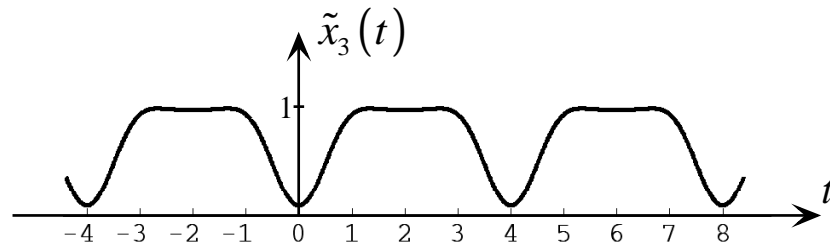
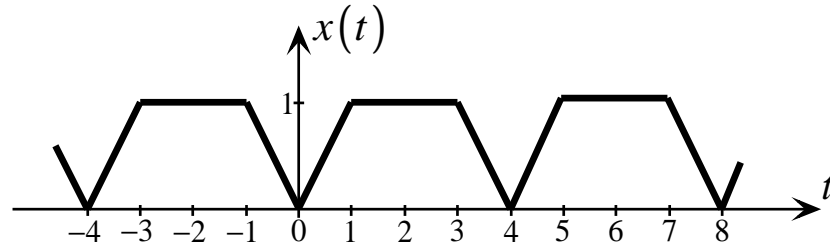
Reprezentacja w dziedzinie czasu



Reprezentacja w dziedzinie częstotliwości



Aproksymacja szeregiem skończonym

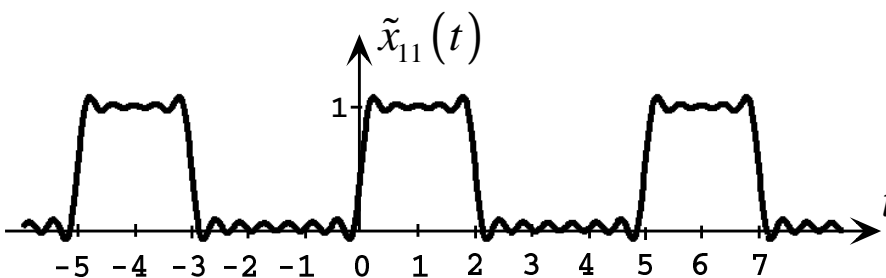
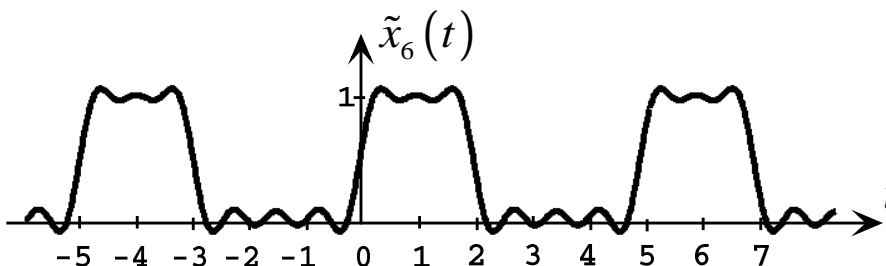
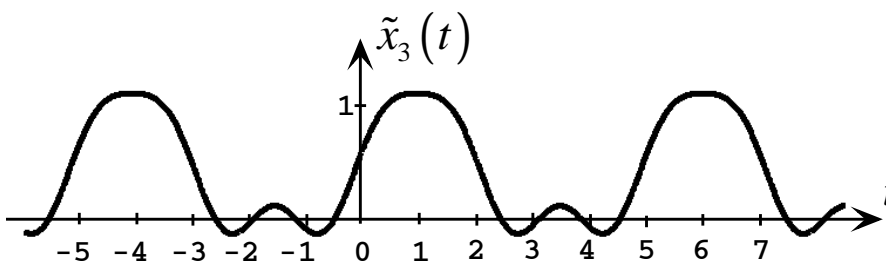
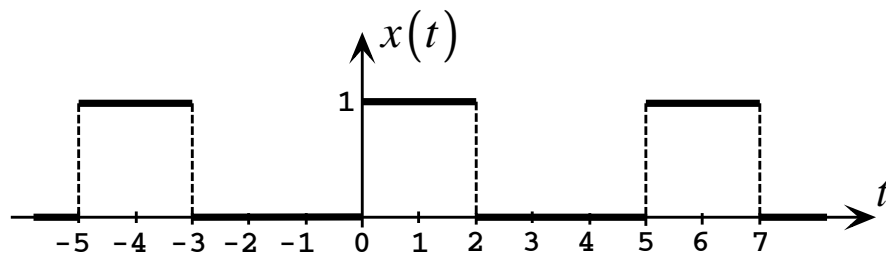


$$T = 4, \quad \omega_0 = \frac{\pi}{2},$$

$$x(t) = \sum_{k=-\infty}^{\infty} X_k e^{jk\omega_0 t},$$

$$X_k = -\frac{4 \sin^2 \frac{k\pi}{4}}{k^2 \pi^2}, \quad k \neq 0, \quad X_0 = \frac{3}{4}.$$

$$\tilde{x}_n(t) = \sum_{k=-n}^n X_k e^{jk\omega_0 t}$$

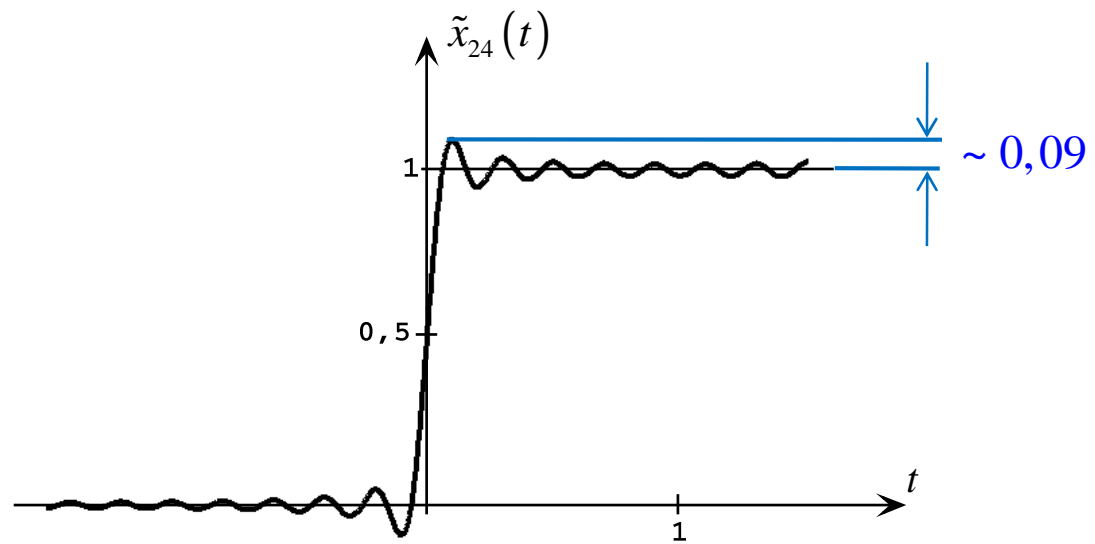


$$T = 5, \quad \omega_0 = \frac{2\pi}{5},$$

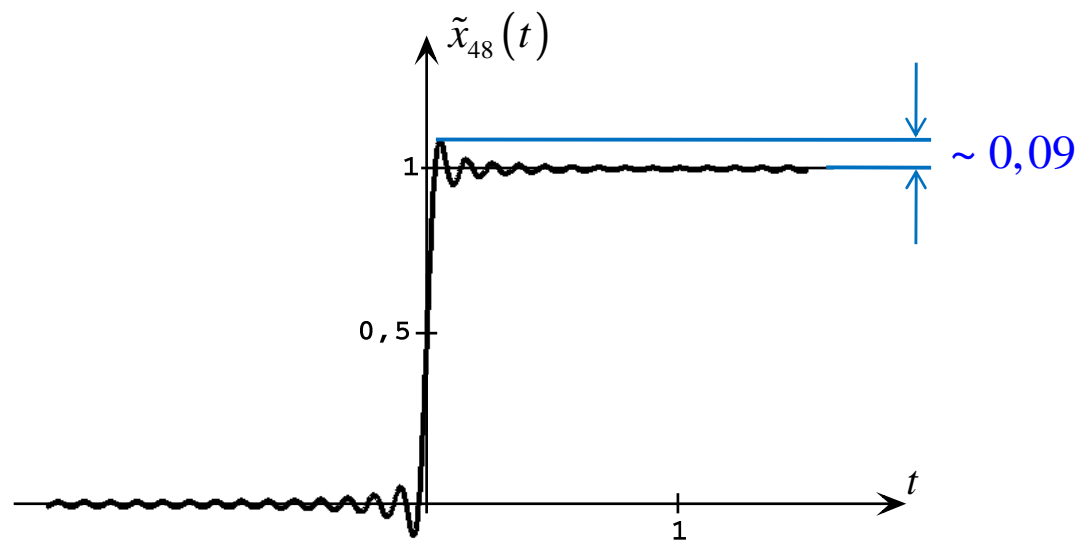
$$x(t) = \sum_{k=-\infty}^{\infty} X_k e^{jk\omega_0 t},$$

$$X_k = \frac{\sin k \frac{2\pi}{5}}{k\pi} e^{-jk \frac{2\pi}{5}}, \quad k \neq 0, \quad X_0 = \frac{2}{5}.$$

$$\tilde{x}_n(t) = \sum_{k=-n}^n X_k e^{jk\omega_0 t}$$



Efekt Gibbsa



Jeżeli funkcja $x(t)$ ma nieciągłość w punkcie t_0 , to

$$1. \quad \sum_{k=-n}^n X_k e^{jk\omega_0 t} \Big|_{t=t_0} \xrightarrow{n \rightarrow \infty} \frac{x(t_0 -) + x(t_0 +)}{2}.$$

2. W otoczeniu t_0 suma szeregu ma zafalowania o wartości

$$\sim 0,09 \left| x(t_0 +) - x(t_0 -) \right|.$$

Wartość ta praktycznie nie zależy od n . Zjawisko to nazywa się **efektem Gibbsa**.

Sygnały impulsowe, różne o zera w przedziale $[0, T]$

Przestrzeń $L^2(0, T)$

$$T = 1$$

Szereg Haara

Bazą przestrzeni $L^2(0, 1)$ może być zbiór ortonormalny funkcji Haara

$$x_0(t) = \mathbf{1}(t) - \mathbf{1}(t-1)$$

$$x_m^i(t) = \sqrt{2^m} \left[\mathbf{1}\left(t - \frac{2i-2}{2^{m+1}}\right) - 2 \cdot \mathbf{1}\left(t - \frac{2i-1}{2^{m+1}}\right) + \mathbf{1}\left(t - \frac{2i}{2^{m+1}}\right) \right],$$

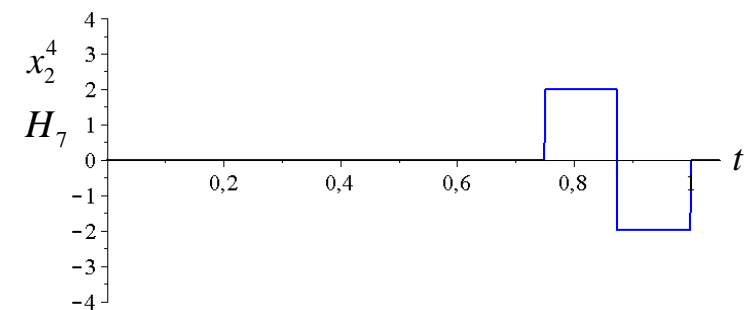
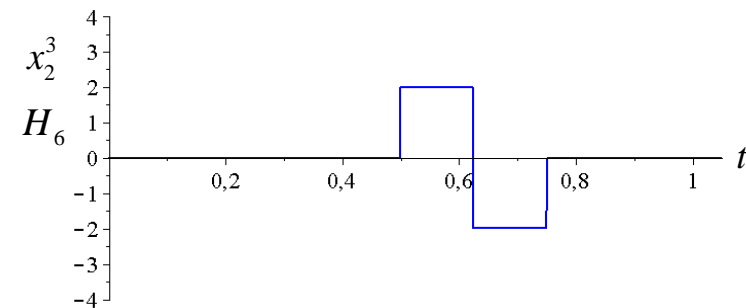
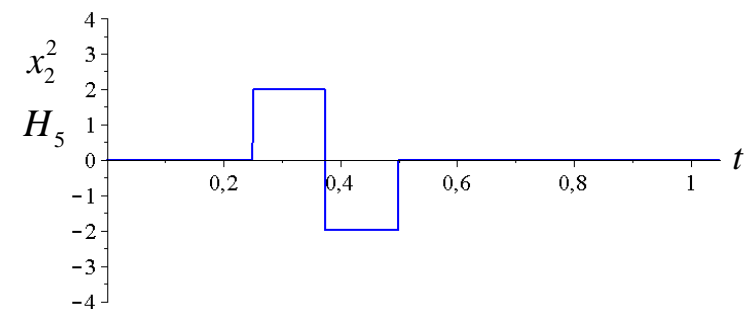
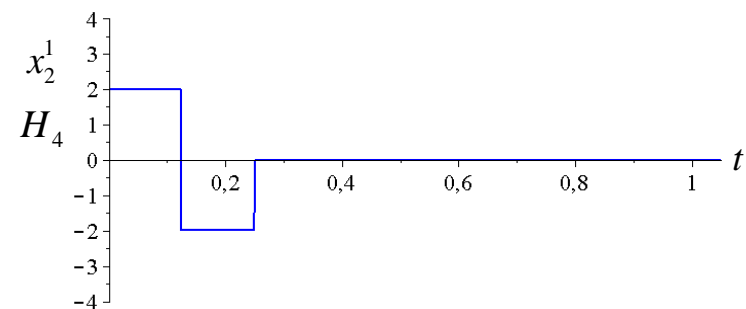
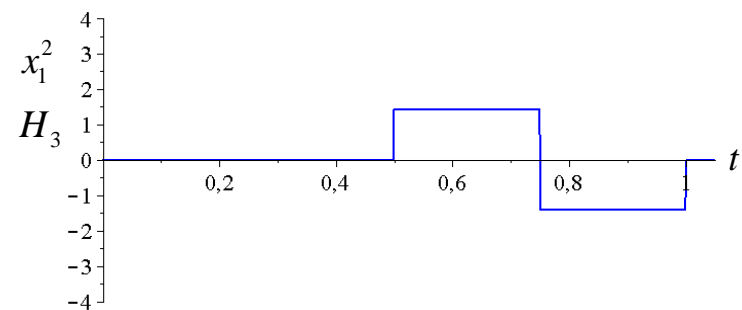
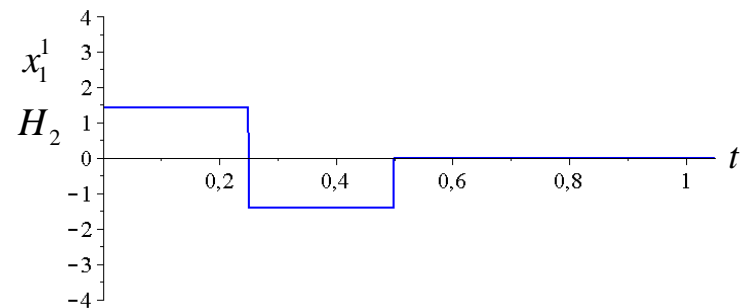
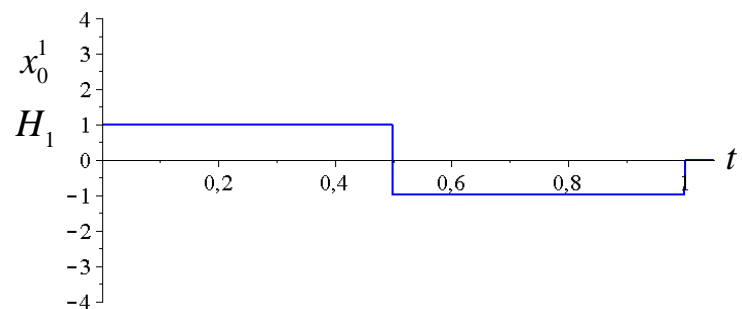
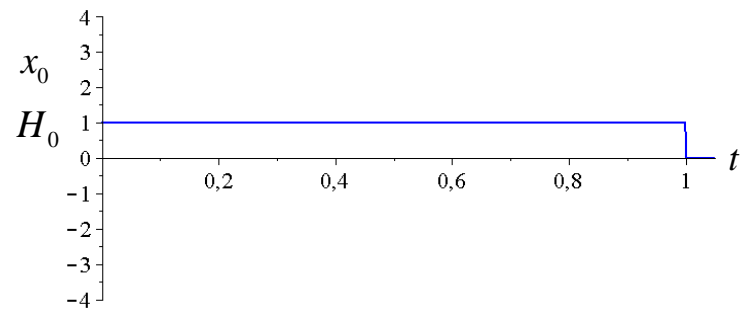
$$m = 0, 1, 2, 3, \dots$$

$$i = 1, 2, 3, \dots, 2^m$$

Funkcje można przenieumerować następująco:

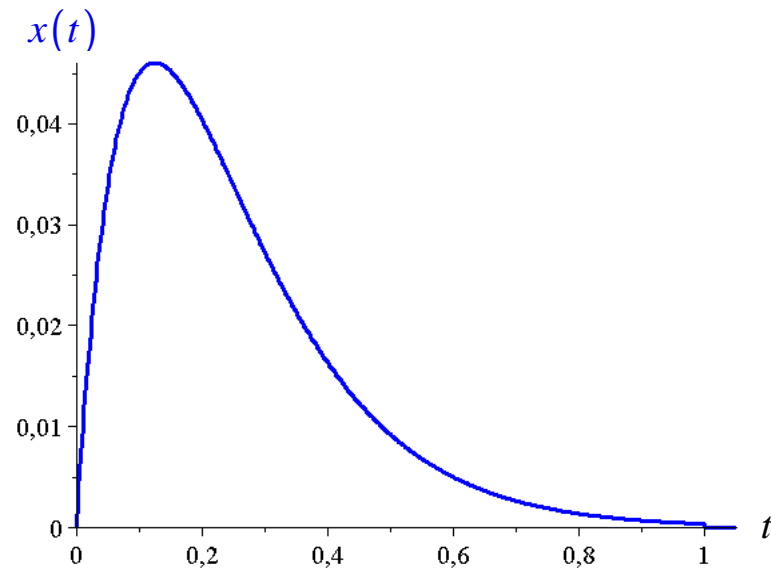
$$H_0(t) = x_0(t)$$

$$H_k(t) = x_m^i(t) \quad \text{gdzie} \quad k = 2^m + i - 1 \quad \text{oraz} \quad i = 1, \dots, 2^m$$



Przykład 1.

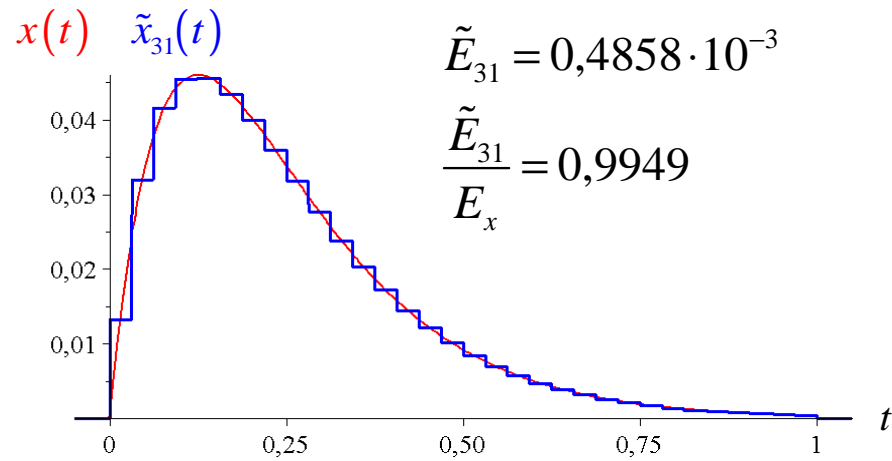
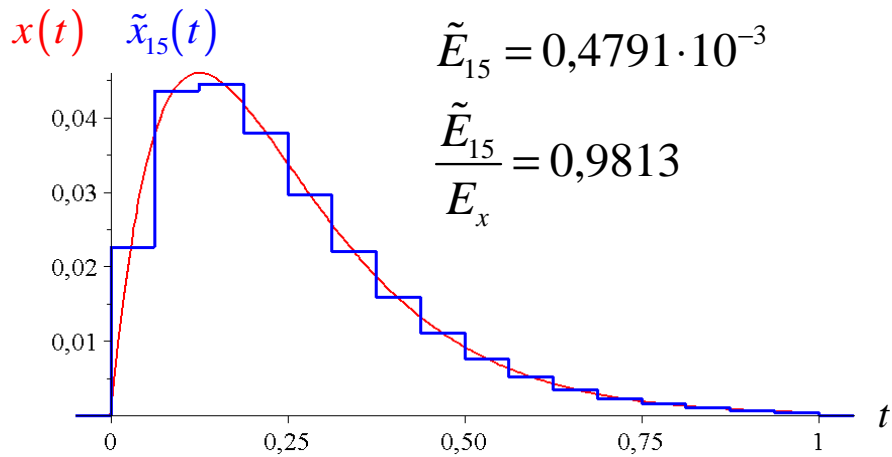
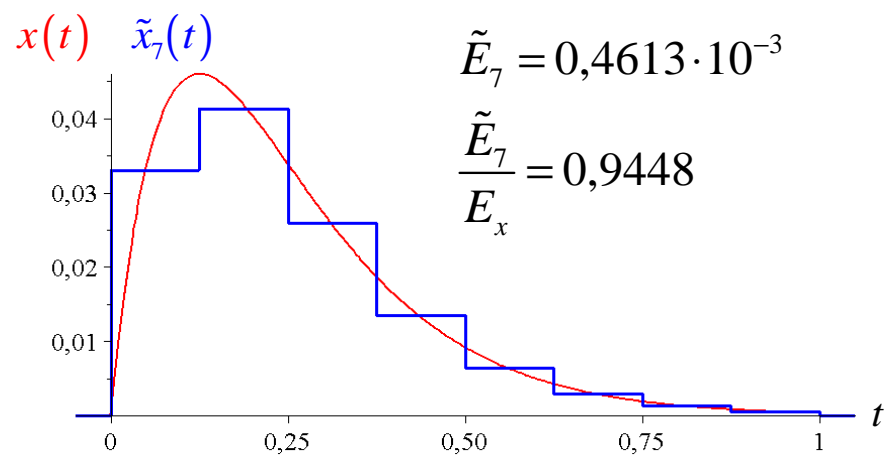
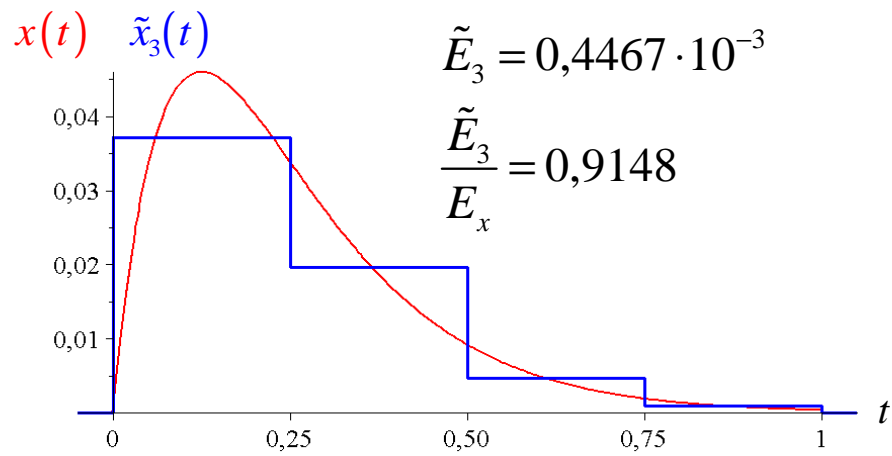
$$x(t) = te^{-8t}, \quad t \in [0,1]$$



$$E_x = \int_0^1 x^2(t) dt = 0,48827 \cdot 10^{-3}$$

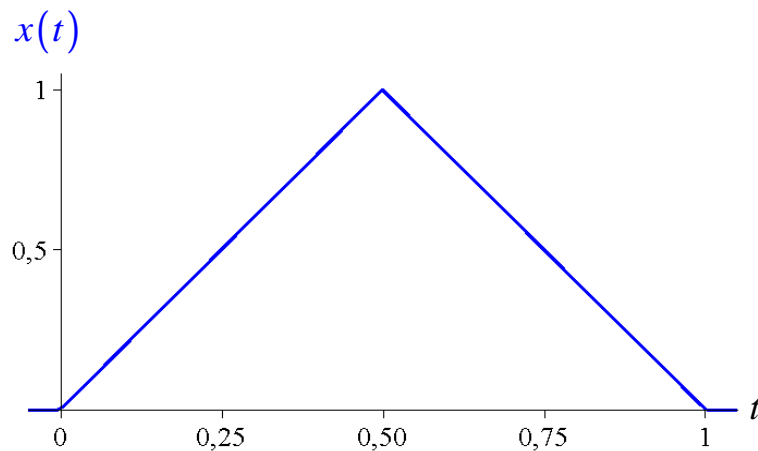
$$x(t) = \sum_{k=0}^{\infty} \alpha_k H_k(t) \quad \text{gdzie} \quad \alpha_k = \int_0^1 x(t) H_k(t) dt$$

$$\tilde{x}_n = \sum_{k=0}^n \alpha_k H_k(t) \quad \tilde{E}_n = \sum_{k=0}^n \alpha_k^2$$



Przykład 2.

$$x(t) = 2t\mathbf{1}(t) - 4\left(t - \frac{1}{2}\right)\mathbf{1}\left(t - \frac{1}{2}\right) + 2(t-1)\mathbf{1}(t-1)$$

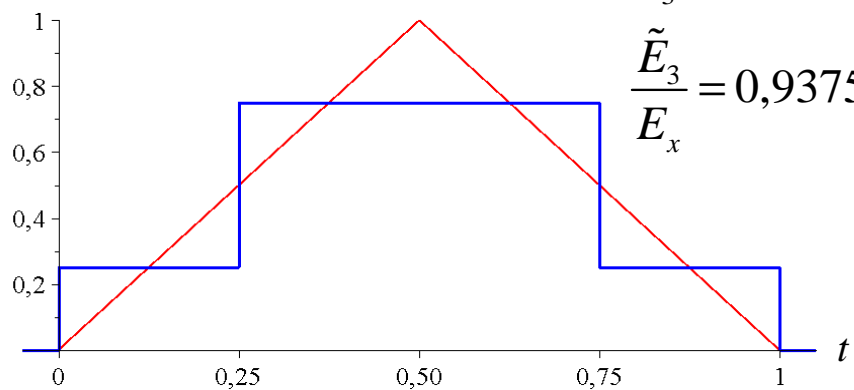


$$E_x = \int_0^1 x^2(t) dt = \frac{1}{3} \approx 0,3333$$

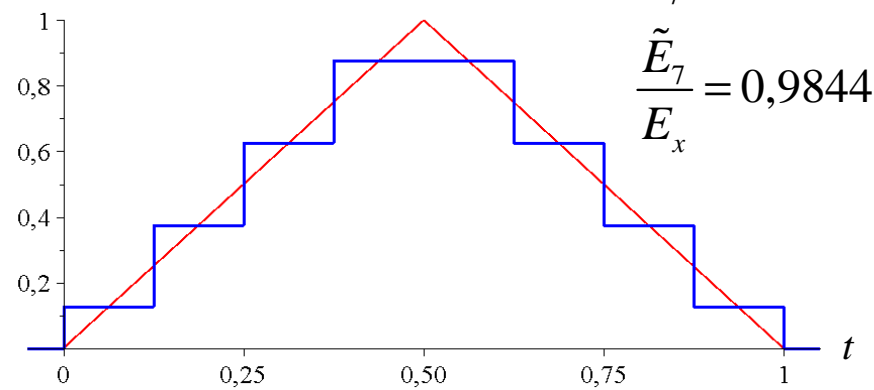
$$x(t) = \sum_{k=0}^{\infty} \alpha_k H_k(t) \quad \text{gdzie} \quad \alpha_k = \int_0^1 x(t) H_k(t) dt$$

$$\tilde{x}_n = \sum_{k=0}^n \alpha_k H_k(t) \quad \tilde{E}_n = \sum_{k=0}^n \alpha_k^2$$

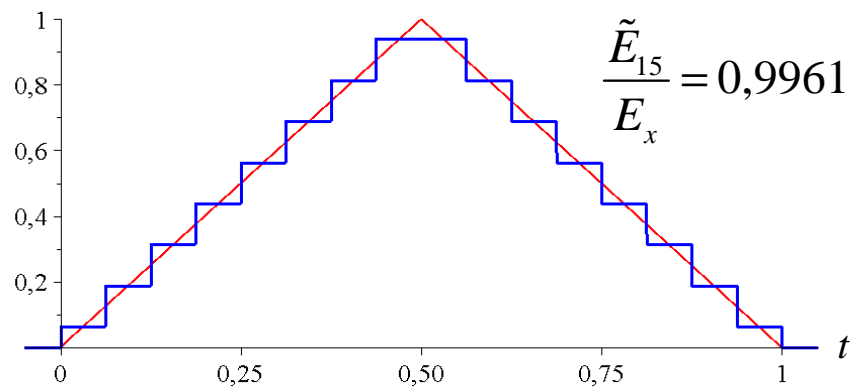
$x(t)$ $\tilde{x}_3(t)$



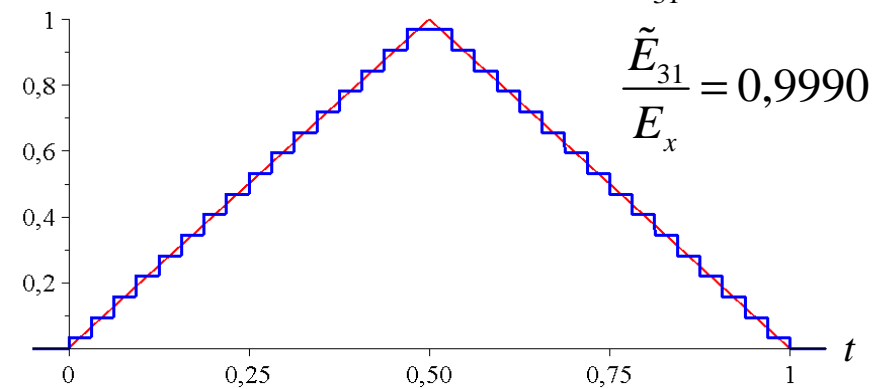
$x(t)$ $\tilde{x}_7(t)$



$x(t)$ $\tilde{x}_{15}(t)$



$x(t)$ $\tilde{x}_{31}(t)$



Szereg Walsha

Bazą przestrzeni $L^2(0,1)$ może być zbiór ortonormalny funkcji Walsha

$$x_0(t) = \mathbf{1}(t) - \mathbf{1}(t-1)$$

$$x_1(t) = \mathbf{1}(t) - 2 \cdot \mathbf{1}\left(t - \frac{1}{2}\right) + \mathbf{1}(t-1)$$

$$x_2^1(t) = \mathbf{1}(t) - 2 \cdot \mathbf{1}\left(t - \frac{1}{4}\right) + 2 \cdot \mathbf{1}\left(t - \frac{3}{4}\right) - \mathbf{1}(t-1)$$

$$x_2^2(t) = \mathbf{1}(t) - 2 \cdot \mathbf{1}\left(t - \frac{1}{4}\right) + 2 \cdot \mathbf{1}\left(t - \frac{1}{2}\right) - 2 \cdot \mathbf{1}\left(t - \frac{3}{4}\right) + \mathbf{1}(t-1)$$

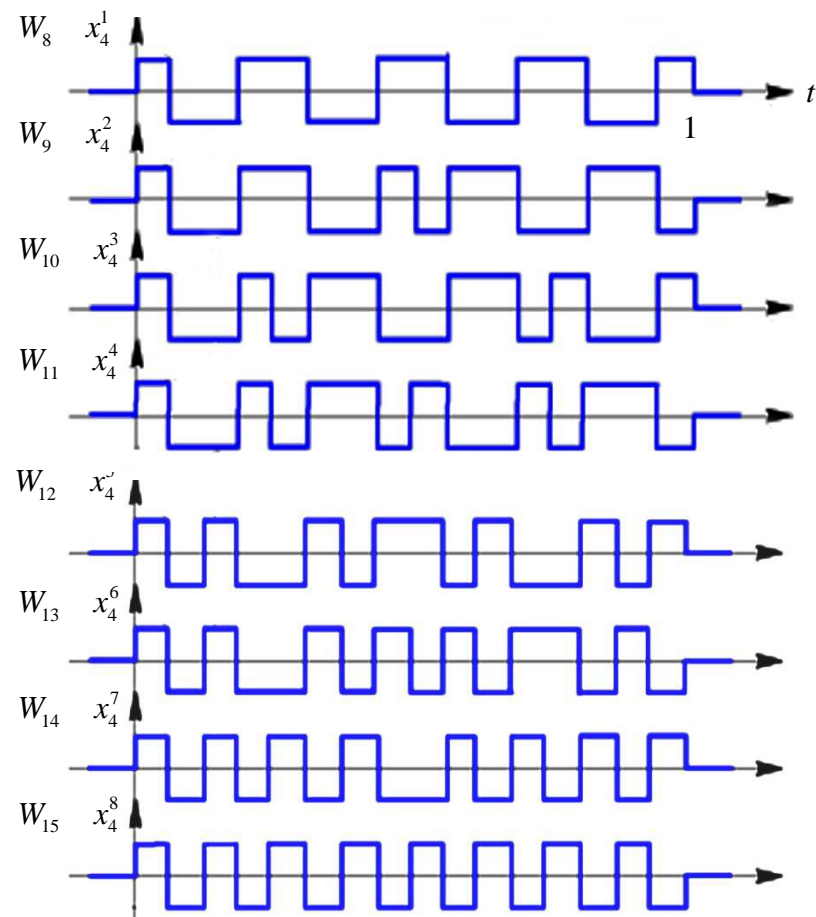
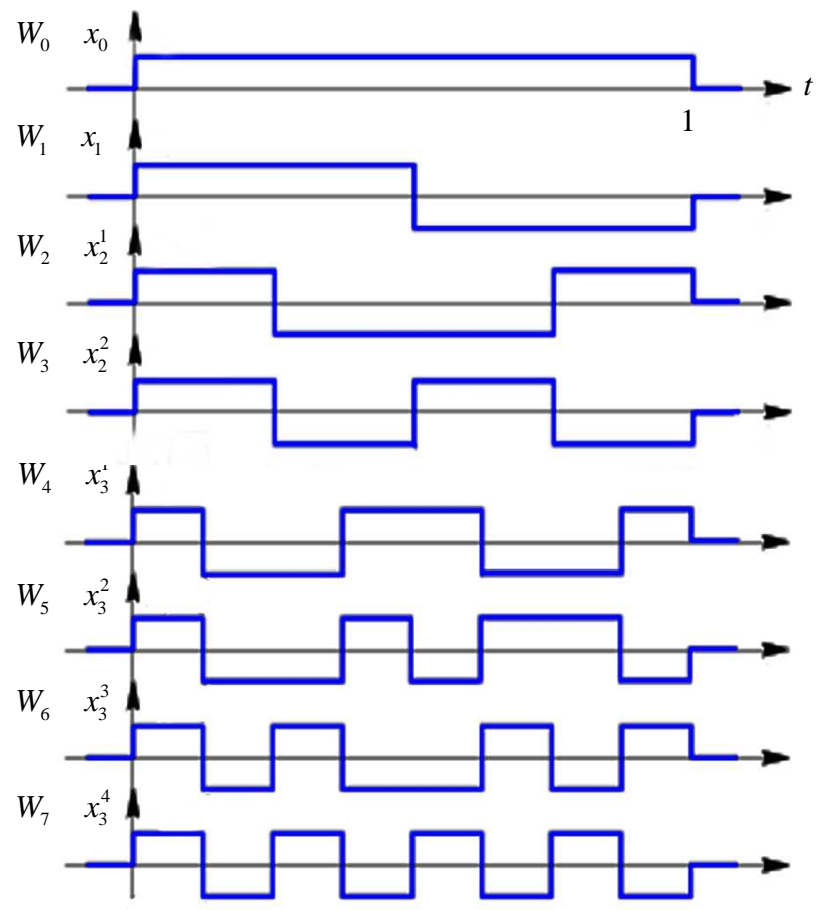
i rekurencyjnie dla $m = 3, 4, \dots$ oraz $i = 1, \dots, 2^{m-1}$

$$x_{m+1}^{2i-1}(t) = \begin{cases} x_m^i(2t) & \text{dla } 0 \leq t < \frac{1}{2} \\ (-1)^{i+1} x_m^i(2t-1) & \text{dla } \frac{1}{2} < t \leq 1 \end{cases}$$

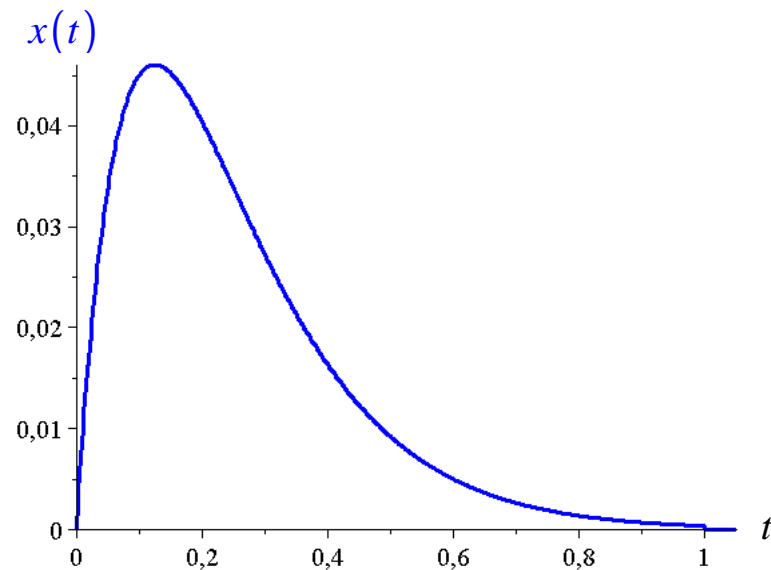
$$x_{m+1}^{2i}(t) = \begin{cases} x_m^i(2t) & \text{dla } 0 \leq t < \frac{1}{2} \\ (-1)^i x_m^i(2t-1) & \text{dla } \frac{1}{2} < t \leq 1 \end{cases}$$

Można przenieumerować:

$$\begin{aligned} W_0(t) &= x_0(t), & W_1(t) &= x_1(t), \\ W_k(t) &= x_m^i(t), & k &= 2^{m-1} + i - 1 \\ & & i &= 1, \dots, 2^{m-1} \end{aligned}$$



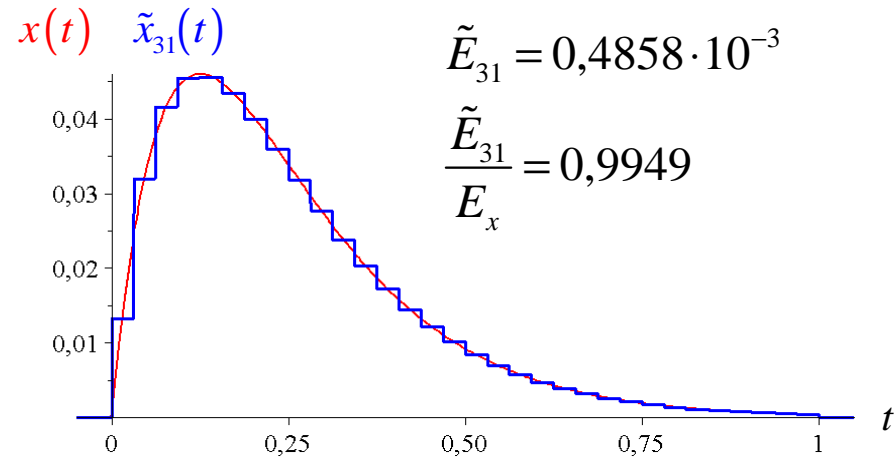
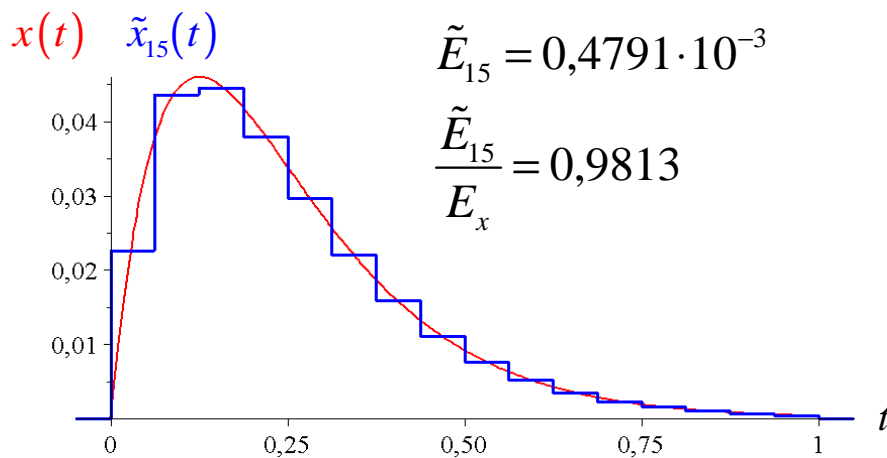
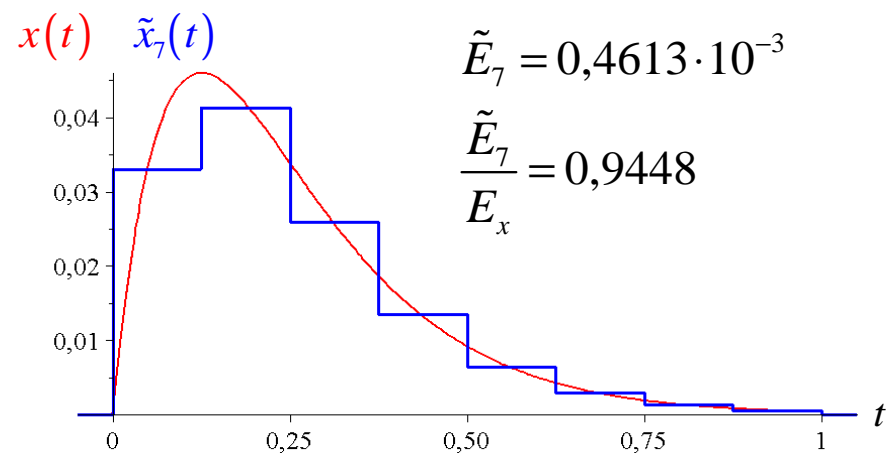
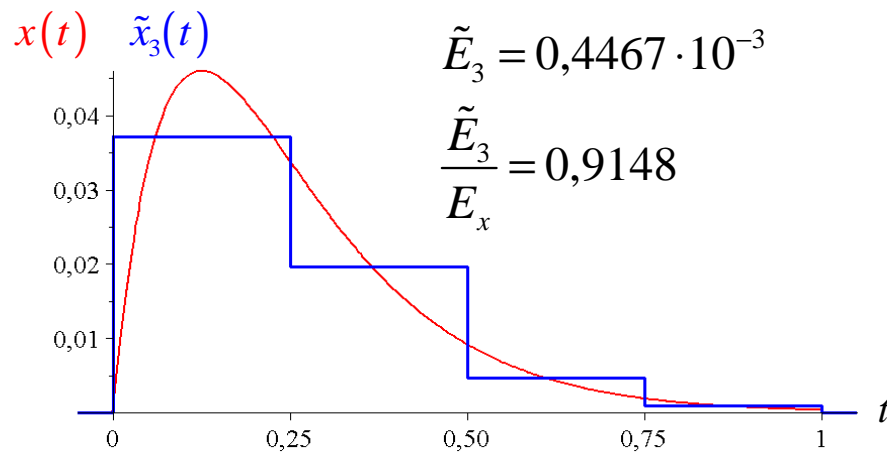
$$x(t) = te^{-8t}, \quad t \in [0, 1]$$



$$E_x = \int_0^1 x^2(t) dt = 0,48827 \cdot 10^{-3}$$

$$x(t) = \sum_{k=0}^{\infty} \beta_k W_k(t) \quad \text{gdzie} \quad \beta_k = \int_0^1 x(t) W_k(t) dt$$

$$\tilde{x}_n = \sum_{k=0}^n \beta_k W_k(t) \quad \tilde{E}_n = \sum_{k=0}^n \beta_k^2$$



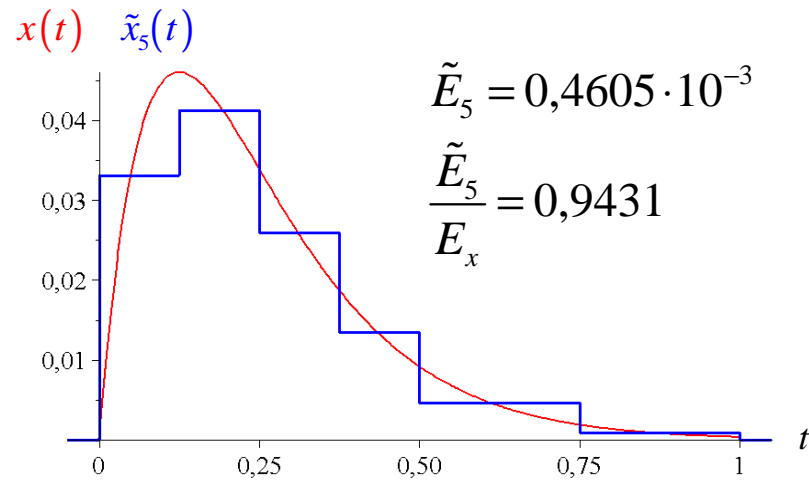
Gdy $n = 2^p - 1$, $p \in \mathbb{N}$

$$\tilde{x}_n(t) = \sum_{k=0}^n \alpha_k H_k(t) = \sum_{k=0}^n \beta_k W_k(t)$$

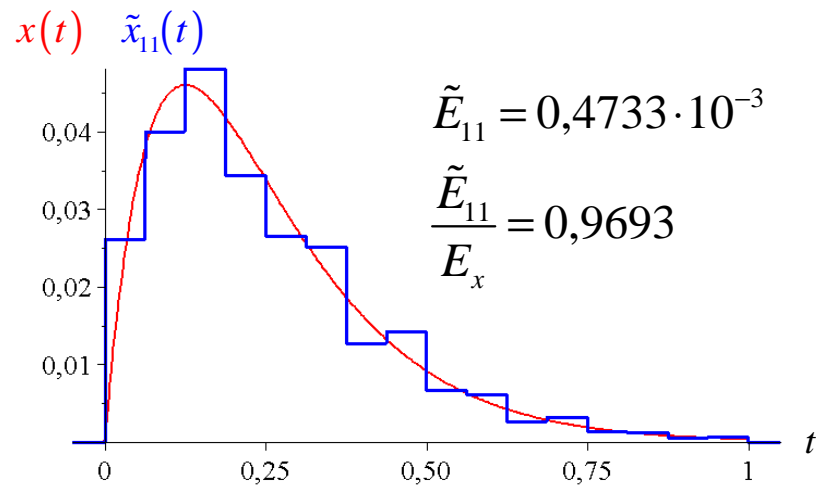
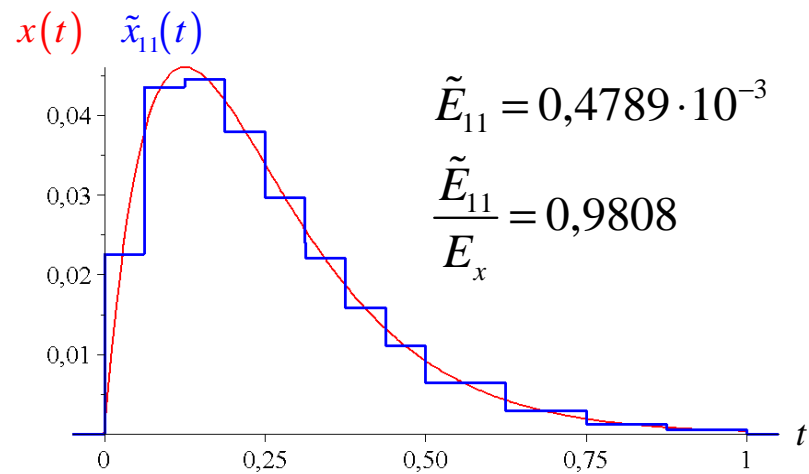
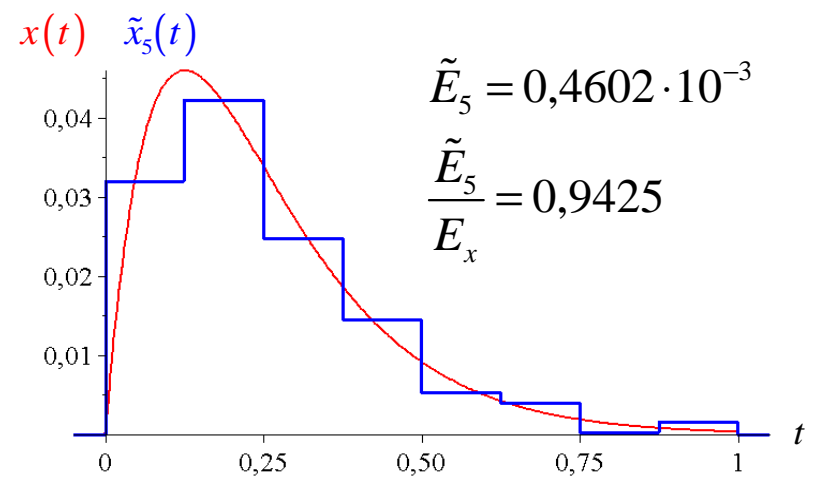
$$\tilde{E}_n = \sum_{k=0}^n \alpha_k^2 = \sum_{k=0}^n \beta_k^2$$

Gdy $n \neq 2^p - 1$

Szereg Haara



Szereg Walsha



Sygnały impulsowe, różne o zera w przedziale $[0, T]$

Przestrzeń $L^2(0, T)$, gdzie przedział $[0, T]$ jest *przedziałem obserwacji* sygnałów $x(t)$ o skończonej energii

$$E_x = \int_0^T |x(t)|^2 dt < \infty$$

Przestrzeń jest przestrzenią Hilberta z iloczynem skalarnym

$$\langle x, y \rangle = \int_0^T x(t) y^*(t) dt, \quad x, y \in L^2(0, T)$$

i normą

$$\|x\| = \sqrt{\langle x, x \rangle} = \sqrt{\int_0^T |x(t)|^2 dt}$$

Bazą ortonormalną może być zbiór zespolonych funkcji wykładniczych

$$\left\{ \frac{1}{\sqrt{T}} e^{jk \frac{2\pi}{T} t} : k \in \mathbb{Z} \right\},$$

Wówczas, gdy $x(t) \in L^2(0, T)$

$$x(t) = \sum_{k=-\infty}^{\infty} \alpha_k \frac{1}{\sqrt{T}} e^{jk \frac{2\pi}{T} t}, \quad \alpha_k \in \mathbb{C}$$

gdzie

$$\alpha_k = \left\langle x, \frac{1}{\sqrt{T}} e^{jk \frac{2\pi}{T} t} \right\rangle = \frac{1}{\sqrt{T}} \int_0^T x(t) \left(e^{jk \frac{2\pi}{T} t} \right)^* dt = \frac{1}{\sqrt{T}} \int_0^T x(t) e^{-jk \frac{2\pi}{T} t} dt$$

Po oznaczeniu

$$a_k \frac{1}{\sqrt{T}} = X_k, \quad \frac{2\pi}{T} = \omega_0$$

otrzymujemy

$$x(t) = \sum_{k=-\infty}^{\infty} X_k e^{jk\omega_0 t}, \quad X_k \in \mathbb{C}$$

$$X_k = \frac{1}{T} \int_0^T x(t) e^{-jk\omega_0 t} dt, \quad \omega_0 = \frac{2\pi}{T}$$

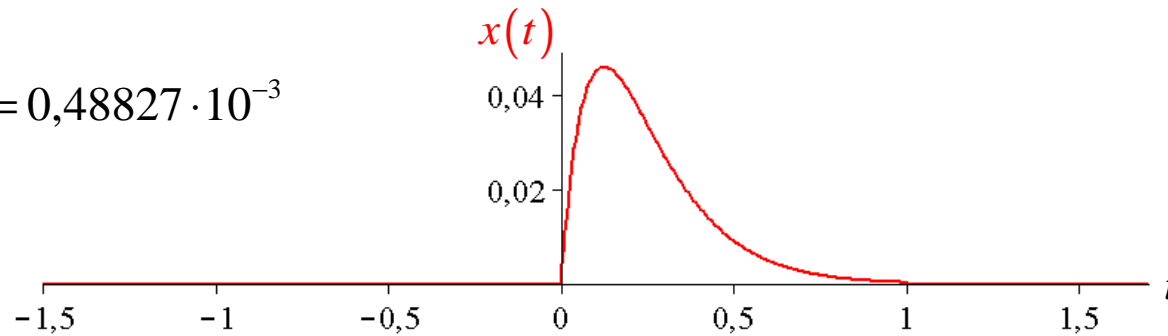
Szereg Fouriera jest zbieżny do sygnału $x(t)$ gdy $t \in [0, T]$

Poza przedziałem $[0, T]$ szereg ten jest zbieżny do funkcji okresowej, o okresie T , która jest okresowym powieleniem sygnału $x(t)$

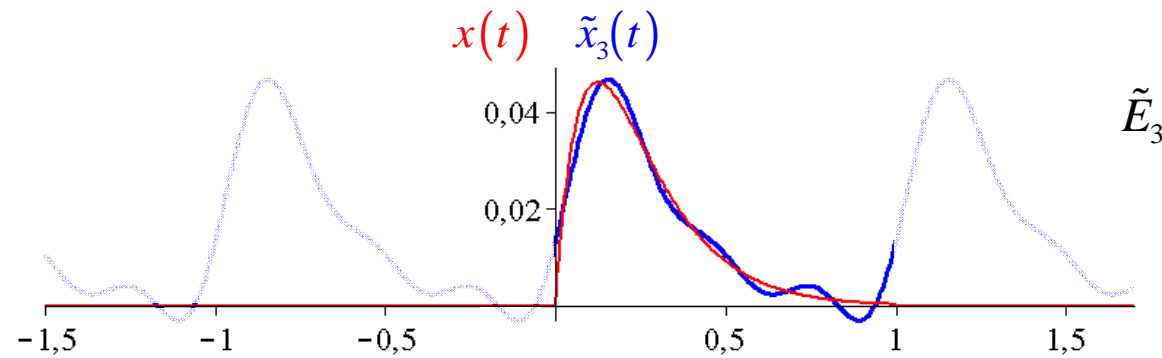
Przykład 1.

$$x(t) = te^{-8t}, \quad t \in [0, 1]$$

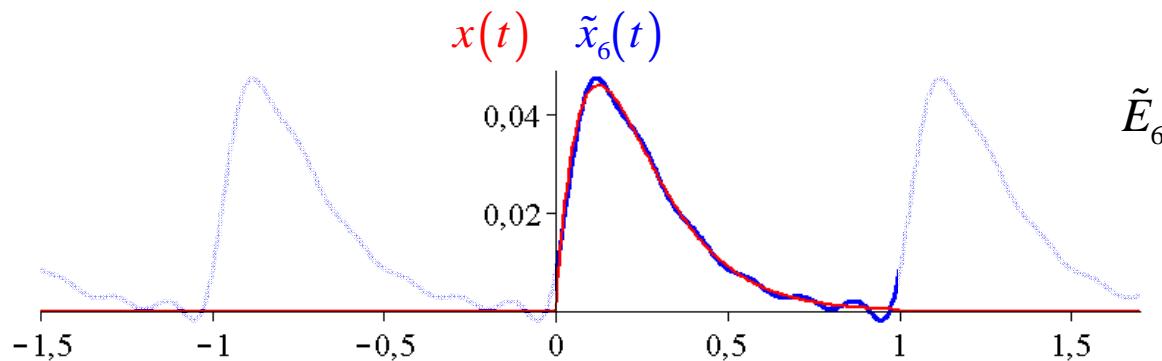
$$E_x = \int_0^1 x^2(t) dt = 0,48827 \cdot 10^{-3}$$



$$T = 1$$



$$\tilde{E}_3 = 0,98304 E_x$$



$$\tilde{E}_6 = 0,99699 E_x$$

Przykład 2.

$$x(t) = \mathbf{1}(t) - \mathbf{1}(t-1)$$



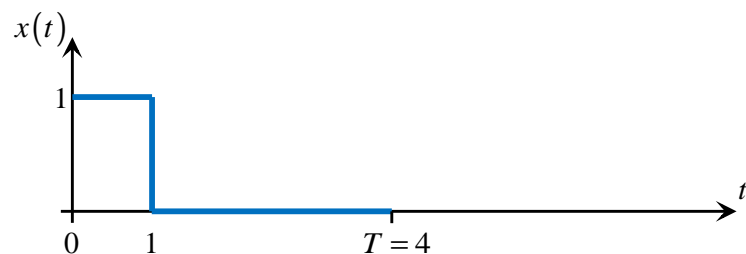
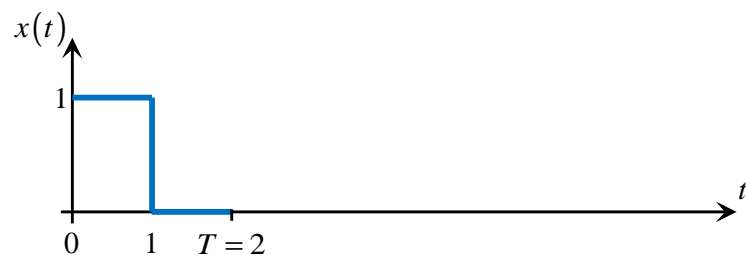
$$\omega_0 = \frac{2\pi}{T}$$

$$X_k = \frac{1}{T} \int_0^T x(t) e^{-jk\omega_0 t} dt = \frac{1}{T} \int_0^1 e^{-jk\omega_0 t} dt \stackrel{k \neq 0}{=} \frac{1 - e^{-jk\omega_0}}{jk\omega_0 T} = \frac{e^{j\frac{k\pi}{T}} - e^{-j\frac{k\pi}{T}}}{2jk\pi} e^{-j\frac{k\pi}{T}} = \frac{1}{T} \frac{\sin \frac{k\pi}{T}}{\frac{k\pi}{T}} e^{-j\frac{k\pi}{T}}$$

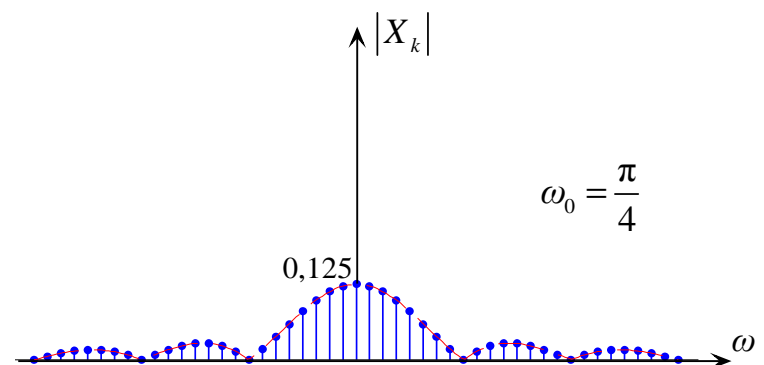
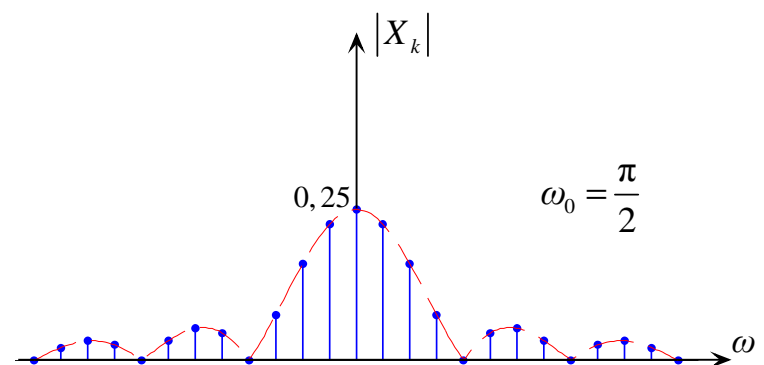
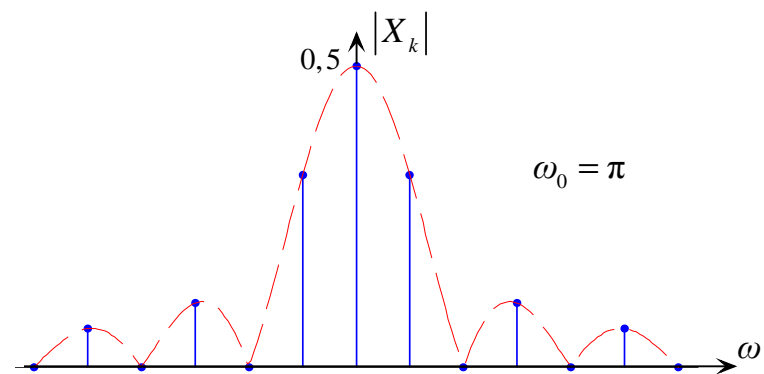
$$X_0 = \frac{1}{T}$$

$$|X_k| = \frac{1}{T} \left| \frac{\sin \frac{k\pi}{T}}{\frac{k\pi}{T}} \right|$$

Reprezentacja w dziedzinie czasu



Reprezentacja w dziedzinie częstotliwości



Splot funkcji

(krótkie korepetycje z matematyki)

$x(t)$, $y(t)$ — dowolne funkcje

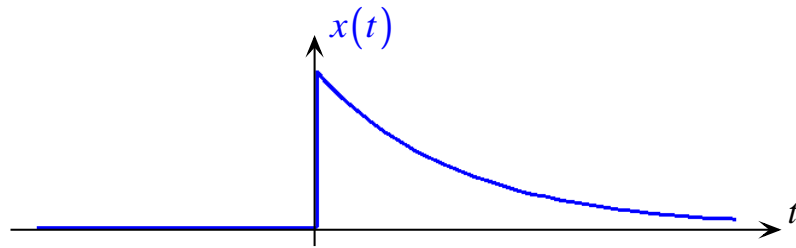
Splotem funkcji $x(t)$ i $y(t)$ nazywa się funkcję $z(t)$, określoną jako

$$z(t) = x(t) * y(t) = \int_{-\infty}^{\infty} x(\tau) y(t - \tau) d\tau = \int_{-\infty}^{\infty} x(t - \tau) y(\tau) d\tau = y(t) * x(t)$$

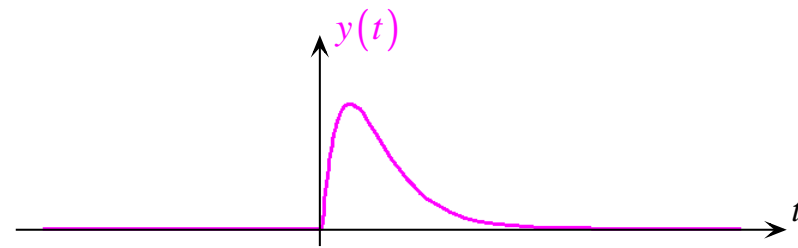
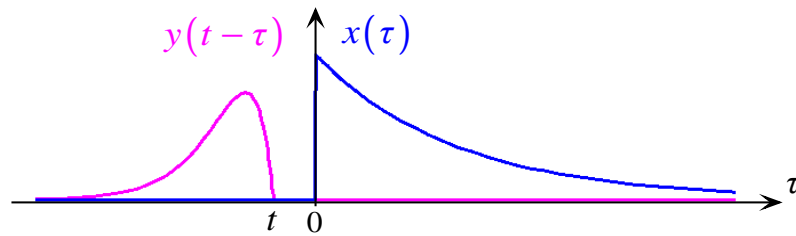
Własności splotu:

- przemienność: $x(t) * y(t) = y(t) * x(t)$
- łączność: $x(t) * [y(t) * w(t)] = [x(t) * y(t)] * w(t)$
- rozdzielność względem dodawania: $[x_1(t) + x_2(t)] * y(t) = x_1(t) * y(t) + x_2(t) * y(t)$
- mnożenie splotu przez stałą: $a[x(t) * y(t)] = [ax(t)] * y(t) = x(t) * [ay(t)]$

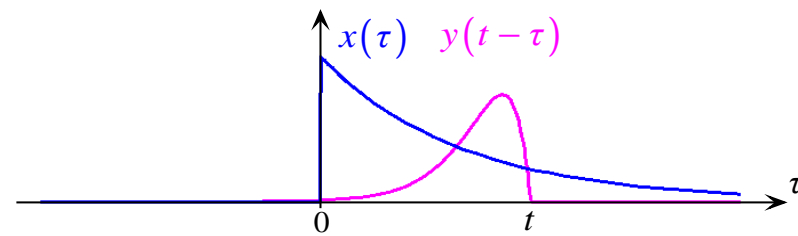
Jeżeli $x(t) \equiv 0$ i $y(t) \equiv 0$ dla $t < 0$



$t < 0$



$t \geq 0$



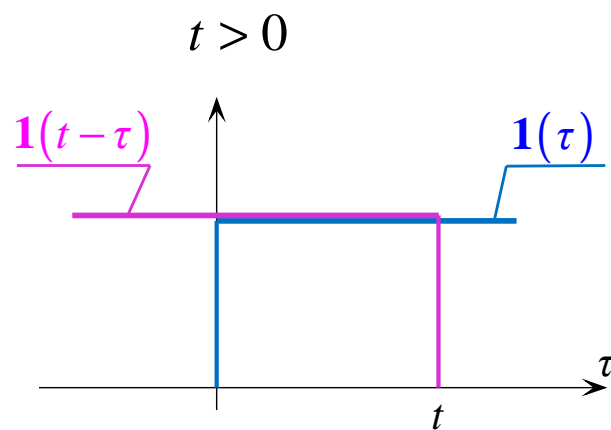
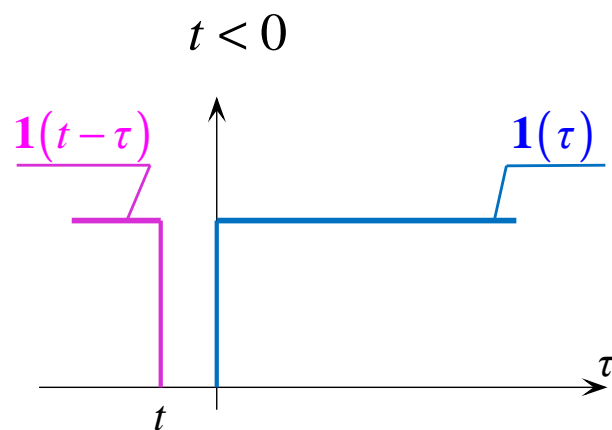
$$x(t) * y(t) = \begin{cases} \int_0^t x(\tau) y(t-\tau) d\tau, & t \geq 0 \\ 0, & t < 0 \end{cases}$$

Przykład

$$x(t) = e^{-t} \sin t \cdot \mathbf{1}(t)$$

$$y(t) = \mathbf{1}(t)$$

$$z(t) = x(t) * y(t) = \int_{-\infty}^{\infty} e^{-\tau} \sin \tau \mathbf{1}(\tau) \mathbf{1}(t - \tau) d\tau$$



$$\begin{aligned} z(t) &= \left[\int_0^t e^{-\tau} \sin \tau d\tau \right] \mathbf{1}(t) = \left[-\frac{1}{2} e^{-\tau} (\cos \tau + \sin \tau) \right]_0^t \mathbf{1}(t) = \\ &= \left[\frac{1}{2} - \frac{1}{2} e^{-t} (\cos t + \sin t) \right] \mathbf{1}(t) \end{aligned}$$

Splot funkcji i dystrybucji Diraca

$$\delta(t) * x(t) = \int_{-\infty}^{\infty} \delta(\tau) x(t - \tau) d\tau = x(t - \tau) \Big|_{\tau=0} = x(t)$$

$$\delta(t - t_0) * x(t) = \int_{-\infty}^{\infty} \delta(\tau - t_0) x(t - \tau) d\tau = x(t - \tau) \Big|_{\tau=t_0} = x(t - t_0)$$

$$x(t) = x(t) * \delta(t) = \int_{-\infty}^{\infty} x(\tau) \delta(t - \tau) d\tau$$

$$\delta_T(t) * x(t) = \sum_{k=-\infty}^{\infty} \delta(t - kT) * x(t) = \sum_{k=-\infty}^{\infty} x(t - kT)$$

Jeżeli $x(t) \in L^2(0, T)$ to $\delta_T(t) * x(t)$ jest okresowym powieleniem sygnału $x(t)$

Ciągłe reprezentacje sygnałów z czasem ciągłym

Przestrzenie Hilberta $L^2(-\infty, \infty)$ i $L^2(0, \infty)$ sygnałów o skończonej energii *nie są przestrzeniami ośrodkowymi* i nie istnieją w nich przeliczalne bazy.

Reprezentacjami tych sygnałów mogą być przekształcenia całkowe, które przyporządkowują elementom danej przestrzeni sygnałów elementy innej przestrzeni funkcyjnej, rzeczywistej lub zespolonej. Ogólnie

$$x(t) = \int_{\Gamma} X(s) \psi(s, t) ds$$

Funkcja $\psi(s, t)$ nosi nazwę **jądra przekształcenia**. Jest to odpowiednik bazy w reprezentacjach dyskretnych.

$\psi(s, t)$ jako funkcja t **nie musi** być elementem tej samej przestrzeni co $x(t)$.

Funkcja rzeczywista lub zespolona $X(s)$ zmiennej rzeczywistej lub zespolonej s nazywa się **transformatą sygnału** $x(t)$ i jest ciągłą reprezentacją tego sygnału.

Jeżeli sygnał $x(t)$ jest określony na zbiorze $t \in \Omega$, to

$$X(s) = \int_{\Omega} x(t) \varphi(t, s) dt$$

Funkcja $\varphi(t, s)$ nazywa się ***jądrem sprzężonym*** przekształcenia.

Twierdzenie:

Jeżeli

$$\int_{\Gamma} \psi(s, t) \varphi(\tau, s) ds = \delta(t - \tau)$$

lub równoważnie

$$\int_{\Omega} \varphi(t, s) \psi(p, t) dt = \delta(s - p)$$

to para przekształceń całkowych jest wzajemnie jednoznaczna

$$\left. \begin{aligned} X(s) &= \int_{\Omega} x(t) \varphi(t, s) dt \\ x(t) &= \int_{\Gamma} X(s) \psi(s, t) ds \end{aligned} \right\} \begin{array}{l} t \in \Omega \\ s \in \Gamma \end{array}$$

Będziemy oznaczać: $x(t) \rightleftharpoons X(s)$

Przekształcenie Hilberta

$$X(s) = \int_{\Omega} x(t) \varphi(t, s) dt, \quad t \in \Omega$$

$$x(t) = \int_{\Gamma} X(s) \psi(s, t) ds, \quad s \in \Gamma$$

$$\varphi(t, s) = \frac{1}{\pi(s-t)}$$

$$\psi(s, t) = -\frac{1}{\pi(t-s)}$$

$$X(s) = \frac{1}{\pi} \int_{-\infty}^{\infty} \frac{x(t)}{s-t} dt$$

$$x(t) = -\frac{1}{\pi} \int_{-\infty}^{\infty} \frac{X(s)}{t-s} ds$$

s ma wymiar czasu

$$\left. \begin{array}{l} t \rightarrow \tau \\ s \rightarrow t \end{array} \right\} X(s) \rightarrow \hat{x}(t) \qquad s \rightarrow \tau$$

$$\hat{x}(t) = \frac{1}{\pi} \int_{-\infty}^{\infty} \frac{x(\tau)}{t-\tau} d\tau$$

$$x(t) = -\frac{1}{\pi} \int_{-\infty}^{\infty} \frac{\hat{x}(\tau)}{t-\tau} d\tau$$

$$\hat{x}(t) = \mathcal{H}\{x(t)\}$$

$$x(t) = \mathcal{H}^{-1}\{\hat{x}(t)\}$$

$$x(t) \rightleftharpoons \hat{x}(t)$$

Parę transformat Hilberta można również zapisać:

$$\hat{x}(t) = \frac{1}{\pi} \int_{-\infty}^{\infty} \frac{x(\tau)}{t - \tau} d\tau = \frac{1}{\pi t} * x(t)$$

$$x(t) = -\frac{1}{\pi} \int_{-\infty}^{\infty} \frac{\hat{x}(\tau)}{t - \tau} d\tau = \frac{-1}{\pi t} * \hat{x}(t)$$

Przykłady par transformat Hilberta

$x(t)$	\rightleftharpoons	$\hat{x}(t)$
$\cos \omega_0 t$		$\sin \omega_0 t$
$\sin \omega_0 t$		$-\cos \omega_0 t$
$\frac{\sin \omega_0 t}{\omega_0 t}$		$\frac{1 - \cos \omega_0 t}{\omega_0 t}$
$\delta(t)$		$\frac{1}{\pi t}$

Własności transformaty Hilberta

- $x(-t) = x(t) \iff \hat{x}(-t) = -\hat{x}(t)$
 $x(-t) = -x(t) \iff \hat{x}(-t) = \hat{x}(t)$
- $ax(t) + by(t) \iff a\hat{x}(t) + b\hat{y}(t) \quad a, b \in \mathbb{R} \text{ lub } \mathbb{C} \quad (\text{liniowość})$
- $x(at) \iff \hat{x}(at) \quad a \in \mathbb{R} \quad (\text{podobieństwo})$
- $x(t - t_0) \iff \hat{x}(t - t_0) \quad (\text{przesunięcie})$

Jeżeli $x, y \in L^2(\Omega) \quad (\Omega = (t_1, t_2), (0, \infty), (-\infty, \infty))$

- $\langle x, \hat{x} \rangle = 0 \quad (\text{ortogonalność sygnału i jego transformaty Hilberta})$
- $\langle x, y \rangle = \langle \hat{x}, \hat{y} \rangle \quad (\text{równość iloczynów skalarnych})$
- $\langle x, x \rangle = \langle \hat{x}, \hat{x} \rangle \quad (\text{równość energii})$

Analityczna reprezentacja sygnału

$x(t)$ — sygnał rzeczywisty

$$\hat{x}(t) = \mathcal{H}\{x(t)\}$$

Definicja

Sygnałem analitycznym sygnału $x(t)$ nazywa się sygnał zespolony

$$z_x(t) = x(t) + j\hat{x}(t)$$

$z_x(t)$ jest zespoloną reprezentacją ciągłą sygnału rzeczywistego $x(t)$ taką, że

$$x(t) = \operatorname{Re}\{z_x(t)\}, \quad \hat{x}(t) = \operatorname{Im}\{z_x(t)\}$$

Przykład

$$x(t) = X_m \cos(\omega_0 t + \varphi) \quad \Rightarrow \quad \hat{x}(t) = X_m \sin(\omega_0 t + \varphi)$$

$$z_x(t) = X_m \cos(\omega_0 t + \varphi) + jX_m \sin(\omega_0 t + \varphi) = X_m e^{j(\omega_0 t + \varphi)} = X_m e^{j\varphi} e^{j\omega_0 t} = \underline{X}_m e^{j\omega_0 t}$$

$\underline{X}_m = X_m e^{j\varphi}$ — zespolona amplituda sygnału $x(t)$

$$x(t) = \operatorname{Re}\{\underline{X}_m e^{j\omega_0 t}\}$$

Przekształcenie Laplace'a

$$X(s) = \int_{\Omega} x(t) \varphi(t, s) dt, \quad t \in \Omega$$

$$\varphi(t, s) = e^{-st}$$

$$x(t) = \int_{\Gamma} X(s) \psi(s, t) ds, \quad s \in \Gamma$$

$$\psi(s, t) = \frac{e^{st}}{2\pi j}$$

Dwustronne przekształcenie Laplace'a — $\Omega = (-\infty, \infty)$

$$X(s) = \mathcal{L}_{\Pi} \{x(t)\} = \int_{-\infty}^{\infty} x(t) e^{-st} dt$$

$s = \sigma + j\omega$ — pulsacja zespolona

Obszar Γ na płaszczyźnie zespolonej, taki, że dla $s \in \Gamma$ całka jest zbieżna, nazywa się *obszarem zbieżności* transformaty

$$x(t) = \mathcal{L}_{\Pi}^{-1} \{X(s)\} = \int_{\Gamma} X(s) e^{st} \frac{ds}{2\pi j}$$

Do wyznaczenia transformaty odwrotnej przekształcenia dwustronnego jest niezbędna znajomość obszaru zbieżności

Jednostronne przekształcenie Laplace'a — $\Omega = (0, \infty)$

$$X(s) = \mathcal{L}\{x(t)\} = \int_{0-}^{\infty} x(t) e^{-st} dt, \quad s = \sigma + j\omega$$

Obszarem zbieżności Γ jest obszar $\operatorname{Re}\{s\} > \sigma_0$ na płaszczyźnie zespolonej s , gdzie σ_0 nazywa się *odciętą zbieżności* transformaty

$$x(t) = \mathcal{L}^{-1}\{X(s)\} = \int_{c-j\infty}^{c+j\infty} X(s) e^{st} \frac{ds}{2\pi j} \quad \text{— wzór Riemanna-Mellina}$$

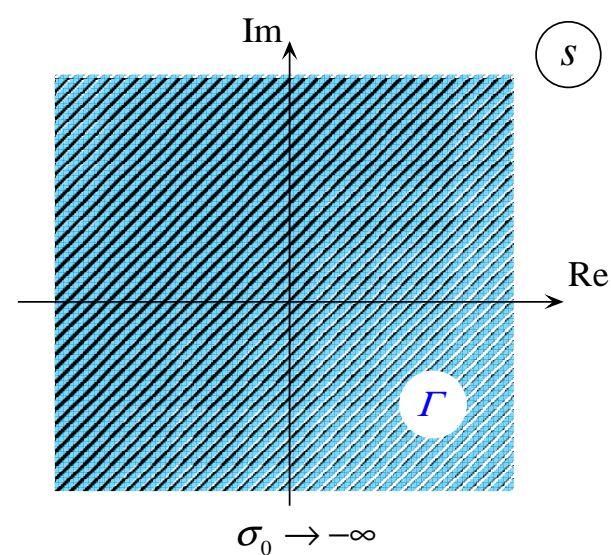
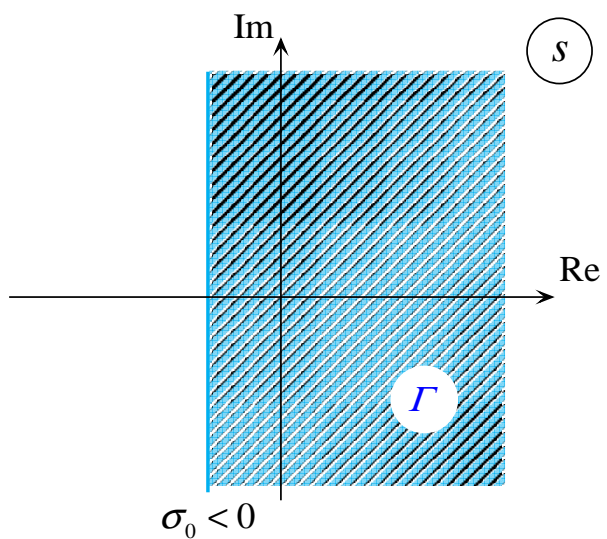
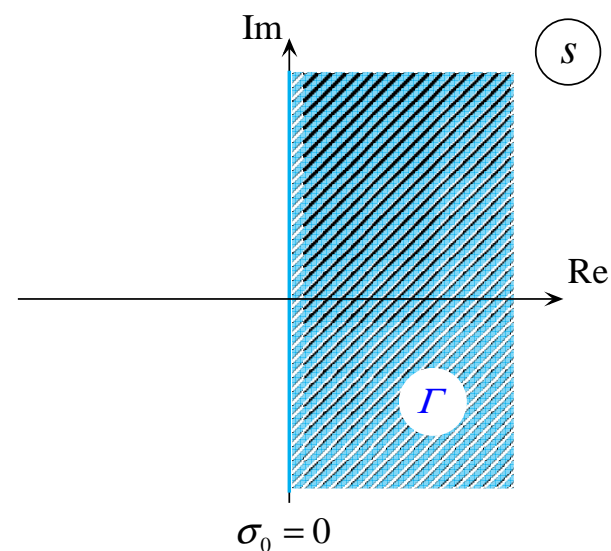
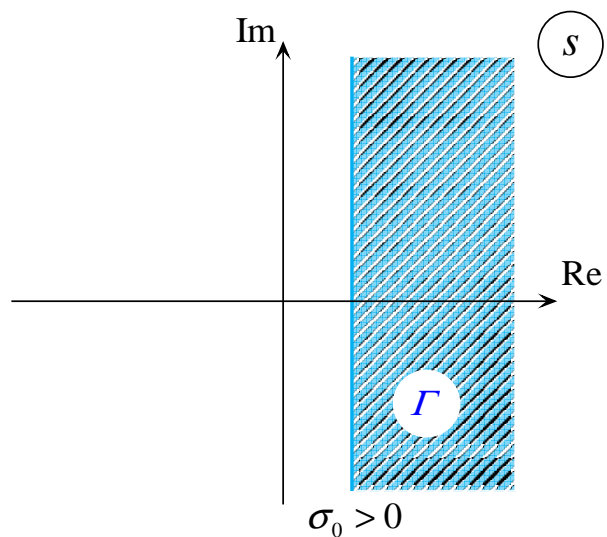
c może być dowolną stałą $c > \sigma_0$

Jednostronne przekształcenie Laplace'a *funkcji opisujących przebiegi fizyczne* jest wzajemnie jednoznaczne, tzn.

$$\mathcal{L}\{x(t)\} = X(s) \Leftrightarrow x(t) = \mathcal{L}^{-1}\{X(s)\}$$

Oznacza się również: $x(t) \rightleftharpoons X(s)$

Przykłady możliwych obszarów zbieżności transformaty Laplace'a funkcji typu wykładniczego na płaszczyźnie s . σ_0 — odcięta zbieżności



Własności przekształcenia Laplace'a

$$x(t) \rightleftharpoons X(s) \quad y(t) \rightleftharpoons Y(s)$$

- $ax(t) + by(t) \rightleftharpoons aX(s) + bY(s)$ — liniowość
- $e^{\xi t} x(t) \rightleftharpoons X(s - \xi), \quad \xi \in \mathbb{C}$ — przesunięcie w dziedzinie s
- $x(t - t_0) \mathbf{1}(t - t_0) \rightleftharpoons X(s) e^{-st_0}$ — przesunięcie w dziedzinie czasu
- $\frac{dx(t)}{dt} \rightleftharpoons sX(s) - x(0-)$ — różniczkowanie w dziedzinie czasu
- $t x(t) \rightleftharpoons -\frac{dX(s)}{ds}$ — różniczkowanie w dziedzinie s
- $x(t) * y(t) \rightleftharpoons X(s) Y(s)$ — splot w dziedzinie czasu
- $x(t) y(t) \rightleftharpoons \frac{1}{2\pi j} X(s) * Y(s)$ — splot w dziedzinie s

Uwagi

1. Jeżeli $x(t)$ jest funkcją (nie zawiera składników dystrybucyjnych), to

$$X(s) = \int_{0-}^{\infty} x(t) e^{-st} dt = \int_{0+}^{\infty} x(t) e^{-st} dt = \int_0^{\infty} x(t) e^{-st} dt$$

2. Jeżeli $x(t) \in L^2(0, \infty)$ to odcięta zbieżności $\sigma_0 < 0$, czyli oś $j\omega$ należy do obszaru zbieżności transformaty

3. Jeżeli $x(t) \in L^2(t_1, t_2)$ to obszarem zbieżności jest cała płaszczyzna zmiennej zespolonej s (transformata jest *funkcją całkowitą*)

4. Jeżeli $x(t)$ jest rzeczywistą funkcją czasu, to jej transformata $X(s)$ jest rzeczywistą funkcją zmiennej zespolonej s , tzn.

$$X^*(s) = X(s^*)$$

$$\text{lub inaczej} \quad \operatorname{Im}\{s\} = 0 \Rightarrow \operatorname{Im}\{X(s)\} = 0$$

Transformaty Laplace'a wybranych sygnałów

$x(t)$	\rightleftharpoons	$X(s)$
$\delta(t)$		1
$\mathbf{1}(t)$		$\frac{1}{s}$
$e^{-at}\mathbf{1}(t)$		$\frac{1}{s+a}$
$\sin \omega_0 t \mathbf{1}(t)$		$\frac{\omega_0}{s^2 + \omega_0^2}$
$\cos \omega_0 t \mathbf{1}(t)$		$\frac{s}{s^2 + \omega_0^2}$

Przekształcenie Fouriera

$$X(s) = \int_{\Omega} x(t) \varphi(t, s) dt, \quad t \in \Omega$$

$$x(t) = \int_{\Gamma} X(s) \psi(s, t) ds, \quad s \in \Gamma$$

$$s = j\omega$$

$$\varphi(t, j\omega) = e^{-j\omega t}$$

$$\psi(j\omega, t) = \frac{e^{j\omega t}}{2\pi}$$

$$\Omega: \quad t \in (-\infty, \infty)$$

$$\Gamma: \quad \omega \in (-\infty, \infty)$$

$$X(j\omega) = \int_{-\infty}^{\infty} x(t) e^{-j\omega t} dt$$

$$x(t) = \int_{-\infty}^{\infty} X(j\omega) e^{j\omega t} \frac{d\omega}{2\pi}$$

Para transformat Fouriera

Będziemy stosować oznaczenia:

$$X(j\omega) = \mathcal{F}\{x(t)\} \quad x(t) = \mathcal{F}^{-1}\{X(j\omega)\} \quad \text{lub} \quad x(t) \rightleftharpoons X(j\omega)$$

Istnienie i jednoznaczność przekształcenia Fouriera

Twierdzenie 1.

Jeżeli $x(t)$ jest funkcją bezwzględnie całkowaną w przedziale $(-\infty, \infty)$, tzn.

$$\int_{-\infty}^{\infty} |x(t)| dt < \infty,$$

to całka

$$\int_{-\infty}^{\infty} x(t) e^{-j\omega t} dt$$

jest zbieżna dla wszystkich wartości ω . Transformata Fouriera funkcji $x(t)$

$$X(j\omega) = \mathcal{F}\{x(t)\},$$

jest ciągłą funkcją ω , oraz

$$\lim_{\omega \rightarrow \pm\infty} X(j\omega) = 0.$$

Bezwzględna całkliwość $x(t)$ jest warunkiem **dostatecznym** istnienia transformaty Fouriera.

Twierdzenie 2.

Jeżeli $x_1(t)$ i $x_2(t)$ są funkcjami bezwzględnie całkowalnymi, to

$$\mathcal{F}\{x_1(t)\} = \mathcal{F}\{x_2(t)\} \Leftrightarrow x_1(t) = x_2(t)$$

Wnioski:

1. Ponieważ

$$\int_{-\infty}^{\infty} |x(t)| dt < \infty \Rightarrow \int_{-\infty}^{\infty} x^2(t) dt < \infty$$

więc wszystkie sygnały z przestrzeni $L^2(-\infty, \infty)$, $L^2(0, \infty)$, $L^2(t_1, t_2)$ (sygnały o skończonej energii) spełniają warunki dostateczne istnienia transformaty Fouriera.

2. **Nie są transformowalne** funkcje stałe i okresowe. Będzie jednak dla nich istnieć **dystrybucyjne przekształcenie Fouriera**.

Własności przekształcenia Fouriera

$$x(t) \rightleftharpoons X(j\omega), \quad y(t) \rightleftharpoons Y(j\omega)$$

1. Liniowość

$$a_1 x(t) + a_2 y(t) \rightleftharpoons a_1 X(j\omega) + a_2 Y(j\omega)$$

2. Przesunięcie w dziedzinie czasu

$$x(t - t_0) \rightleftharpoons X(j\omega) e^{-j\omega t_0}$$

3. Przesunięcie w dziedzinie ω

$$x(t) e^{j\omega_0 t} \rightleftharpoons X[j(\omega - \omega_0)], \quad \omega_0 \in \mathbb{R}$$

4. Różniczkowanie (dystrybucyjne) w dziedzinie czasu

$$\frac{d}{dt} x(t) \rightleftharpoons j\omega X(j\omega)$$

5. Splot w dziedzinie czasu

$$x(t) * y(t) = \int_{-\infty}^{\infty} x(\tau) y(t - \tau) d\tau \Longleftrightarrow X(j\omega) Y(j\omega)$$

6. Mnożenie w dziedzinie czasu

$$x(t) y(t) \Longleftrightarrow \frac{1}{2\pi} X(j\omega) * Y(j\omega) = \frac{1}{2\pi} \int_{-\infty}^{\infty} X(j\lambda) Y[j(\omega - \lambda)] d\lambda$$

7. Symetria

$$X(jt) \Longleftrightarrow 2\pi x(-\omega)$$

8. Zmiana skali czasu

$$x\left(\frac{t}{a}\right) \Longleftrightarrow |a| X(ja\omega), \quad a \neq 0$$

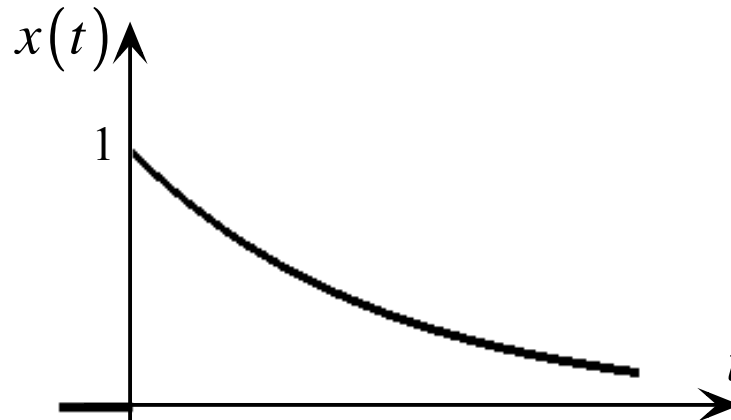
Przykład 1.

$$x(t) = \delta(t)$$

$$X(j\omega) = \Delta(j\omega) = \mathcal{F}\{\delta(t)\} = \int_{-\infty}^{\infty} \delta(t) e^{-j\omega t} dt = 1$$

Przykład 2.

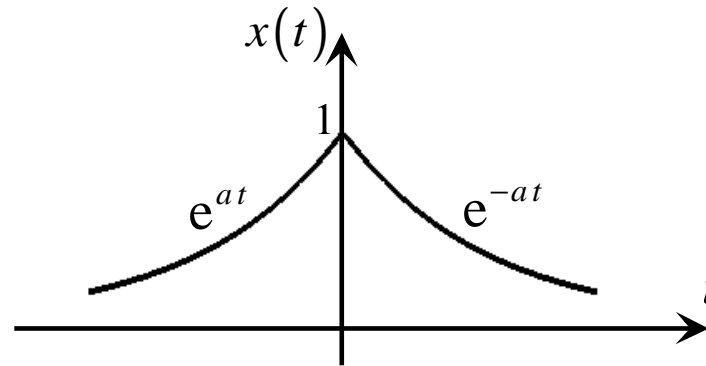
$$x(t) = e^{-at} \mathbf{1}(t), \quad a > 0$$



$$X(j\omega) = \mathcal{F}\{x(t)\} = \int_{-\infty}^{\infty} e^{-at} \mathbf{1}(t) e^{-j\omega t} dt = \int_0^{\infty} e^{-(a+j\omega)t} dt = \frac{1}{a + j\omega}$$

Przykład 3.

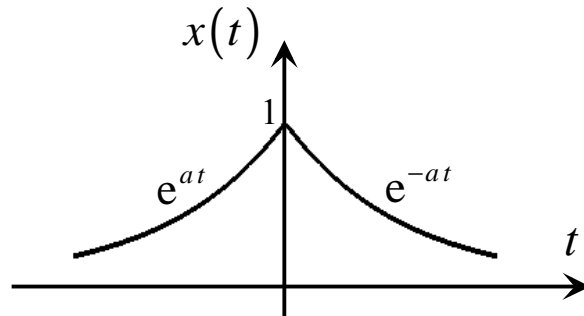
$$x(t) = e^{-a|t|} = \begin{cases} e^{-at} & t \geq 0 \\ e^{at} & t < 0 \end{cases}, \quad a > 0$$



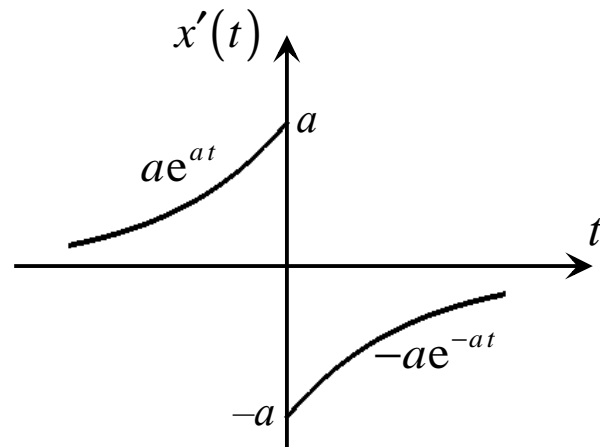
$$\begin{aligned} X(j\omega) &= \mathcal{F}\{x(t)\} = \int_{-\infty}^{\infty} e^{-a|t|} e^{-j\omega t} dt = \int_{-\infty}^0 e^{(a-j\omega)t} dt + \int_0^{\infty} e^{-(a+j\omega)t} dt = \\ &= \frac{1}{a-j\omega} e^{(a-j\omega)t} \Big|_{-\infty}^0 + \frac{-1}{a+j\omega} e^{-(a+j\omega)t} \Big|_0^{\infty} = \frac{1}{a-j\omega} + \frac{1}{a+j\omega} = \frac{2a}{a^2 + \omega^2} \end{aligned}$$

Można inaczej

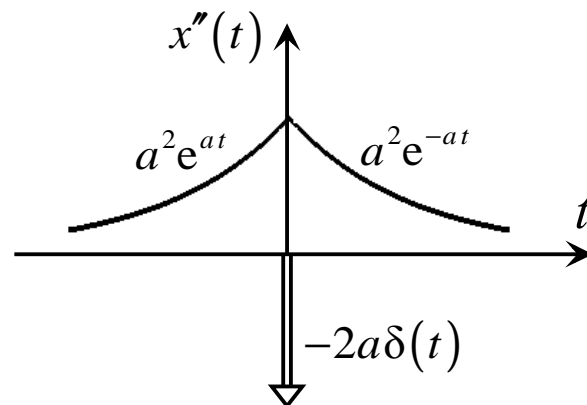
$$x(t) = e^{-a|t|}$$



$$\Rightarrow X(j\omega)$$



$$\Rightarrow j\omega X(j\omega)$$

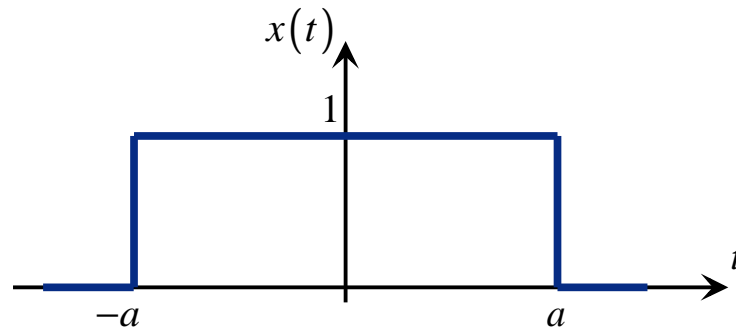


$$\Rightarrow -\omega^2 X(j\omega) = -2a + a^2 X(j\omega)$$

$$X(j\omega) = \frac{2a}{a^2 + \omega^2}$$

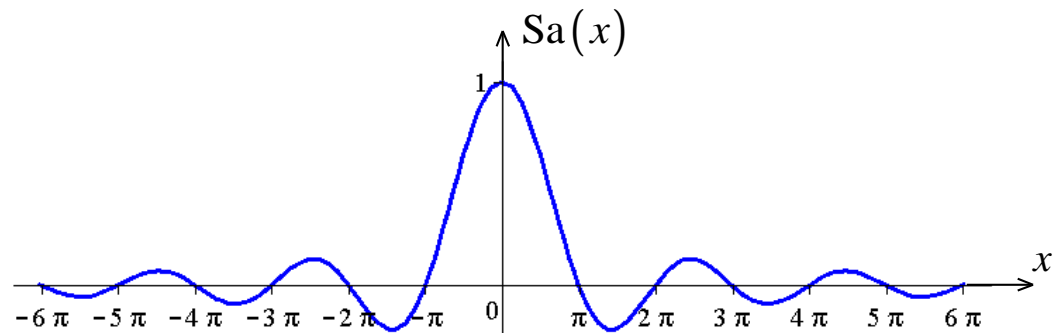
Przykład 4.

$$x(t) = \mathbf{1}(t+a) - \mathbf{1}(t-a)$$



$$X(j\omega) = \mathcal{F}\{x(t)\} = \int_{-a}^a e^{-j\omega t} dt = \frac{-1}{j\omega} e^{-j\omega t} \Big|_{-a}^a = \frac{e^{j\omega a} - e^{-j\omega a}}{j\omega} = \frac{2 \sin \omega a}{\omega} = 2a \text{Sa}(\omega a)$$

$$\text{Sa}(x) = \begin{cases} \frac{\sin x}{x} & x \neq 0 \\ 1 & x = 0 \end{cases}$$



Związek z transformatą Laplace'a

$$\mathcal{L}\{x(t)\} = \int_{0-}^{\infty} x(t) e^{-st} dt = X(s)$$

$$\mathcal{F}\{x(t)\} = \int_{-\infty}^{\infty} x(t) e^{-j\omega t} dt = X(j\omega)$$

Jeżeli $x(t) \equiv 0$ dla $t < 0$

$$\text{to } \mathcal{F}\{x(t)\} = \mathcal{L}\{x(t)\} \Big|_{s=j\omega} = X(s) \Big|_{s=j\omega}$$

pod warunkiem, że **oś $j\omega$ należy do obszaru zbieżności transformaty Laplace'a**.
Warunek ten jest spełniony gdy

$$\int_{0-}^{\infty} |x(t)| dt < \infty,$$

co jest warunkiem **istnienia** transformaty Fouriera.

W szczególności, gdy $x \in L^2(0, \infty)$

$$\mathcal{F}\{x(t)\} = \mathcal{L}\{x(t)\} \Big|_{s=j\omega}$$

$$x^*(t) = \left[\int_{-\infty}^{\infty} X(j\omega) e^{j\omega t} \frac{d\omega}{2\pi} \right]^* = \int_{-\infty}^{\infty} X^*(j\omega) e^{-j\omega t} \frac{d\omega}{2\pi}$$

$$\omega \rightarrow -\omega$$

$$x^*(t) = \int_{-\infty}^{\infty} X^*(-j\omega) e^{j\omega t} \frac{d\omega}{2\pi} = \mathcal{F}^{-1} \{ X^*(-j\omega) \}$$

Jeżeli $x(t) = x^*(t)$ (rzeczywista funkcja czasu), to

$$X^*(-j\omega) = X(j\omega) \quad \text{czyli} \quad X^*(j\omega) = X(-j\omega)$$

Funkcja taka nazywa się **funkcją hermitowską** zmiennej rzeczywistej ω

$$X(j\omega) = |X(j\omega)| e^{j\varphi(\omega)}, \quad \varphi(\omega) = \arg X(j\omega)$$

$$|X(j\omega)| = |X(-j\omega)| \quad \text{— funkcja parzysta}$$

$$\varphi(\omega) = -\varphi(-\omega) \quad \text{— funkcja nieparzysta}$$

$$x(t) = \int_{-\infty}^{\infty} X(j\omega) e^{j\omega t} \frac{d\omega}{2\pi} = \int_{-\infty}^0 |X(j\omega)| e^{j\varphi(\omega)} e^{j\omega t} \frac{d\omega}{2\pi} + \int_0^{\infty} |X(j\omega)| e^{j\varphi(\omega)} e^{j\omega t} \frac{d\omega}{2\pi} =$$

$$\stackrel{\omega \rightarrow -\omega}{=} \int_{\infty}^0 |X(-j\omega)| e^{j\varphi(-\omega)} e^{-j\omega t} \frac{d(-\omega)}{2\pi} + \int_0^{\infty} |X(j\omega)| e^{j\varphi(\omega)} e^{j\omega t} \frac{d\omega}{2\pi} =$$

$$= \int_0^{\infty} |X(j\omega)| \left[e^{j(\omega t + \varphi(\omega))} + e^{-j(\omega t + \varphi(\omega))} \right] \frac{d\omega}{2\pi} = \int_0^{\infty} 2 |X(j\omega)| \cos[\omega t + \varphi(\omega)] \frac{d\omega}{2\pi}$$

$$x(t) = \int_0^{\infty} \frac{d\omega}{\pi} |X(j\omega)| \cos[\omega t + \varphi(\omega)]$$

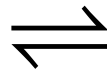
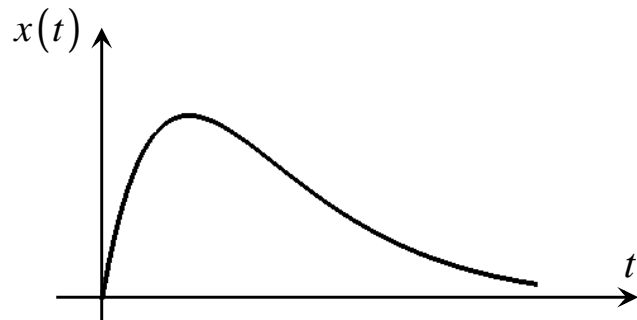
Sygnał $x(t)$ można przedstawić jako nieskończoną, **nieprzeliczalną** sumę przebiegów sinusoidalnych o „amplitudach” $\frac{d\omega}{\pi} |X(j\omega)|$, i zmieniających się w sposób **ciągły** pulsacjach ω i fazach początkowych $\varphi(\omega)$.

$X(j\omega)$ — zespolone widmo sygnału $x(t)$

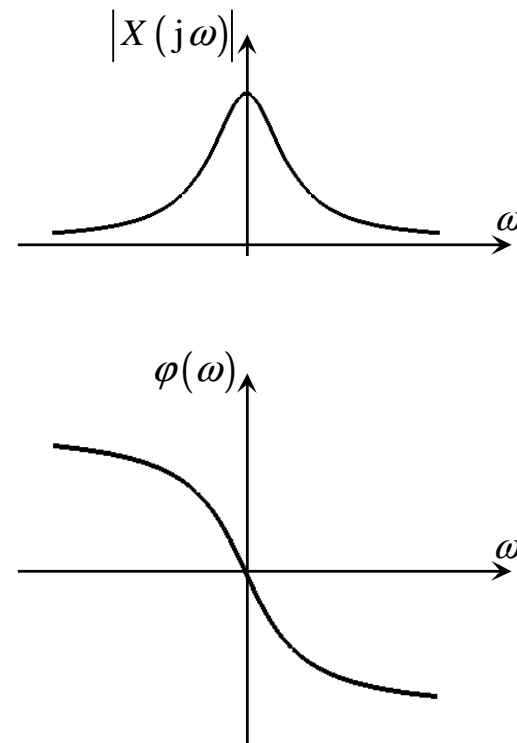
$|X(j\omega)|$ — widmo amplitudowe (widmowa gęstość amplitudy)

$\varphi(\omega)$ — widmo fazowe

Reprezentacja dziedzinie czasu



Reprezentacja w dziedzinie częstotliwości

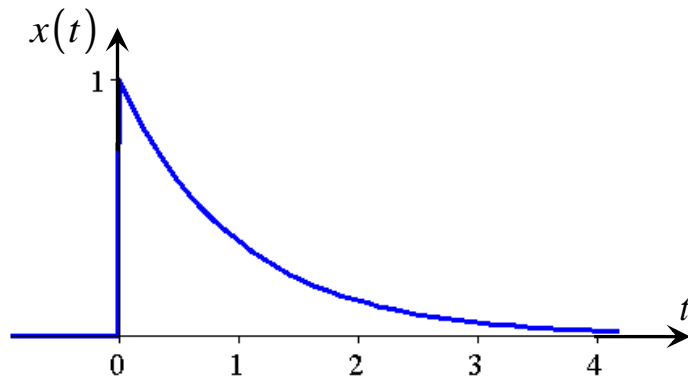


Przykład 1.

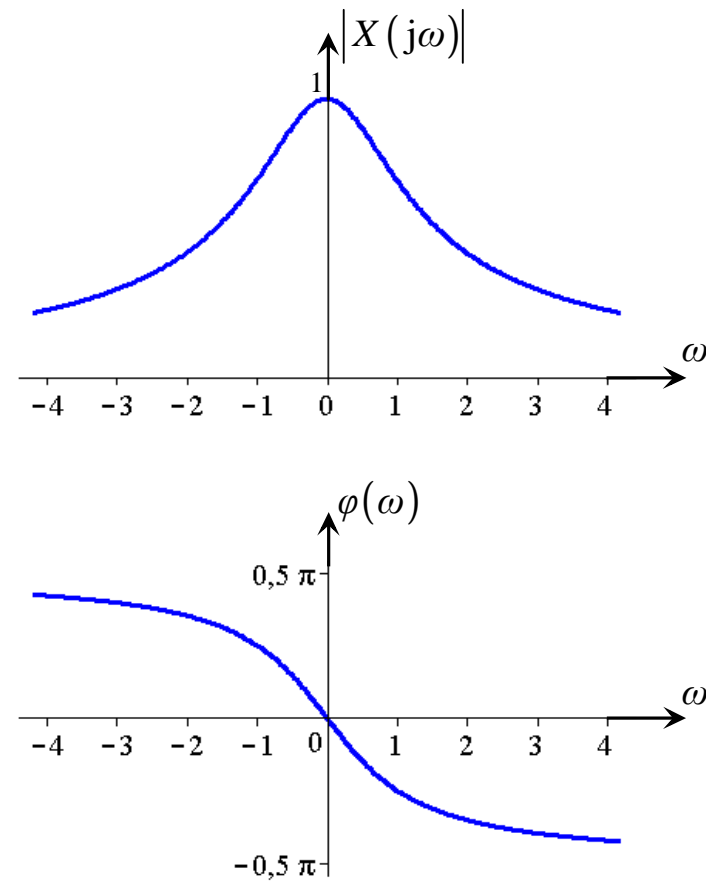
$$x(t) = e^{-at} \mathbf{1}(t), \quad a > 0 \quad X(j\omega) = \frac{1}{a + j\omega}, \quad |X(j\omega)| = \frac{1}{\sqrt{a^2 + \omega^2}}, \quad \varphi(\omega) = -\arctg \frac{\omega}{a}$$

Reprezentacja dziedzinie czasu

$$a = 1$$



Reprezentacja w dziedzinie częstotliwości



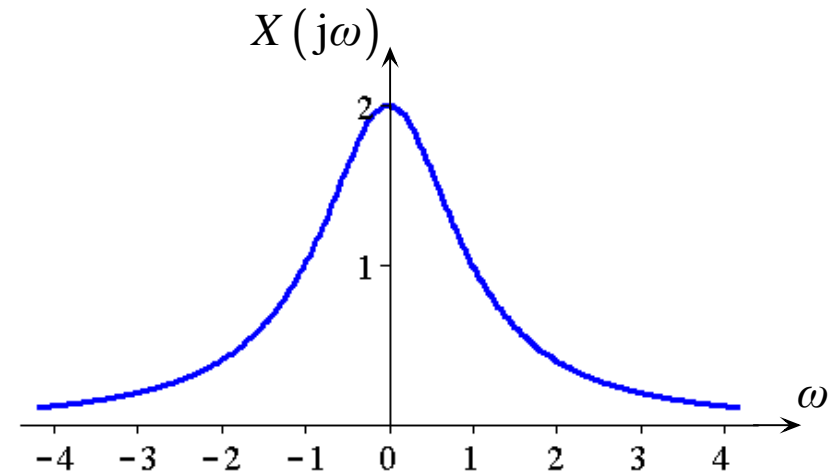
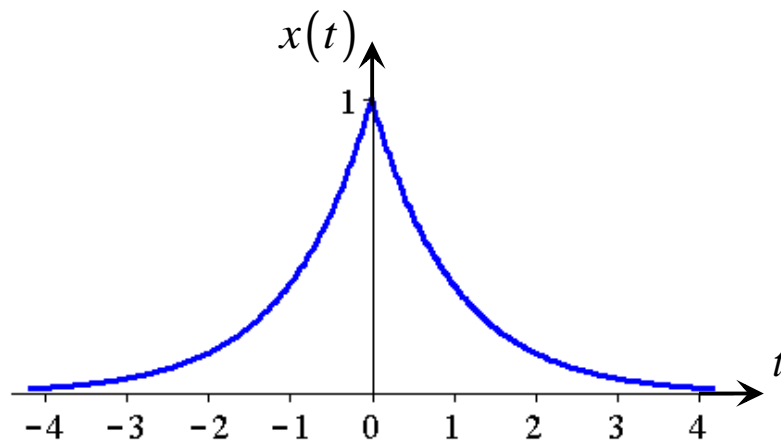
Przykład 2.

$$x(t) = e^{-a|t|}, \quad a > 0 \qquad X(j\omega) = \frac{2a}{a^2 + \omega^2}, \quad |X(j\omega)| = X(j\omega), \quad \varphi(\omega) = 0$$

Reprezentacja dziedzinie czasu

Reprezentacja w dziedzinie częstotliwości

$$a = 1$$

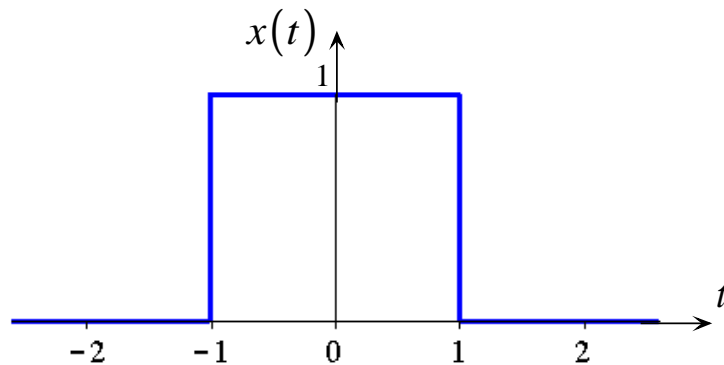


Jeżeli $x(t)$ jest funkcją parzystą ($x(-t) = x(t)$) to widmo $X(j\omega)$ przyjmuje wartości rzeczywiste

Przykład 3.

$$x(t) = \mathbf{1}(t+a) - \mathbf{1}(t-a) = \Pi\left(\frac{t}{2a}\right)$$

Reprezentacja dziedzinie czasu

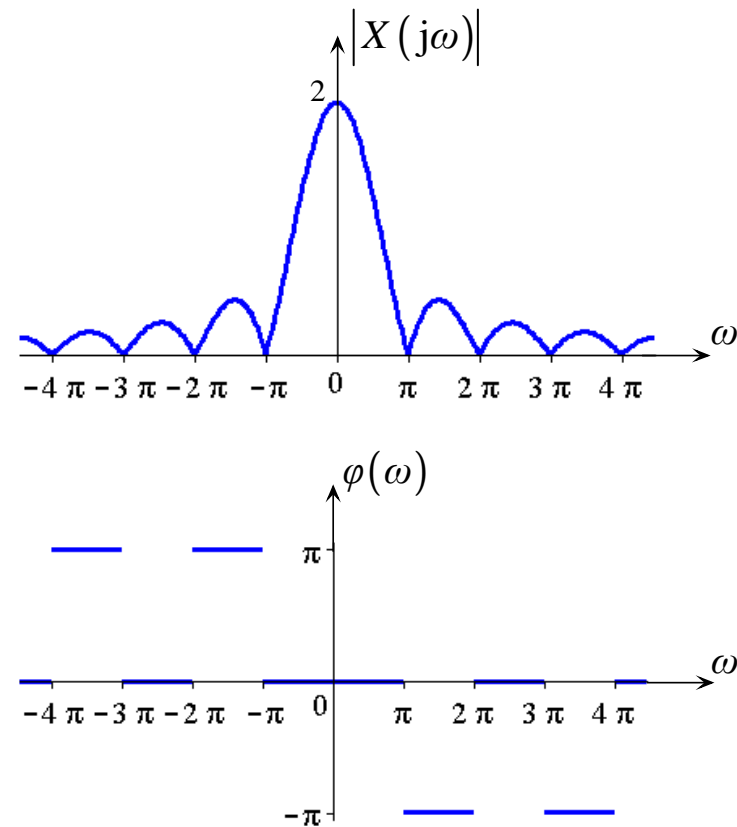


$$a = 1$$

$$X(j\omega) = 2a \text{Sa}(a\omega)$$

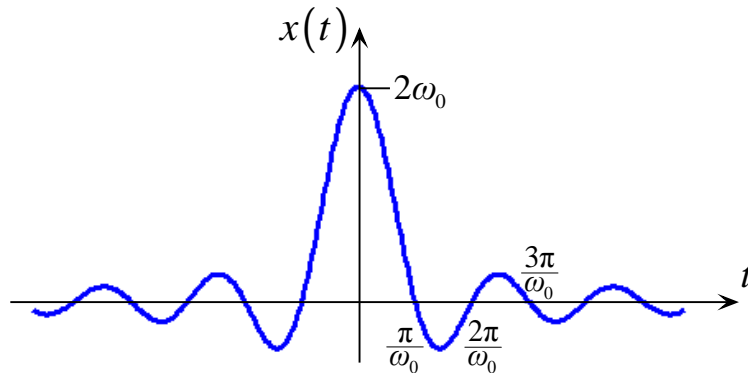
$$\varphi(\omega) = \arccos \frac{\text{Sa}(a\omega)}{|\text{Sa}(a\omega)|}$$

Reprezentacja w dziedzinie częstotliwości

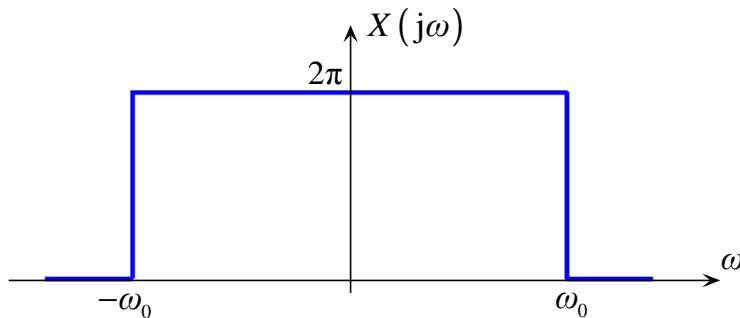


Przykład 4.

$$x(t) = \frac{2 \sin \omega_0 t}{t} = 2\omega_0 \text{Sa}(\omega_0 t)$$



$$X(j\omega) = 2\pi [\mathbf{1}(\omega + \omega_0) - \mathbf{1}(\omega - \omega_0)]$$



Symetria:

$$x(t) \rightleftharpoons X(j\omega)$$

$$X(jt) \rightleftharpoons 2\pi x(-\omega)$$

$$\mathbf{1}(t+a) - \mathbf{1}(t-a) \rightleftharpoons 2a \text{Sa}(a\omega)$$

$$\begin{aligned} 2a \text{Sa}(at) &\rightleftharpoons 2\pi [\mathbf{1}(-\omega + a) - \mathbf{1}(-\omega - a)] = \\ &= 2\pi [\mathbf{1}(\omega + a) - \mathbf{1}(\omega - a)] \end{aligned}$$

$$2\omega_0 \text{Sa}(\omega_0 t) \rightleftharpoons 2\pi [\mathbf{1}(\omega + \omega_0) - \mathbf{1}(\omega - \omega_0)]$$

Sygnał $x(t)$ jest przykładem *sygnału o ograniczonym widmie*, przyjmującym niezerowe wartości tylko dla pulsacji $|\omega| < \omega_0$

$$x(t), y(t) \in L^2(-\infty, \infty)$$

$$x(t) \rightleftharpoons X(j\omega), \quad y(t) \rightleftharpoons Y(j\omega)$$

$$\begin{aligned} \int_{-\infty}^{\infty} x(t) y^*(t) dt &= \int_{-\infty}^{\infty} x(t) \left[\int_{-\infty}^{\infty} Y(j\omega) e^{j\omega t} \frac{d\omega}{2\pi} \right]^* dt = \int_{-\infty}^{\infty} x(t) \int_{-\infty}^{\infty} Y^*(j\omega) e^{-j\omega t} \frac{d\omega}{2\pi} dt = \\ &= \int_{-\infty}^{\infty} \left[\int_{-\infty}^{\infty} x(t) e^{-j\omega t} dt \right] Y^*(j\omega) \frac{d\omega}{2\pi} = \int_{-\infty}^{\infty} X(j\omega) Y^*(j\omega) \frac{d\omega}{2\pi} \end{aligned}$$

Twierdzenie Rayleigha

$$\int_{-\infty}^{\infty} x(t) y^*(t) dt = \int_{-\infty}^{\infty} X(j\omega) Y^*(j\omega) \frac{d\omega}{2\pi}$$

$$y(t) = x(t)$$

$$\int_{-\infty}^{\infty} x(t) x^*(t) dt = \int_{-\infty}^{\infty} X(j\omega) X^*(j\omega) \frac{d\omega}{2\pi}$$

Twierdzenie Parsevala

$$\int_{-\infty}^{\infty} |x(t)|^2 dt = \int_{-\infty}^{\infty} |X(j\omega)|^2 \frac{d\omega}{2\pi}$$

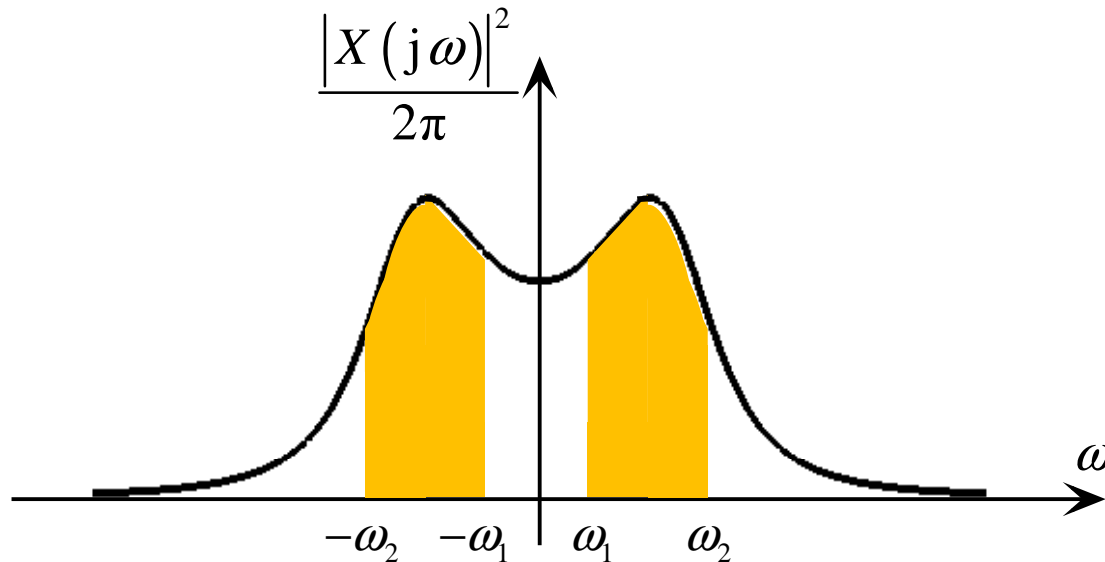
$$E_x = \int_{-\infty}^{\infty} |x(t)|^2 dt < \infty \quad \Rightarrow \quad \int_{-\infty}^{\infty} |X(j\omega)|^2 \frac{d\omega}{2\pi} < \infty$$

$$x(t) \in L_t^2(-\infty, \infty) \quad \Rightarrow \quad X(j\omega) \in L_\omega^2(-\infty, \infty)$$

$$\langle x(t), y(t) \rangle_t = \int_{-\infty}^{\infty} x(t) y^*(t) dt \quad \langle X(j\omega), Y(j\omega) \rangle_\omega = \int_{-\infty}^{\infty} X(j\omega) Y^*(j\omega) \frac{d\omega}{2\pi}$$

$$\mathcal{F}: L_t^2(-\infty, \infty) \mapsto L_\omega^2(-\infty, \infty)$$

$\frac{|X(j\omega)|^2}{2\pi}$ — widmowa gęstość energii



Energia sygnału — powierzchnia pod krzywą

Energia zawarta w paśmie (ω_1, ω_2)

$$\Delta E = 2 \int_{\omega_1}^{\omega_2} |X(j\omega)|^2 \frac{d\omega}{2\pi}$$

Energetyczną szerokością pasma sygnału nazywa się przedział pulsacji, w którym zawarta jest założona część całkowitej energii sygnału, czyli ω_g tak wybrane, aby

$$\int_{-\omega_g}^{\omega_g} |X(j\omega)|^2 \frac{d\omega}{2\pi} = 2 \int_0^{\omega_g} |X(j\omega)|^2 \frac{d\omega}{2\pi} \geq \kappa E_x$$

Zwykle przyjmuje się $\kappa = (0,9 \div 0,99)$

Przykład

$$x(t) = e^{-at} \mathbf{1}(t), \quad a > 0, \quad E_x = \int_0^{\infty} e^{-2at} dt = \frac{1}{2a}$$

$$X(j\omega) = \frac{1}{a + j\omega}, \quad |X(j\omega)|^2 = \frac{1}{a^2 + \omega^2},$$

$$\int \frac{d\omega}{a^2 + \omega^2} = \frac{1}{a} \arctg \frac{\omega}{a}$$

$$2 \int_0^{\omega_g} \frac{1}{a^2 + \omega^2} \frac{d\omega}{2\pi} \geq \kappa \frac{1}{2a}$$

$$\frac{1}{a\pi} \arctg \frac{\omega_g}{a} \geq \kappa \frac{1}{2a} \quad \Rightarrow \quad \omega_g \geq a \operatorname{tg} \left(\kappa \frac{\pi}{2} \right)$$

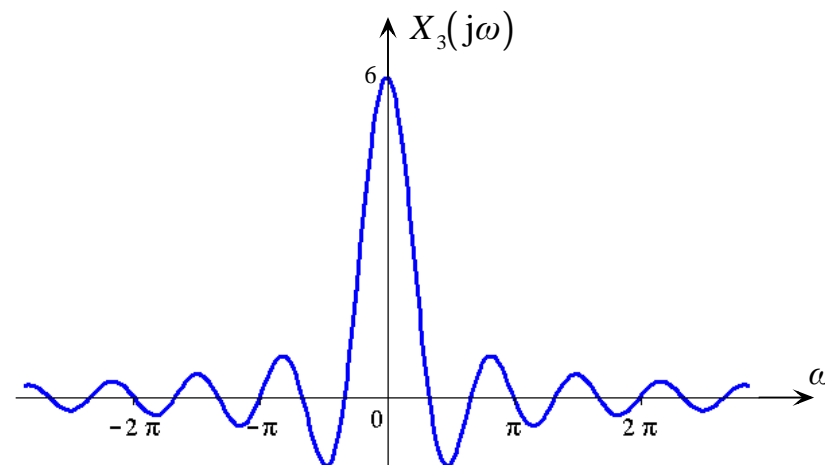
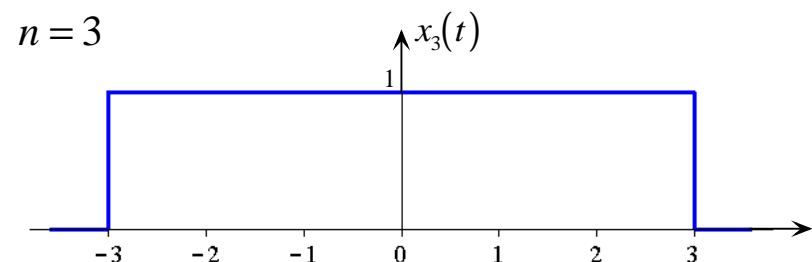
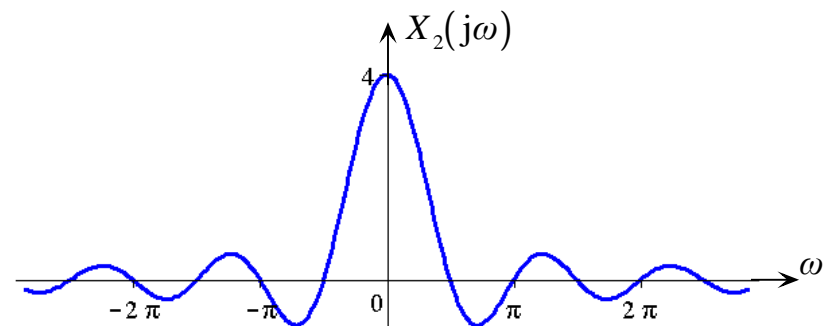
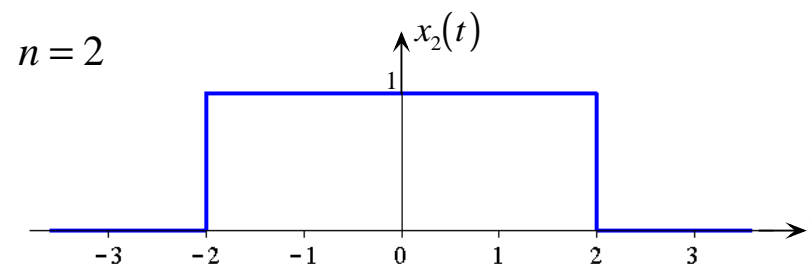
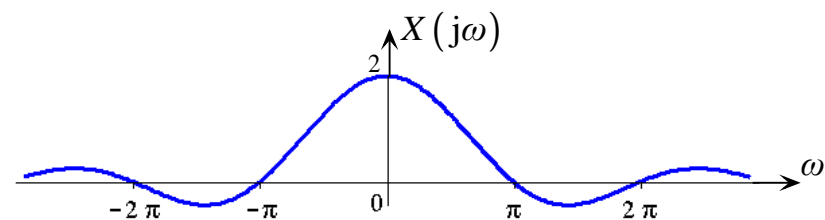
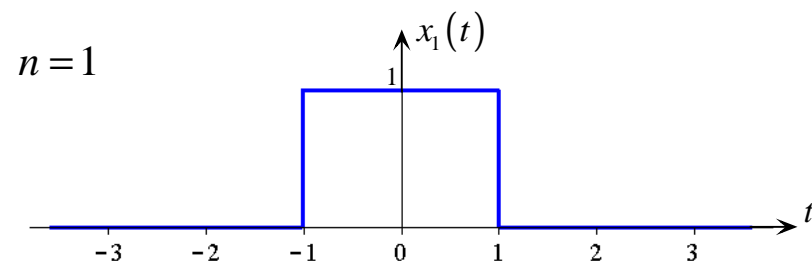
$$\kappa = 0,95 \Rightarrow \omega_g \geq 12,7a$$

$$\kappa = 0,99 \Rightarrow \omega_g \geq 63,7a$$

Dystrybucyjna transformata Fouriera

$$x_n(t) = \mathbf{1}(t+n) - \mathbf{1}(t-n)$$

$$X_n(j\omega) = 2n \text{Sa}(n\omega)$$



$$\int_{-\infty}^{\infty} 2n \text{Sa}(n\omega) d\omega = 2\pi \quad \text{dla dowolnego } n!$$

$$x_n(t) \xrightarrow{n \rightarrow \infty} 1$$

$$X_n(j\omega) \xrightarrow[n \rightarrow \infty]{?} 2\pi\delta(\omega)$$

$$\mathcal{F}^{-1}\{2\pi\delta(\omega)\} = \int_{-\infty}^{\infty} 2\pi\delta(\omega) e^{j\omega t} \frac{d\omega}{2\pi} = 1$$

$$1 \Longleftrightarrow 2\pi\delta(\omega)$$

Symetria:

$$x(t) \Longleftrightarrow X(j\omega)$$

$$X(jt) \Longleftrightarrow 2\pi x(-\omega)$$

$$2\pi\delta(t) \Longleftrightarrow 2\pi \cdot 1$$

$$\delta(t) \Longleftrightarrow 1$$

Przesunięcie w dziedzinie ω

$$x(t) \rightleftharpoons X(j\omega)$$

$$x(t)e^{j\omega_0 t} \rightleftharpoons X[j(\omega - \omega_0)]$$

$$1 \rightleftharpoons 2\pi\delta(\omega)$$

$$e^{j\omega_0 t} \rightleftharpoons 2\pi\delta(\omega - \omega_0)$$

$$e^{-j\omega_0 t} \rightleftharpoons 2\pi\delta(\omega + \omega_0)$$

$$\cos \omega_0 t = \frac{e^{j\omega_0 t} + e^{-j\omega_0 t}}{2}$$

$$\sin \omega_0 t = \frac{e^{j\omega_0 t} - e^{-j\omega_0 t}}{2j}$$

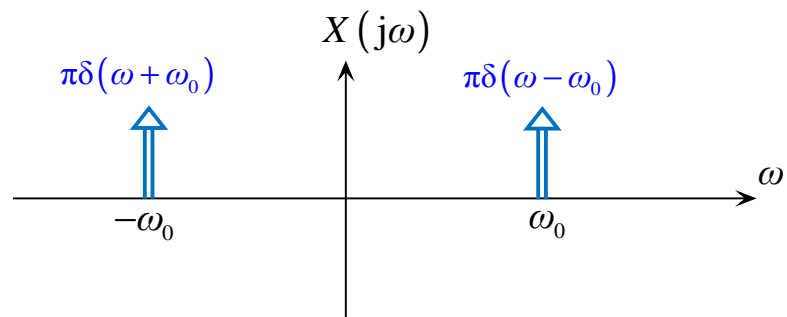
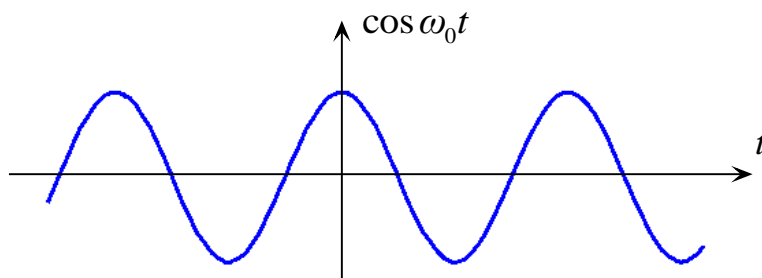
$$\cos \omega_0 t \rightleftharpoons \pi [\delta(\omega - \omega_0) + \delta(\omega + \omega_0)]$$

$$\sin \omega_0 t \rightleftharpoons \frac{\pi}{j} [\delta(\omega - \omega_0) - \delta(\omega + \omega_0)]$$

$$\cos \omega_0 t$$

$$\Rightarrow$$

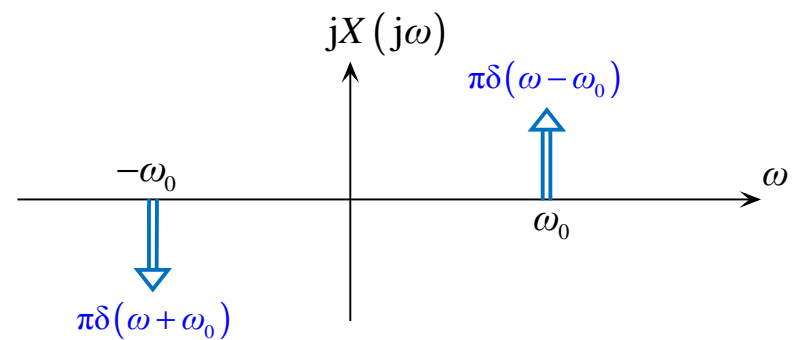
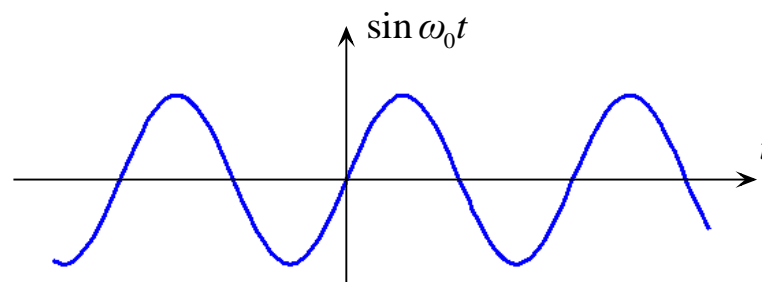
$$\pi \left[\delta(\omega - \omega_0) + \delta(\omega + \omega_0) \right]$$



$$\sin \omega_0 t$$

$$\Rightarrow$$

$$\frac{\pi}{j} \left[\delta(\omega - \omega_0) - \delta(\omega + \omega_0) \right]$$



Dystrybucyjna transformata Fouriera funkcji okresowej

$$x(t) = x(t - kT), \quad k \in \mathbb{Z}$$

$$x(t) = \sum_{k=-\infty}^{\infty} X_k e^{jk\omega_0 t}$$

$$\omega_0 = \frac{2\pi}{T}$$

$$X_k = \frac{1}{T} \int_{t_0}^{t_0+T} x(t) e^{-jk\omega_0 t} dt$$

$$\mathcal{F}\{x(t)\} = \mathcal{F}\left\{\sum_{k=-\infty}^{\infty} X_k e^{jk\omega_0 t}\right\} = \sum_{k=-\infty}^{\infty} X_k \mathcal{F}\{e^{jk\omega_0 t}\} = 2\pi \sum_{k=-\infty}^{\infty} X_k \delta(\omega - k\omega_0)$$

$$x(t) = \sum_{k=-\infty}^{\infty} X_k e^{jk\omega_0 t} \quad \Longleftrightarrow \quad X(j\omega) = 2\pi \sum_{k=-\infty}^{\infty} X_k \delta(\omega - k\omega_0)$$

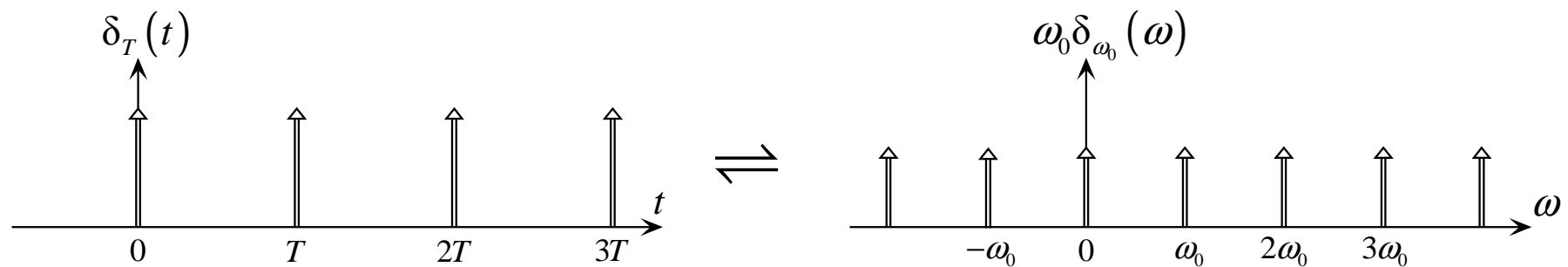
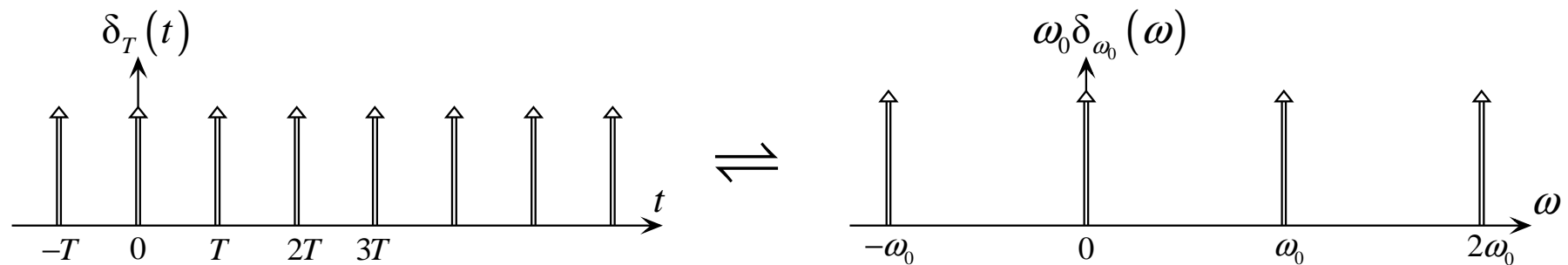
$$x(t) = \delta_T(t) \quad \Rightarrow \quad X_k = \frac{1}{T}$$

$$\delta_T(t) = \frac{1}{T} \sum_{k=-\infty}^{\infty} e^{jk\omega_0 t} \quad \Rightarrow \quad \mathcal{F}\{\delta_T(t)\} = \frac{2\pi}{T} \sum_{k=-\infty}^{\infty} \delta(\omega - k\omega_0)$$

$$\delta_T(t) = \sum_{k=-\infty}^{\infty} \delta(t - kT) \quad \Longleftrightarrow \quad \frac{2\pi}{T} \sum_{k=-\infty}^{\infty} \delta(\omega - k\omega_0) = \omega_0 \delta_{\omega_0}(\omega)$$

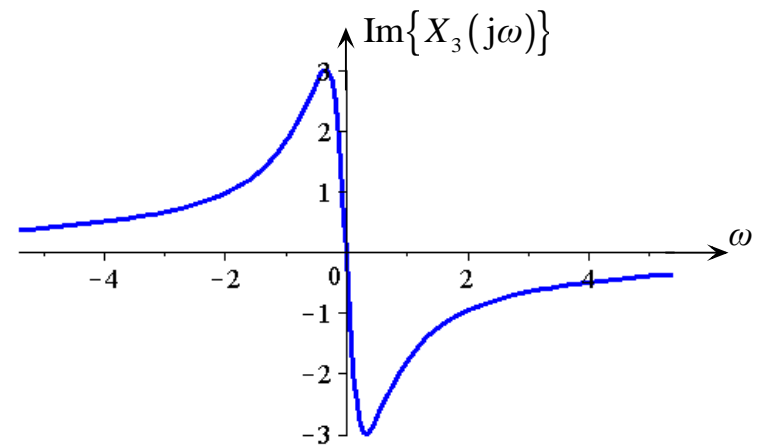
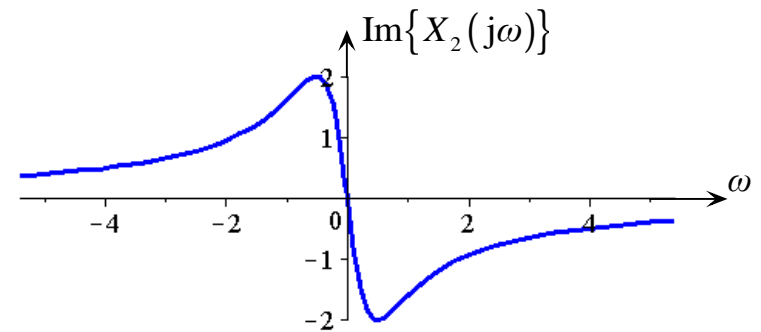
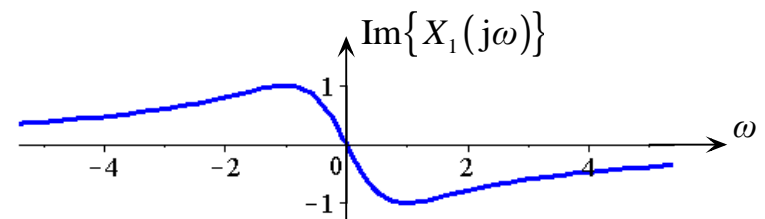
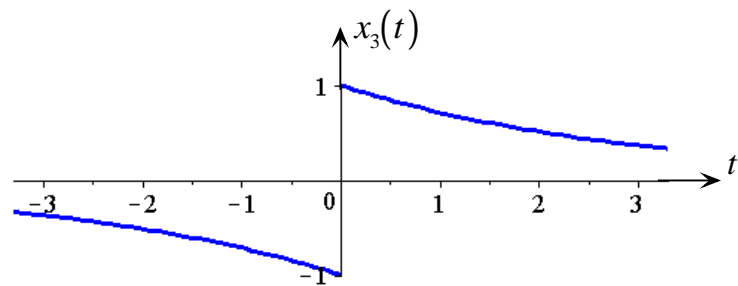
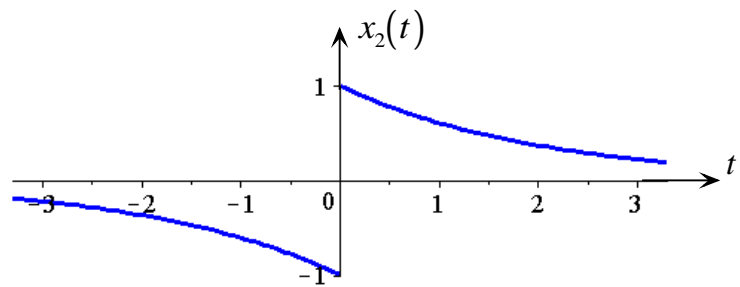
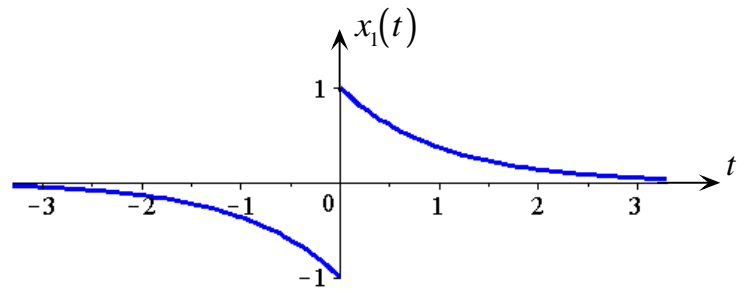
$$\delta_T(t) \Longleftrightarrow \omega_0 \delta_{\omega_0}(\omega)$$

$$\omega_0 = \frac{2\pi}{T}$$



$$x_n(t) = \begin{cases} e^{-\frac{t}{n}} & t \geq 0 \\ -e^{\frac{t}{n}} & t < 0 \end{cases} = e^{-\frac{|t|}{n}} \cdot \text{sgn } t$$

$$X_n(j\omega) = \frac{-2j\omega}{\omega^2 + \frac{1}{n^2}}$$



$$x_n(t) = e^{-\frac{|t|}{n}} \cdot \operatorname{sgn} t \xrightarrow{n \rightarrow \infty} \operatorname{sgn} t = \begin{cases} 1, & t > 0 \\ -1, & t < 0 \end{cases}$$

$$X_n(j\omega) = \frac{-2j\omega}{\omega^2 + \frac{1}{n^2}} \xrightarrow{n \rightarrow \infty} \begin{cases} \frac{2}{j\omega}, & \omega \neq 0 \\ 0, & \omega = 0 \end{cases}$$

$$\operatorname{sgn} t \rightleftharpoons \frac{2}{j\omega}$$

Symetria:

$$x(t) \rightleftharpoons X(j\omega)$$

$$X(jt) \rightleftharpoons 2\pi x(-\omega)$$

$$\frac{2}{jt} \rightleftharpoons 2\pi \operatorname{sgn}(-\omega)$$

$$\frac{1}{\pi t} \rightleftharpoons -j \operatorname{sgn} \omega$$

$$\frac{1}{2}(1 + \operatorname{sgn} t) = \mathbf{1}(t)$$

$$\mathcal{F}\left\{\frac{1}{2}(1 + \operatorname{sgn} t)\right\} = \frac{1}{2}\left[2\pi\delta(\omega) + \frac{2}{j\omega}\right] = \pi\delta(\omega) + \frac{1}{j\omega}$$

$$\mathbf{1}(t) \rightleftharpoons \pi\delta(\omega) + \frac{1}{j\omega}$$

$$x_n(t) = e^{-\frac{t}{n}}\mathbf{1}(t), \quad x_n(t) \xrightarrow{n \rightarrow \infty} \mathbf{1}(t)$$

$$X_n(j\omega) = \frac{1}{\frac{1}{n} + j\omega}$$

$$X_n(j\omega) \xrightarrow{n \rightarrow \infty} \begin{cases} \frac{1}{j\omega}, & \omega \neq 0 \\ ? & \omega = 0 \end{cases}$$

Dla $\omega = 0$ granica w zwykłym sensie nie istnieje!

$$\mathbf{1}(t) \rightleftharpoons \pi\delta(\omega) + \frac{1}{j\omega}$$

$$e^{j\omega_0 t} \mathbf{1}(t) \rightleftharpoons \pi\delta(\omega - \omega_0) + \frac{1}{j(\omega - \omega_0)}$$

$$e^{-j\omega_0 t} \mathbf{1}(t) \rightleftharpoons \pi\delta(\omega + \omega_0) + \frac{1}{j(\omega + \omega_0)}$$

$$\cos \omega_0 t = \frac{e^{j\omega_0 t} + e^{-j\omega_0 t}}{2}$$

$$\sin \omega_0 t = \frac{e^{j\omega_0 t} - e^{-j\omega_0 t}}{2j}$$

$$\cos \omega_0 t \cdot \mathbf{1}(t) \rightleftharpoons \frac{\pi}{2} [\delta(\omega - \omega_0) + \delta(\omega + \omega_0)] + \frac{j\omega}{\omega_0^2 - \omega^2}$$

$$\sin \omega_0 t \cdot \mathbf{1}(t) \rightleftharpoons \frac{\pi}{2j} [\delta(\omega - \omega_0) - \delta(\omega + \omega_0)] + \frac{\omega_0}{\omega_0^2 - \omega^2}$$

Przesuwanie widma — modulacja

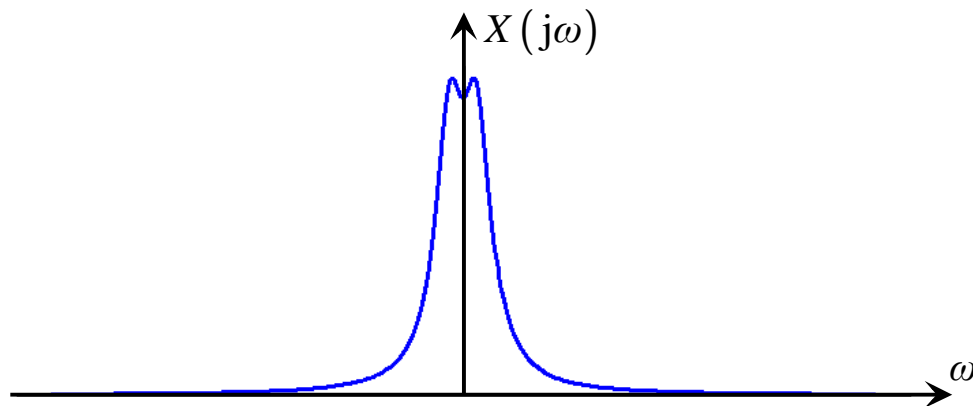
$$x(t) \rightleftharpoons X(j\omega)$$

$$y(t) = x(t) \cdot \cos \omega_0 t$$

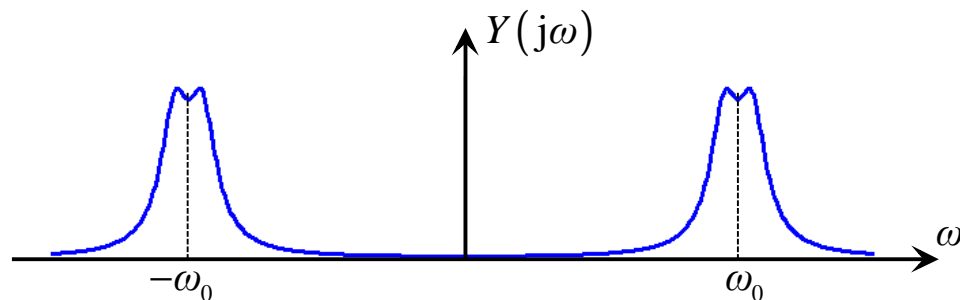
Mnożenie w dziedzinie czasu

$$x(t)y(t) \rightleftharpoons \frac{1}{2\pi} X(j\omega) * Y(j\omega)$$

$$\begin{aligned} x(t) \cdot \cos \omega_0 t &\rightleftharpoons \frac{1}{2\pi} \left\{ X(j\omega) * \pi [\delta(\omega - \omega_0) + \delta(\omega + \omega_0)] \right\} = \\ &= \frac{1}{2} X[j(\omega - \omega_0)] + \frac{1}{2} X[j(\omega + \omega_0)] \end{aligned}$$



$$X(j\omega)$$



$$Y(j\omega) = \frac{1}{2} X[j(\omega - \omega_0)] + \frac{1}{2} X[j(\omega + \omega_0)]$$

Jeżeli $X(j\omega) \equiv 0$ dla $|\omega| > \omega_g$ (sygnał $x(t)$ jest sygnałem o ograniczonym widmie), to widmo sygnału $y(t)$ jest niezerowe tylko w przedziale $\omega_0 - \omega_g \leq |\omega| \leq \omega_0 + \omega_g$

Jeżeli $\omega_0 \gg 2\omega_g$ to sygnał $y(t)$ nazywa się *sygnałem wąskopasmowym*

Funkcja autokorelacji sygnału

Sygnały o skończonej energii

$x(t) \in L^2$ — sygnał rzeczywisty lub zespolony

Rozważmy sygnał

$$x_\tau(t) \triangleq x(t - \tau)$$

który jest przesuniętą w czasie kopią $x(t)$

Miarą „podobieństwa” sygnału i jego kopii może być iloczyn skalarny

$$\langle x, x_\tau \rangle = \int_{-\infty}^{\infty} x(t) x_\tau^*(t) dt = \int_{-\infty}^{\infty} x(t) x^*(t - \tau) dt$$

Miara ta, dla ustalonej wartości τ , jest liczbą zespoloną lub rzeczywistą, zależną od przesunięcia τ .

Definicja

Funkcją autokorelacji sygnału $x(t)$ o skończonej energii nazywa się zależność iloczynu skalarnego $\langle x, x_\tau \rangle$ od przesunięcia τ

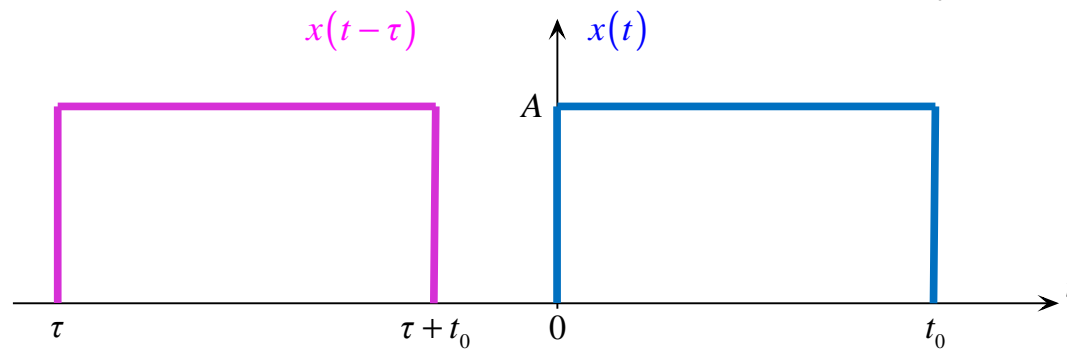
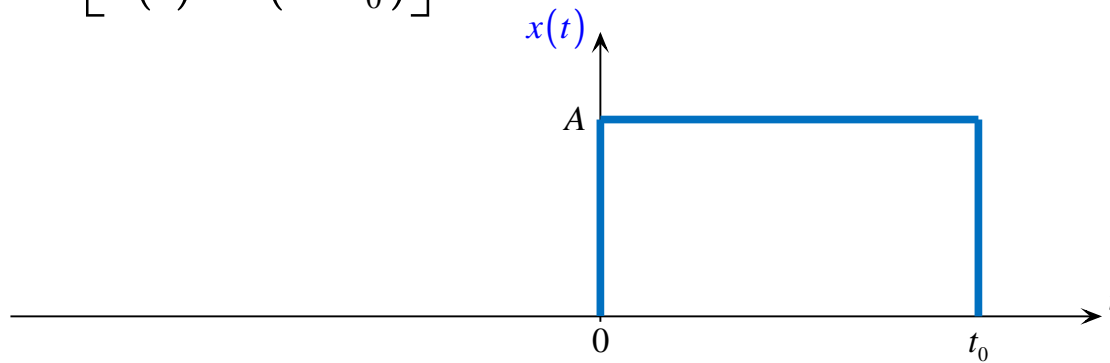
$$\varphi_x(\tau) \triangleq \int_{-\infty}^{\infty} x(t) x^*(t - \tau) dt$$

Funkcja autokorelacji jest miarą podobieństwa sygnału i jego przesuniętej kopii, jest więc miarą *szybkości zmian* sygnału.

Jeżeli sygnał $x(t)$ jest rzeczywistą funkcją czasu, to funkcja autokorelacji jest rzeczywistą funkcją przesunięcia τ .

Przykład 1.

$$x(t) = A[\mathbf{1}(t) - \mathbf{1}(t - t_0)]$$

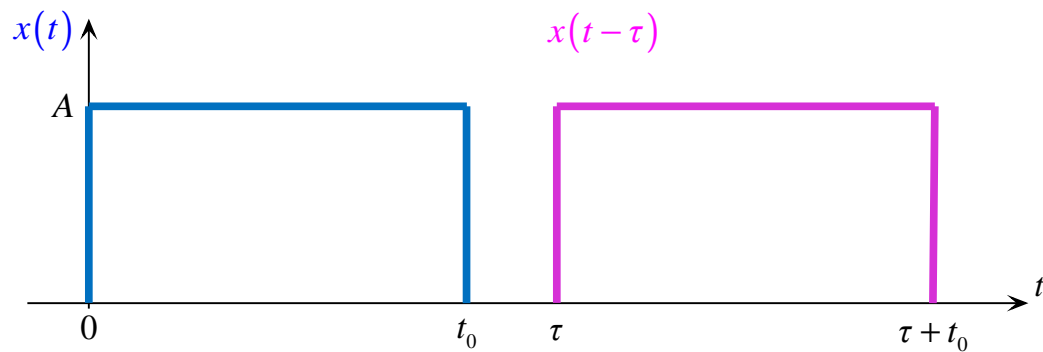


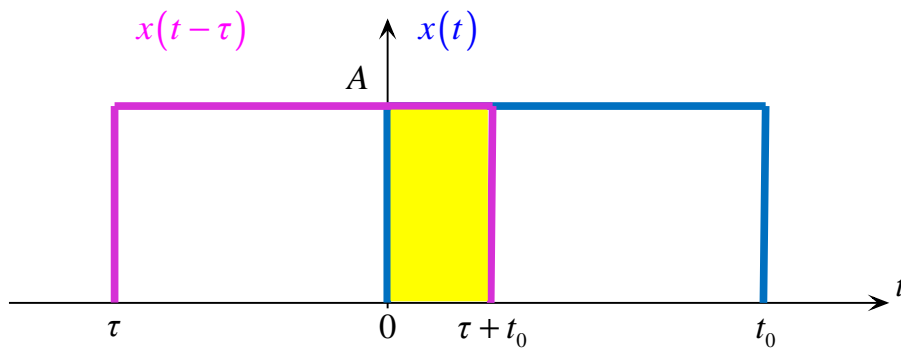
$$\tau < -t_0$$

$$\varphi_x(\tau) = 0$$

$$\tau > t_0$$

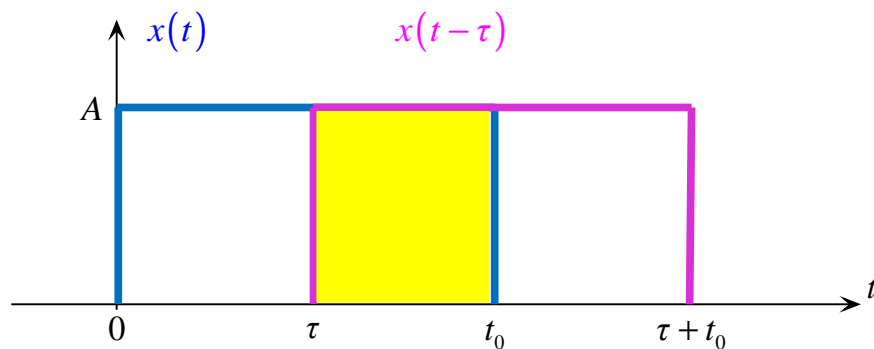
$$\varphi_x(\tau) = 0$$





$$-t_0 < \tau < 0$$

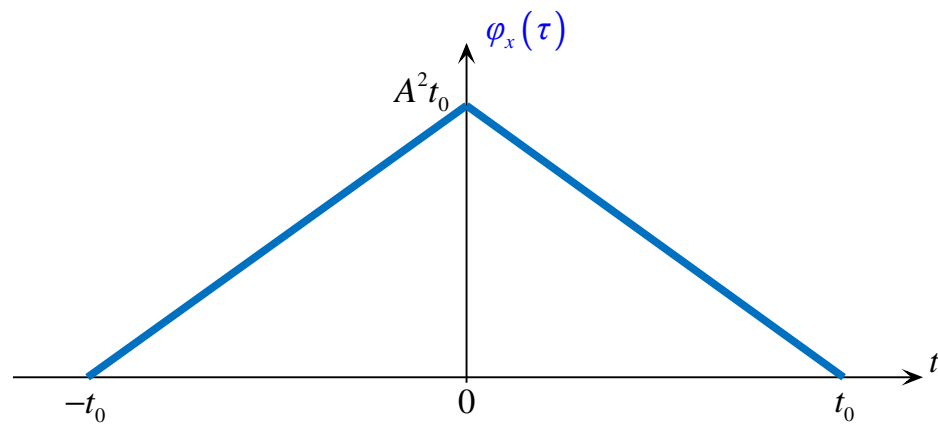
$$\varphi_x(\tau) = (\tau + t_0) \cdot A^2$$



$$0 < \tau < t_0$$

$$\varphi_x(\tau) = (t_0 - \tau) \cdot A^2$$

$$\varphi_x(\tau) = \begin{cases} A^2(\tau + t_0) & -t_0 < \tau < 0 \\ A^2(-\tau + t_0) & 0 < \tau < t_0 \\ 0 & \tau < -t_0, \quad \tau > t_0 \end{cases}$$



Własności funkcji autokorelacji

$$\varphi_x(-\tau) = \int_{-\infty}^{\infty} x(t) x^*(t + \tau) dt \stackrel{t+\tau=u}{=} \int_{-\infty}^{\infty} x(u - \tau) x^*(u) du = \varphi_x^*(\tau)$$

$$\varphi_x(\tau) = \varphi_x^*(-\tau)$$

Funkcja autokorelacji jest hermitowską funkcją zmiennej rzeczywistej τ

Jeżeli sygnał $x(t)$ jest rzeczywistą funkcją czasu, to funkcja autokorelacji jest **parzystą** funkcją przesunięcia τ .

$$\varphi_x(\tau) = \int_{-\infty}^{\infty} x(t) x^*(t - \tau) dt$$

$$\varphi_x(0) = \int_{-\infty}^{\infty} x(t) x^*(t) dt = \int_{-\infty}^{\infty} |x(t)|^2 dt = E_x$$

$$\varphi_x(0) = E_x$$

$$|\langle x, x_\tau \rangle| \leq \sqrt{\langle x, x \rangle \langle x_\tau, x_\tau \rangle}$$

$$\langle x, x \rangle = \langle x_\tau, x_\tau \rangle = E_x$$

$$\langle x, x_\tau \rangle = \varphi_x(\tau), \quad E_x = \varphi_x(0)$$

Nierówność Buniakowskiego-Schwarza

$$|\langle x, y \rangle| \leq \sqrt{\langle x, x \rangle \langle y, y \rangle}$$

$$|\varphi_x(\tau)| \leq \varphi_x(0)$$

$$x(t) \rightarrow \varphi_x(\tau) = \int_{-\infty}^{\infty} x(t) x^*(t - \tau) dt$$

$$y(t) = x(t - t_0)$$

$$\varphi_y(\tau) = \int_{-\infty}^{\infty} y(t) y^*(t - \tau) dt = \int_{-\infty}^{\infty} x(t - t_0) x^*(t - t_0 - \tau) dt$$

$$t - t_0 = u \quad \Rightarrow \quad dt = du$$

$$\varphi_y(\tau) = \int_{-\infty}^{\infty} x(u) x^*(u - \tau) du = \varphi_x(\tau)$$

$$y(t) = x(t - t_0) \quad \Rightarrow \quad \varphi_y(\tau) = \varphi_x(\tau)$$

Funkcja autokorelacji jest niezmiennicza względem przesunięcia sygnału na osi czasu

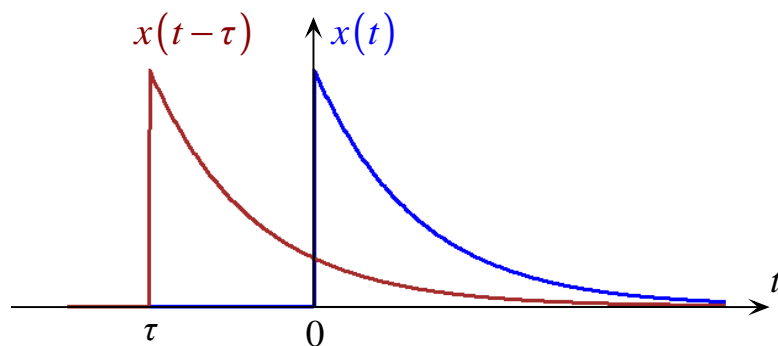
Przykład 1.

$$x(t) = Ae^{-at} \mathbf{1}(t), \quad a \in \mathbb{R}^+$$

$$E_x = \frac{A^2}{2a}$$

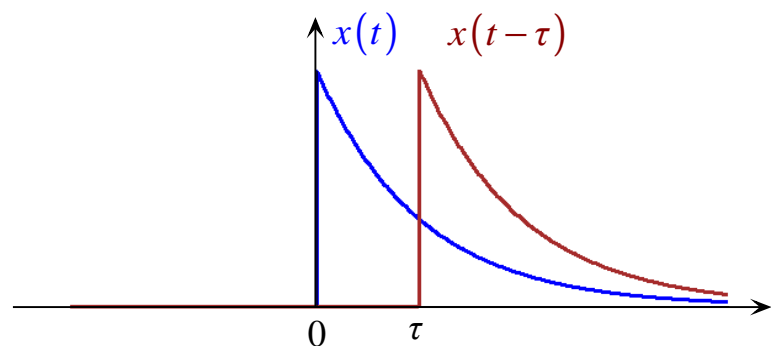
$$\varphi_x(\tau) = A^2 \int_{-\infty}^{\infty} e^{-at} \mathbf{1}(t) e^{-a(t-\tau)} \mathbf{1}(t-\tau) dt$$

$$\tau < 0$$



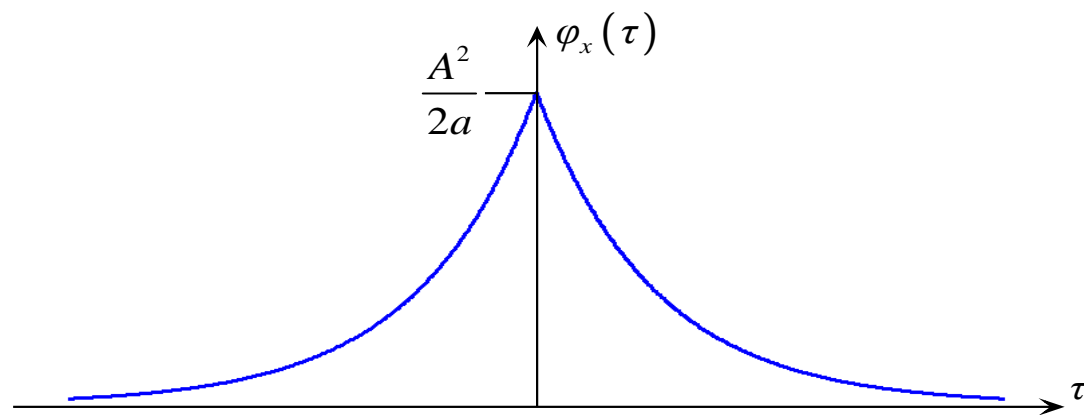
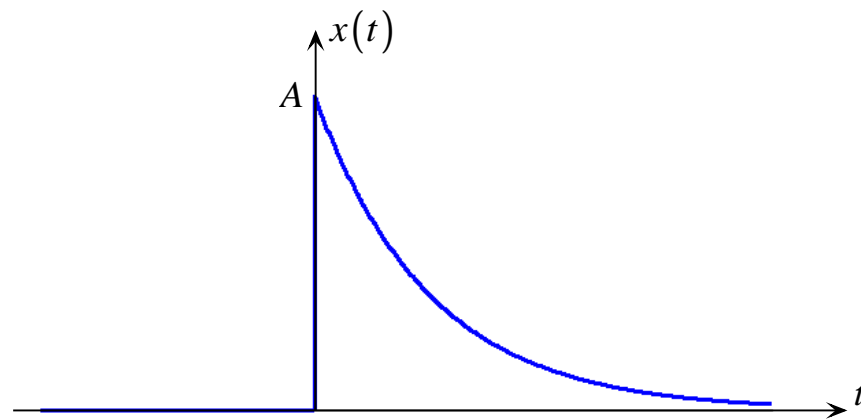
$$\begin{aligned} \varphi_x(\tau) &= A^2 \int_0^{\infty} e^{-a(2t-\tau)} dt = \\ &= A^2 e^{a\tau} \int_0^{\infty} e^{-2at} dt = \frac{A^2}{2a} e^{a\tau} \end{aligned}$$

$$\tau > 0$$



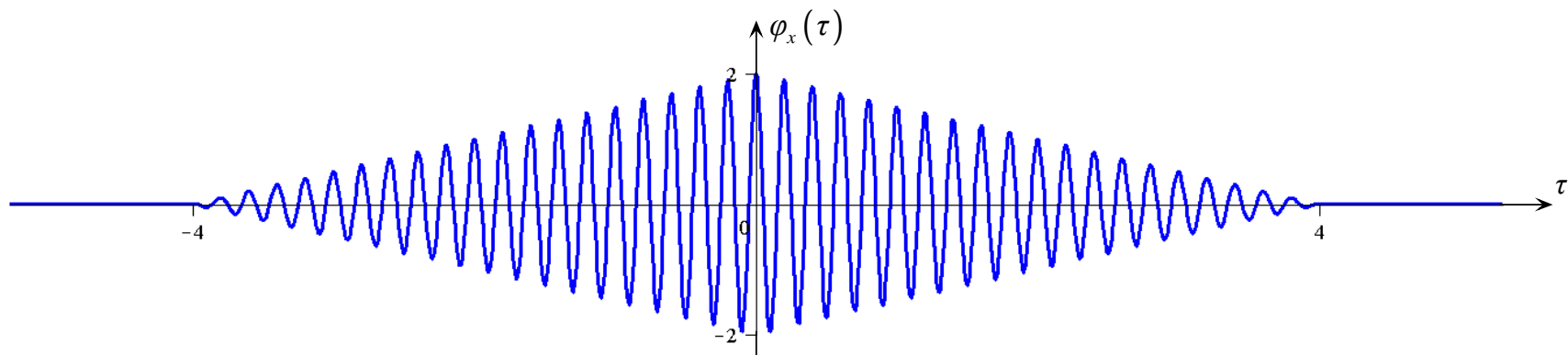
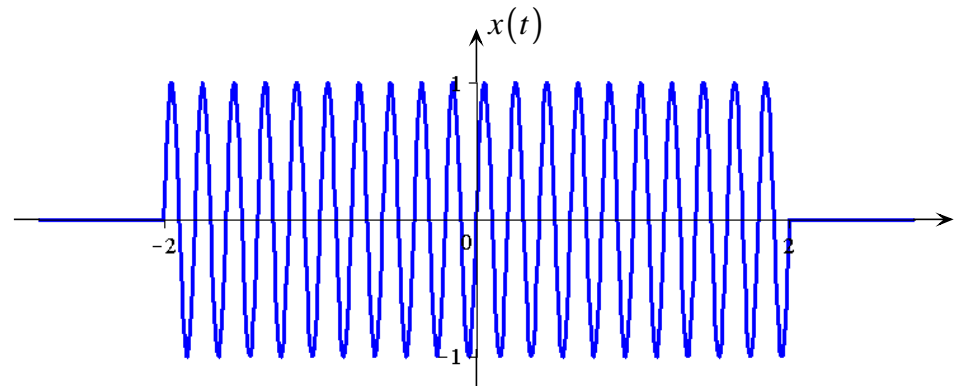
$$\begin{aligned} \varphi_x(\tau) &= A^2 \int_{\tau}^{\infty} e^{-a(2t-\tau)} dt = \\ &= A^2 e^{a\tau} \int_{\tau}^{\infty} e^{-2at} dt = \frac{A^2}{2a} e^{-a\tau} \end{aligned}$$

$$\varphi_x(\tau) = \begin{cases} \frac{A^2}{2a} e^{a\tau} & \text{gdy } \tau < 0 \\ \frac{A^2}{2a} e^{-a\tau} & \text{gdy } \tau > 0 \end{cases} = \frac{A^2}{2a} e^{-a|\tau|}$$



Przykład 2.

$$x(t) = [\mathbf{1}(t+2) - \mathbf{1}(t-2)] \sin 10\pi t$$



Twierdzenie Rayleigha:
$$\int_{-\infty}^{\infty} x(t) y^*(t) dt = \int_{-\infty}^{\infty} X(j\omega) Y^*(j\omega) \frac{d\omega}{2\pi}$$

Przesunięcie w dziedzinie czasu:
$$x(t) \rightleftharpoons X(j\omega) \Rightarrow x(t-t_0) \rightleftharpoons X(j\omega) e^{-j\omega t_0}$$

$$x(t) \rightleftharpoons X(j\omega)$$

$$y(t) = x(t-\tau) \Rightarrow y(t) \rightleftharpoons X(j\omega) e^{-j\omega\tau}$$

$$\varphi_x(\tau) = \int_{-\infty}^{\infty} x(t) x^*(t-\tau) dt = \int_{-\infty}^{\infty} X(j\omega) [X(j\omega) e^{-j\omega\tau}]^* \frac{d\omega}{2\pi} = \int_{-\infty}^{\infty} |X(j\omega)|^2 e^{j\omega\tau} \frac{d\omega}{2\pi}$$

$$\Phi_x(j\omega) = \mathcal{F}\{\varphi_x(\tau)\} = \int_{-\infty}^{\infty} \varphi_x(\tau) e^{-j\omega\tau} d\tau$$

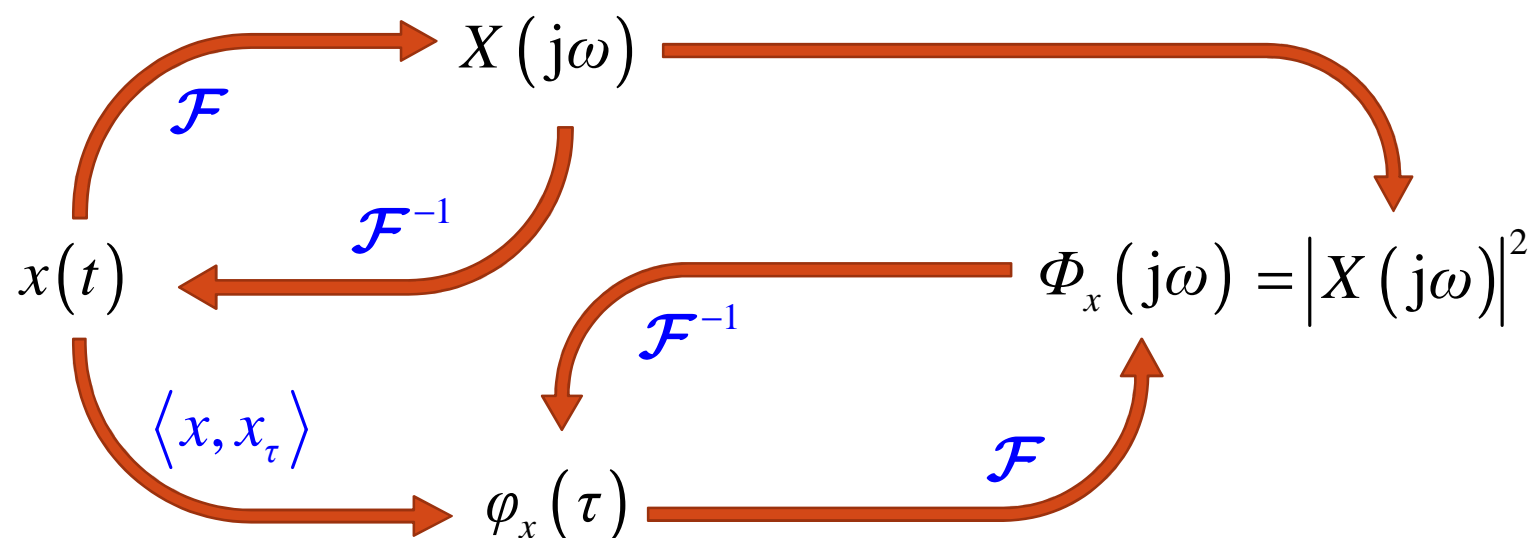
$$\varphi_x(\tau) = \int_{-\infty}^{\infty} \Phi_x(j\omega) e^{j\omega\tau} \frac{d\omega}{2\pi}$$

$$\Phi_x(j\omega) = |X(j\omega)|^2$$

$$\frac{\Phi_x(j\omega)}{2\pi} = \frac{1}{2\pi} \mathcal{F}\{\varphi_x(\tau)\} \quad \text{jest widmową gęstością energii sygnału } x(t)$$

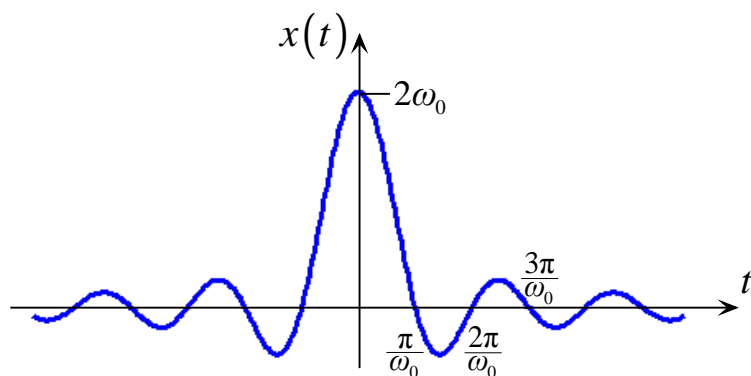
$$E_x = \int_{-\infty}^{\infty} |x(t)|^2 dt = \varphi_x(0) = \int_{-\infty}^{\infty} \Phi_x(j\omega) \frac{d\omega}{2\pi}$$

**Równość
Parsevala**



Przykład

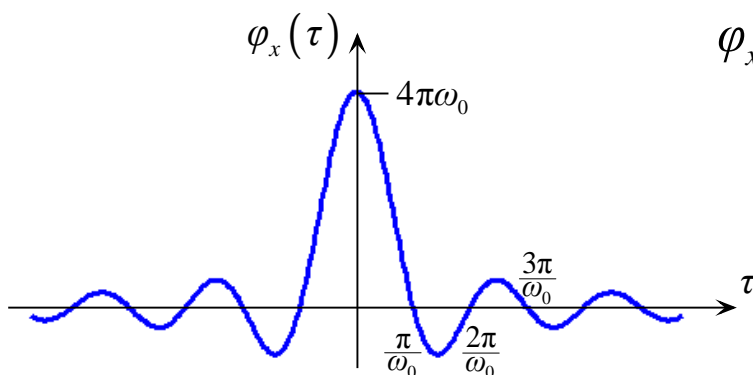
$$x(t) = \frac{2 \sin \omega_0 t}{t} = 2\omega_0 \text{Sa}(\omega_0 t)$$



$$\varphi_x(\tau) = 4\omega_0^2 \int_{-\infty}^{\infty} \text{Sa}(\omega_0 t) \text{Sa}[\omega_0(t - \tau)] dt = ?$$

$$X(j\omega) = 2\pi [\mathbf{1}(\omega + \omega_0) - \mathbf{1}(\omega - \omega_0)]$$

$$|X(j\omega)|^2 = 4\pi^2 [\mathbf{1}(\omega + \omega_0) - \mathbf{1}(\omega - \omega_0)] = \Phi_x(j\omega)$$



$$\varphi_x(\tau) = \mathcal{F}^{-1}\{\Phi_x(j\omega)\} = 4\pi\omega_0 \text{Sa}(\omega_0\tau)$$

Sygnały o skończonej mocy

Definicja

Funkcją autokorelacji $\psi_x(\tau)$ sygnału $x(t)$ o skończonej mocy nazywamy

$$\psi_x(\tau) = \lim_{T \rightarrow \infty} \frac{1}{2T} \int_{-T}^T x(t) x^*(t - \tau) dt$$

Jeżeli $x(t) \in L_T^2$ czyli

$$x(t) = x(t - kT), \quad k \in \mathbb{Z}$$

$$P_x = \frac{1}{T} \int_{t_0}^{t_0+T} |x(t)|^2 dt < \infty$$

$$\psi_x(\tau) = \frac{1}{T} \int_{t_0}^{t_0+T} x(t) x^*(t - \tau) dt$$

Własności:

W1 Funkcja autokorelacji $\psi_x(\tau)$ jest funkcją hermitowską, tzn.

$$\psi_x(\tau) = \psi_x^*(-\tau)$$

Jeżeli $x(t)$ jest sygnałem rzeczywistym, to

$$\psi_x(\tau) = \psi_x(-\tau) \quad (\text{funkcja parzysta})$$

W2

$$\psi_x(0) = \frac{1}{T} \int_{t_0}^{t_0+T} x(t) x^*(t) dt = P_x$$

W3

$$|\psi_x(\tau)| \leq \psi_x(0)$$

W4

$$y(t) = x(t - t_0) \Rightarrow \psi_y(\tau) = \psi_x(\tau)$$

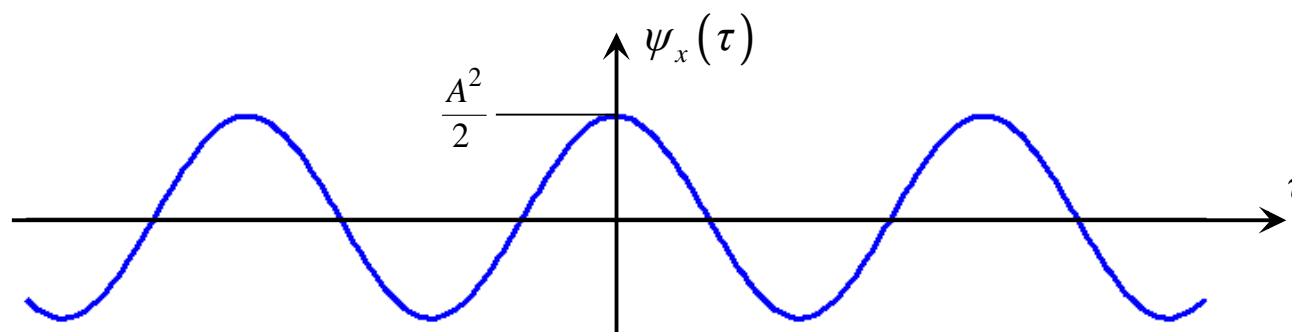
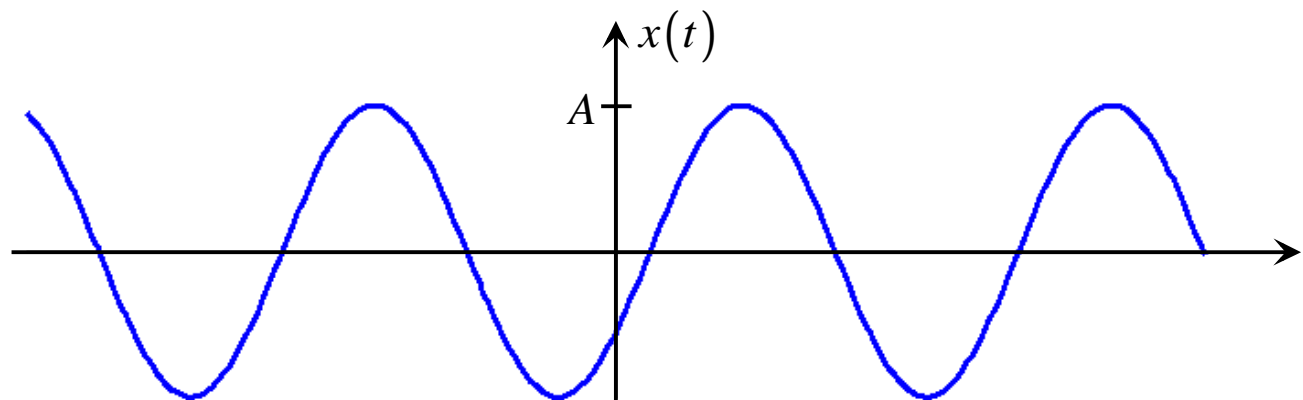
W5

Funkcja autokorelacji sygnału okresowego o okresie T jest również funkcją okresową o okresie T

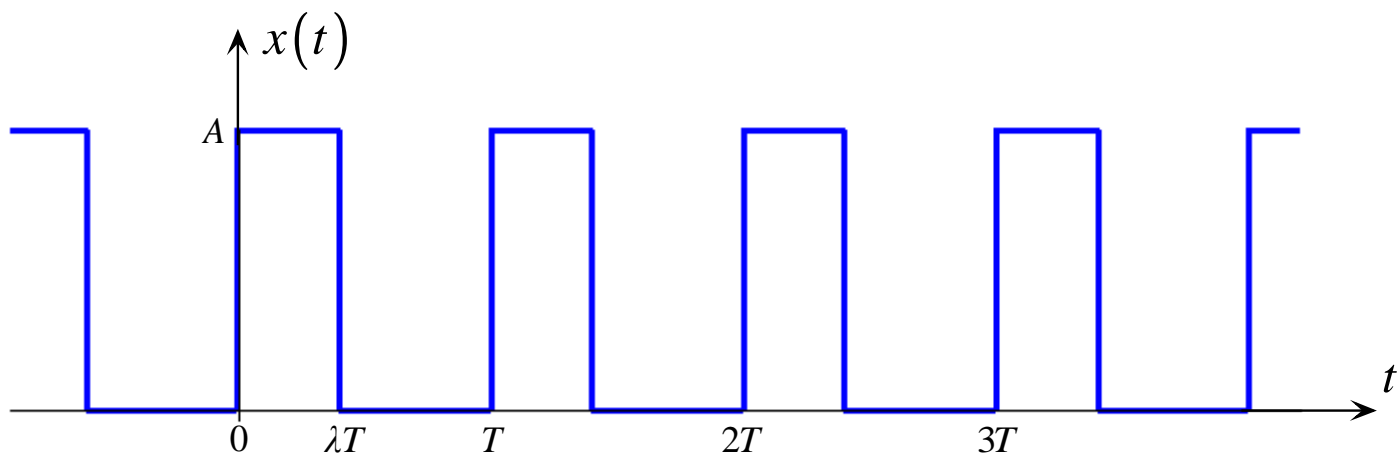
Przykład 1.

$$x(t) = A \sin(\omega_0 t + \theta)$$

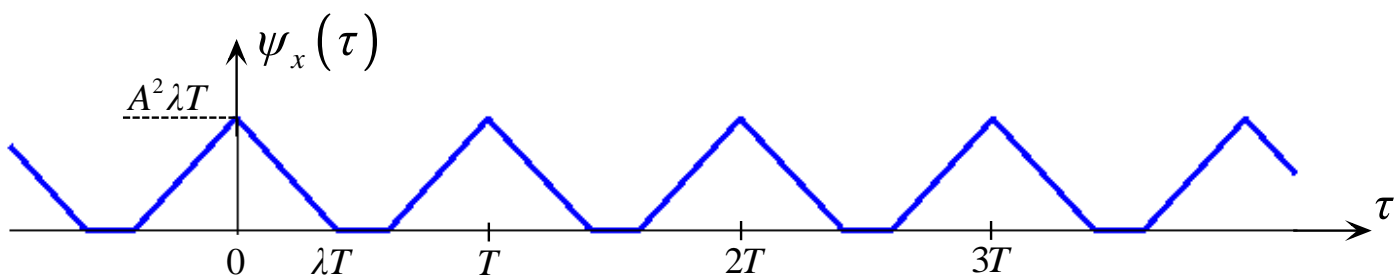
$$\psi_x(\tau) = A^2 \frac{\omega_0}{2\pi} \int_0^{\frac{2\pi}{\omega_0}} \sin(\omega_0 t + \theta) \sin[\omega_0(t - \tau) + \theta] dt = \frac{A^2}{2} \cos \omega_0 \tau$$

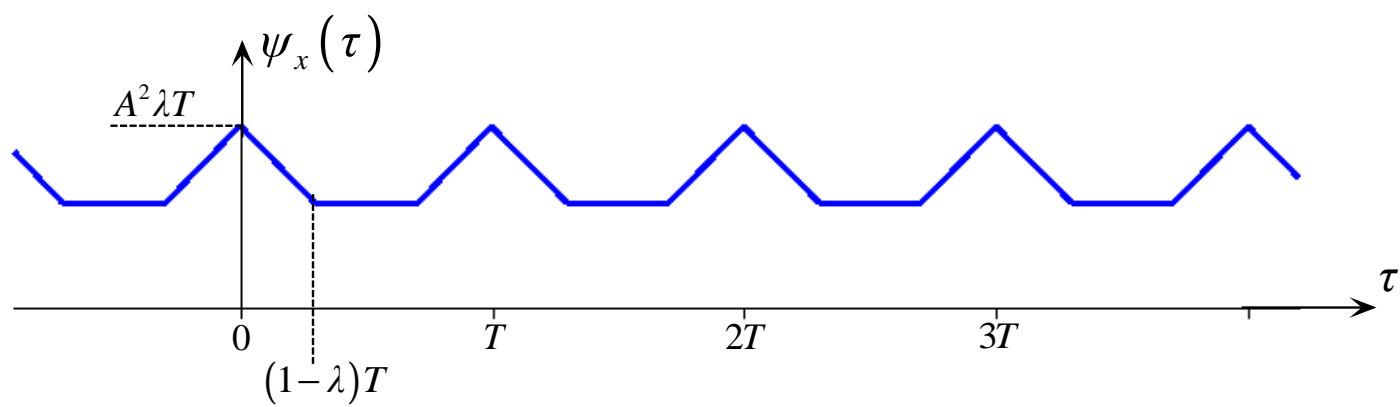
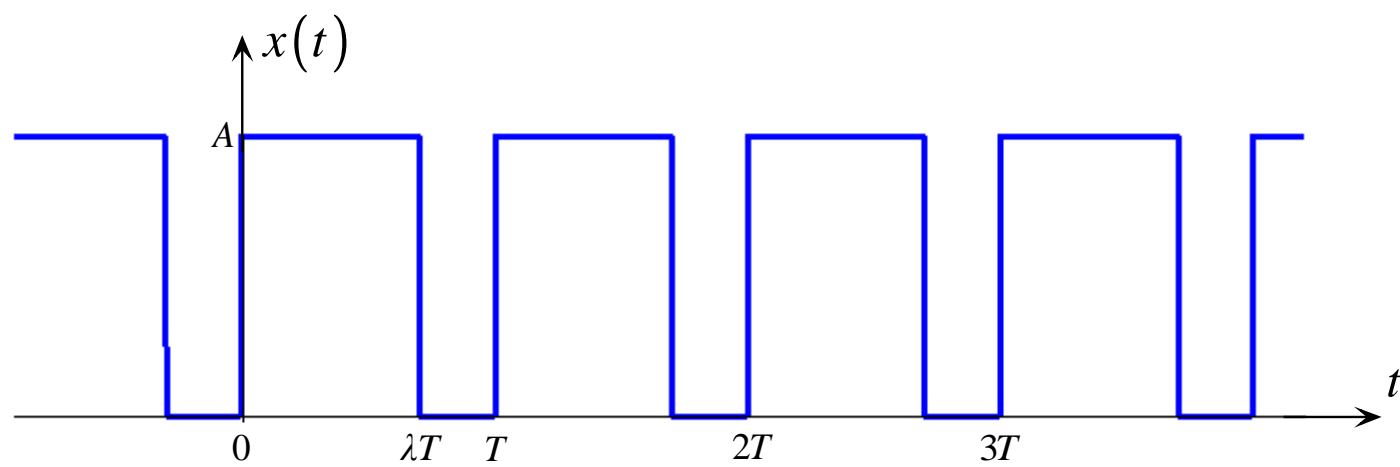


Przykład 2.



$$\lambda < \frac{1}{2}$$





Widmo mocy sygnałów okresowych

$$x(t), y(t) \in L_T^2$$

$$x(t) = \sum_{k=-\infty}^{\infty} X_k e^{jk\omega_0 t} \quad y(t) = \sum_{k=-\infty}^{\infty} Y_k e^{jk\omega_0 t}$$

$$\langle x, y \rangle_{L_T^2} = \langle \mathbf{X}, \mathbf{Y} \rangle_{l^2}$$

$$\frac{1}{T} \int_{t_0}^{t_0+T} x(t) y^*(t) dt = \sum_{k=-\infty}^{\infty} X_k Y_k^*$$

$$x(t) \rightleftharpoons X_k$$

$$y(t) \rightleftharpoons Y_k \quad y(t) = x(t - \tau) \rightleftharpoons Y_k = X_k e^{-jk\omega_0 \tau} \quad \Rightarrow \quad Y_k^* = X_k^* e^{jk\omega_0 \tau}$$

$$\psi_x(\tau) = \frac{1}{T} \int_{t_0}^{t_0+T} x(t) x^*(t - \tau) dt = \sum_{k=-\infty}^{\infty} X_k X_k^* e^{jk\omega_0 \tau}$$

$$\psi_x(\tau) = \sum_{k=-\infty}^{\infty} |X_k|^2 e^{jk\omega_0\tau}$$

$$\psi_x(\tau) \Longleftrightarrow |X_k|^2$$

$$\Psi_x(j\omega) = \mathcal{F}\{\psi_x(\tau)\} = 2\pi \sum_{k=-\infty}^{\infty} |X_k|^2 \delta(\omega - k\omega_0)$$

Przykład

$$x(t) = A \sin(\omega_0 t + \theta)$$

$$\psi_x(\tau) = \frac{A^2}{2} \cos \omega_0 \tau$$

$$\Psi_x(j\omega) = \frac{A^2}{2} \pi [\delta(\omega - \omega_0) + \delta(\omega + \omega_0)]$$

Funkcje korelacji wzajemnej

Sygnały o skończonej energii

$$x(t), y(t) \in L^2$$

Funkcja korelacji wzajemnej między sygnałem $x(t)$ a sygnałem $y(t)$

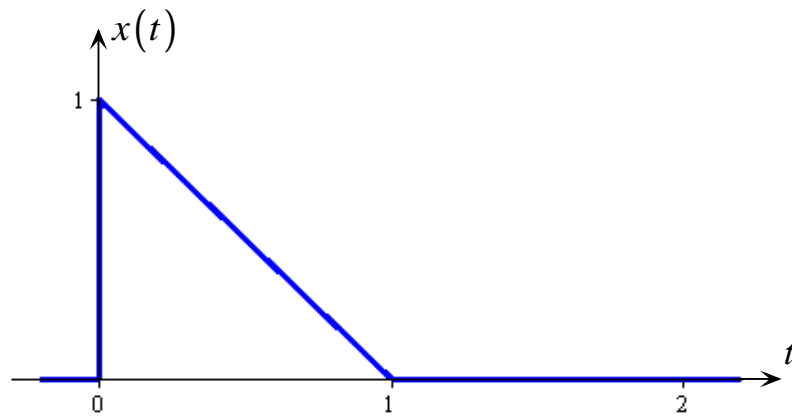
$$\varphi_{xy}(\tau) \triangleq \int_{-\infty}^{\infty} x(t) y^*(t - \tau) dt$$

Funkcja korelacji wzajemnej między sygnałem $y(t)$ a sygnałem $x(t)$

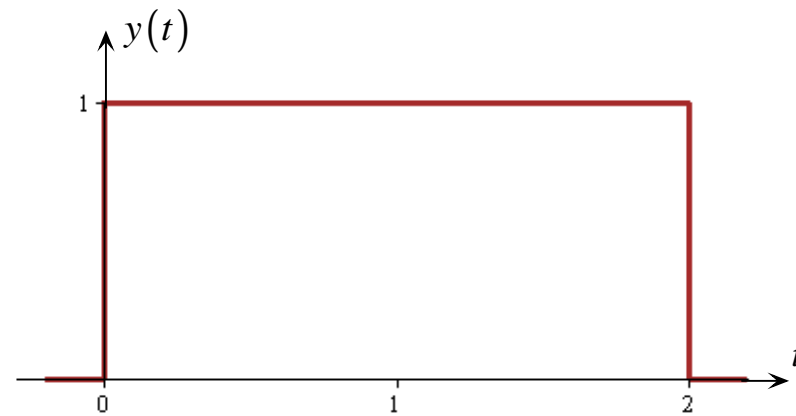
$$\varphi_{yx}(\tau) \triangleq \int_{-\infty}^{\infty} y(t) x^*(t - \tau) dt$$

Przykład 1.

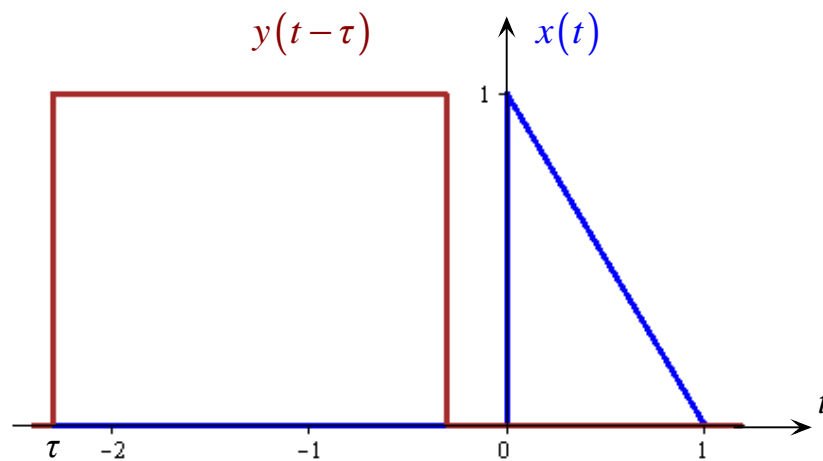
$$x(t) = (1-t)\mathbf{1}(t) + (t-1)\mathbf{1}(t-1)$$



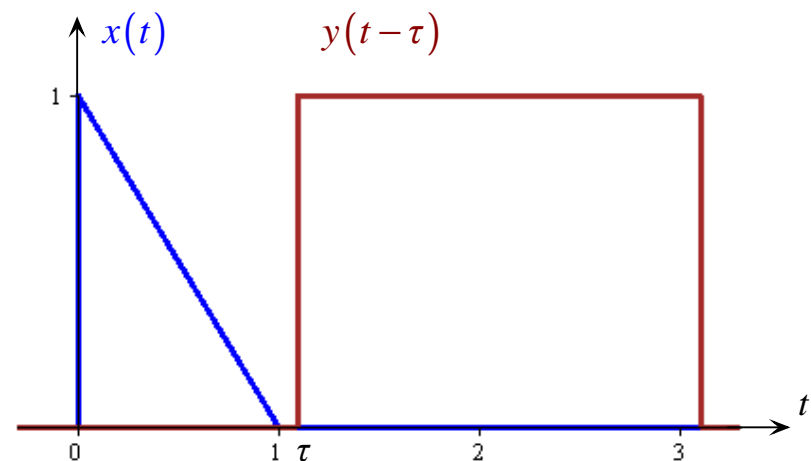
$$y(t) = \mathbf{1}(t) - \mathbf{1}(t-2)$$

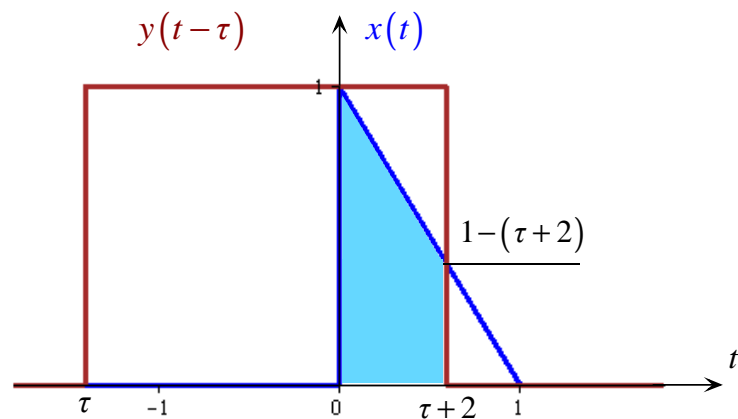


$$\tau < -2$$



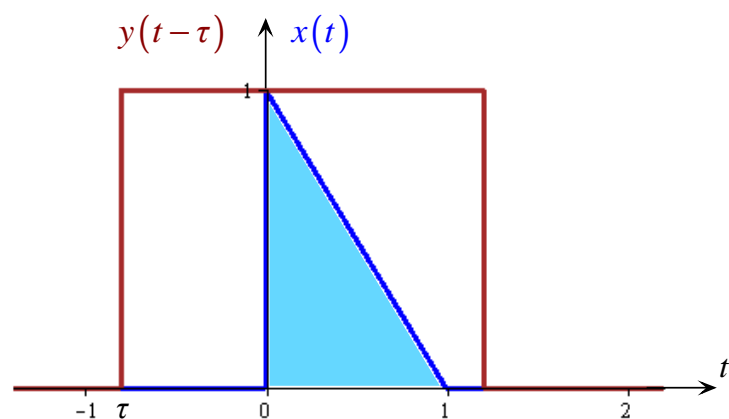
$$\tau > 1$$





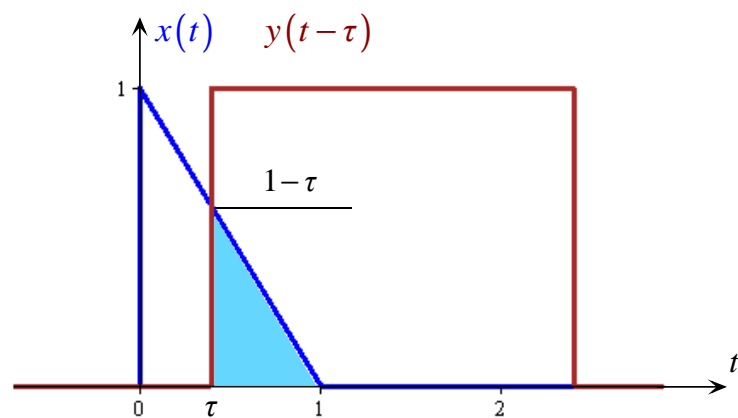
$$-2 < \tau < -1$$

$$\varphi_{xy}(\tau) = \frac{1+1-(\tau+2)}{2}(\tau+2) = -\frac{\tau^2}{2} - \tau$$



$$-1 < \tau < 0$$

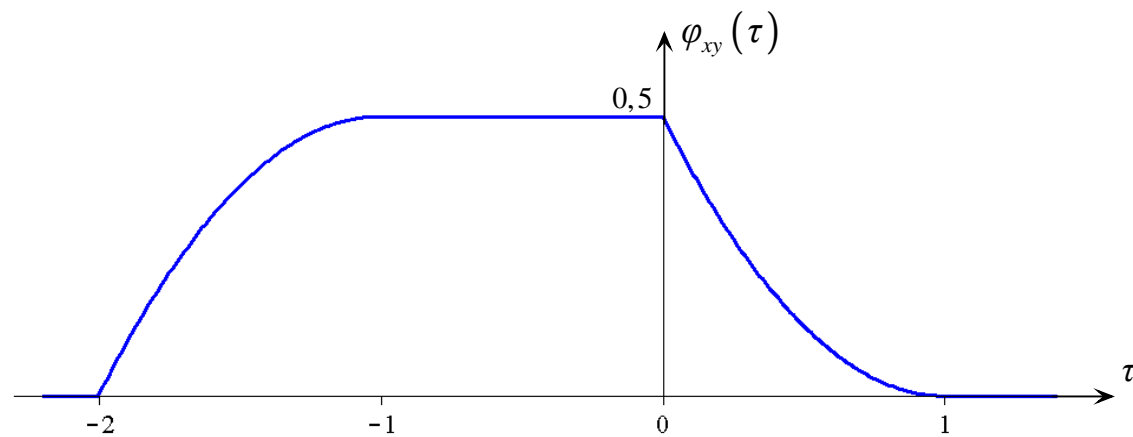
$$\varphi_{xy}(\tau) = \frac{1}{2}$$



$$0 < \tau < 1$$

$$\varphi_{xy}(\tau) = \frac{(1-\tau)^2}{2}$$

$$\varphi_{xy}(\tau) = \begin{cases} 0 & \tau < -2, \tau > 1 \\ -\frac{\tau^2}{2} - \tau & -2 < \tau < -1 \\ \frac{1}{2} & -1 < \tau < 0 \\ \frac{(1-\tau)^2}{2} & 0 < \tau < 1 \end{cases}$$



Własności funkcji korelacji

$$\varphi_{xy}(\tau) = \int_{-\infty}^{\infty} x(t) y^*(t - \tau) dt$$

$$t - \tau = u \quad \Rightarrow \quad t = u + \tau, \quad dt = du$$

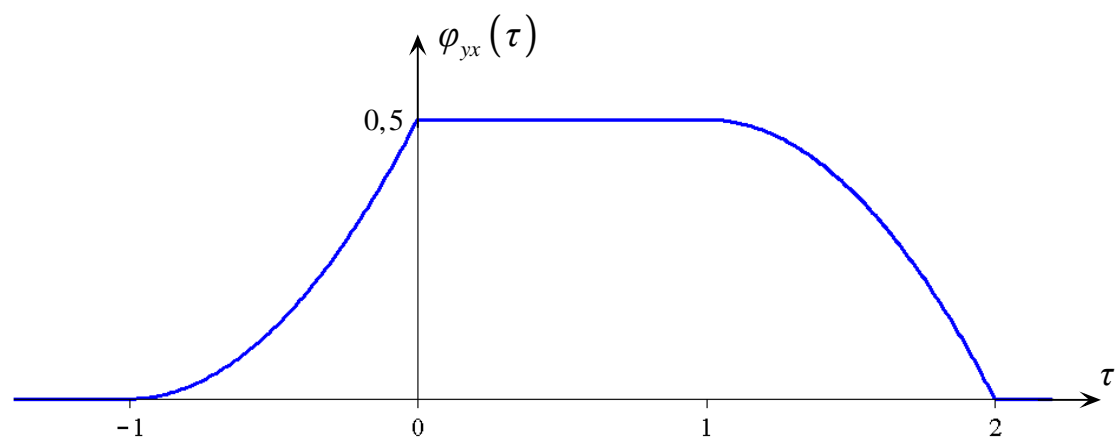
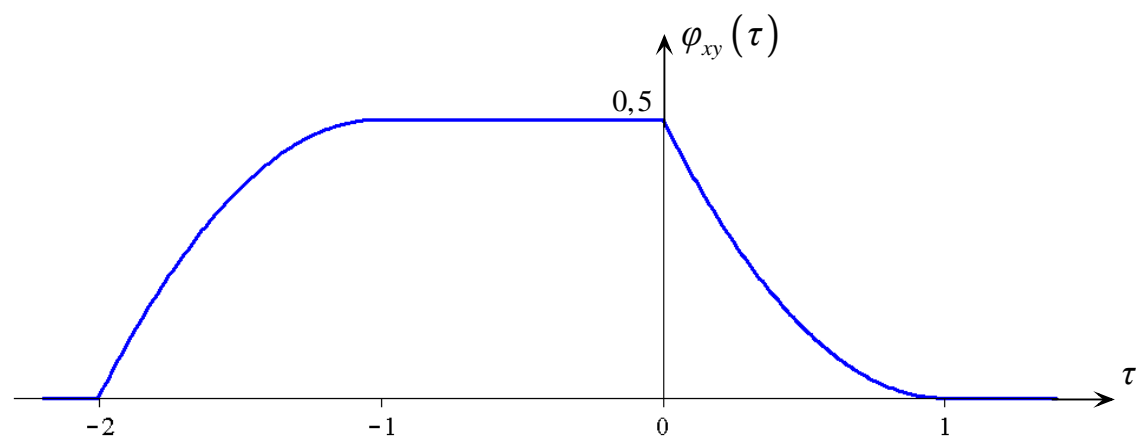
$$\varphi_{xy}(\tau) = \int_{-\infty}^{\infty} x(u + \tau) y^*(u) du = \left[\int_{-\infty}^{\infty} y(u) x^*(u + \tau) du \right]^* = \varphi_{yx}^*(-\tau)$$

W1

$$\varphi_{xy}(\tau) = \varphi_{yx}^*(-\tau)$$

Jeżeli x i y są sygnałami rzeczywistymi, to

$$\varphi_{xy}(\tau) = \varphi_{yx}(-\tau)$$



$$E_x = \langle x, x \rangle = \int_{-\infty}^{\infty} |x(t)|^2 dt$$

$$E_y = \langle y, y \rangle = \int_{-\infty}^{\infty} |y(t)|^2 dt$$

$$y_\tau \triangleq y(t - \tau) \quad \langle y, y \rangle = \langle y_\tau, y_\tau \rangle = E_y$$

$$\varphi_{xy}(\tau) = \int_{-\infty}^{\infty} x(t) y^*(t - \tau) dt = \langle x, y_\tau \rangle$$

Nierówność Buniakowskiego-Schwarza

$$|\langle x, y \rangle| \leq \sqrt{\langle x, x \rangle \langle y, y \rangle}$$

W2

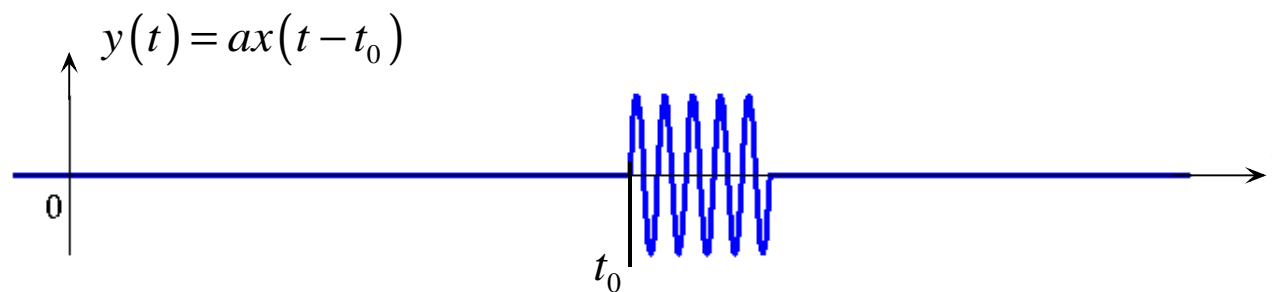
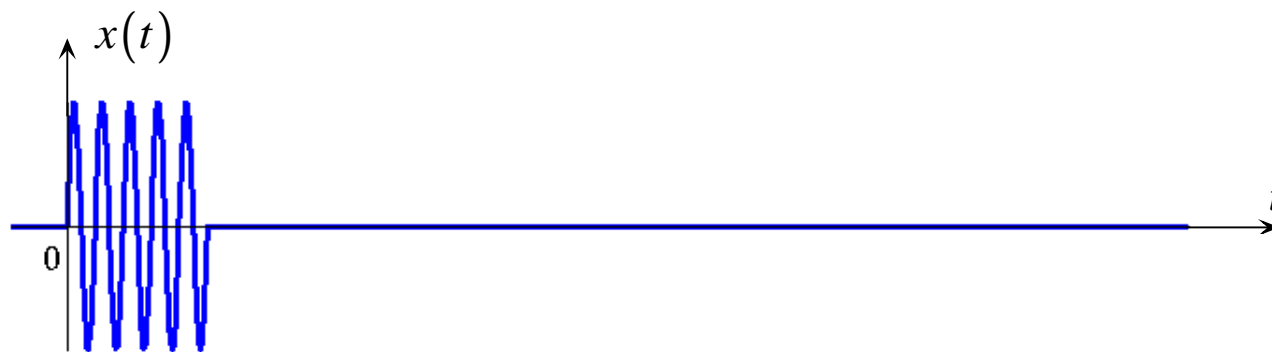
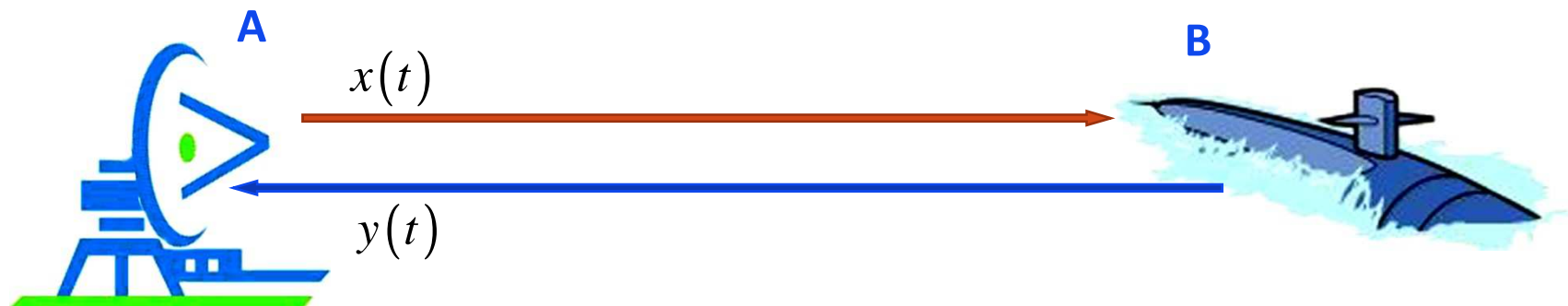
$$|\varphi_{xy}(\tau)| \leq \sqrt{E_x E_y}$$

$$|\varphi_{yx}(\tau)| \leq \sqrt{E_x E_y}$$

W3

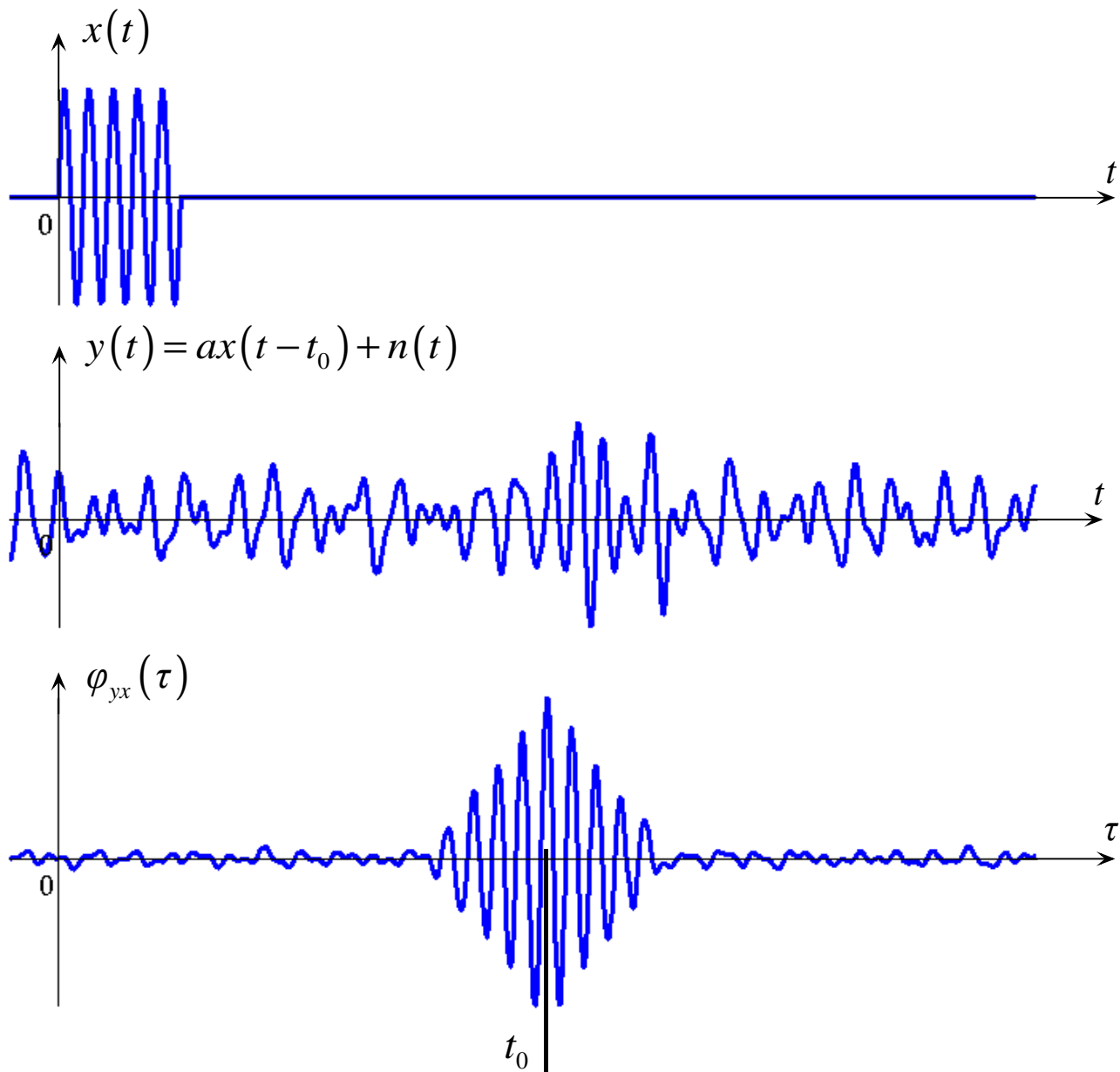
Jeżeli istnieje τ_0 takie, że $\varphi_{xy}(\tau_0) = 0$ to sygnały $x(t)$ i $y(t - \tau_0)$ są ortogonalne

Przykład 2.



$$\text{Odległość AB} = \frac{1}{2}t_0c$$

Na odebrany sygnał nakłada się losowy sygnał szumów i zakłóceń $n(t)$



Sygnały o skończonej mocy

Definicja

Funkcjami korelacji wzajemnej $\psi_{xy}(\tau)$ i $\psi_{yx}(\tau)$ sygnałów $x(t)$ i $y(t)$ o skończonej mocy nazywamy

$$\psi_{xy}(\tau) = \lim_{T \rightarrow \infty} \frac{1}{2T} \int_{-T}^T x(t) y^*(t - \tau) dt$$

$$\psi_{yx}(\tau) = \lim_{T \rightarrow \infty} \frac{1}{2T} \int_{-T}^T y(t) x^*(t - \tau) dt$$

Sygnały okresowe o skończonej mocy

Jeżeli $x(t), y(t) \in L_T^2$ czyli

$$x(t) = x(t - kT), \quad k \in \mathbb{Z}$$

$$y(t) = y(t - kT), \quad k \in \mathbb{Z}$$

$$P_x = \frac{1}{T} \int_{t_0}^{t_0+T} |x(t)|^2 dt < \infty$$

$$P_y = \frac{1}{T} \int_{t_0}^{t_0+T} |y(t)|^2 dt < \infty$$

(sygnały mają taki sam okres!)

$$\psi_{xy}(\tau) = \frac{1}{T} \int_{t_0}^{t_0+T} x(t) y^*(t - \tau) dt$$

$$\psi_{yx}(\tau) = \frac{1}{T} \int_{t_0}^{t_0+T} y(t) x^*(t - \tau) dt$$

Przykład

